

ҚАЗАҚСТАН РЕСПУБЛИКАСЫНЫң БІЛМ ЖӘНЕ ҒЫЛЫМ МИНИСТРЛІГІ

Қ.А.ЯСАУИ АТЫНДАҒЫ ХАЛЫҚАРАЛЫҚ ҚАЗАҚ-ТҮРІК УНИВЕРСИТЕТИ

ӘОЖ - 519.1., 620.4.

Колжазба күкінде

**Мустафаев Қайсар Максутович**

**ЖЫЛЫ СУМЕН ЖАБДЫҚТАУ ЖҮЙЕСІНДЕГІ ЖАЗЫҚ КҮН  
КОЛЛЕКТОРЫНЫң РЕСУРСТЫ КӨРСЕТКІШІН БАҒАЛАУ**

6M071800 – ЭЛЕКТР ЭНЕРГЕТИКАСЫ мамандығы бойынша техника  
ғылымдарының магистрі академиялық дәреже алу үшін магистрлік диссертация

ҚАЗАҚСТАН РЕСПУБЛИКАСЫНЫң БІЛМ ЖӘНЕ ҒЫЛЫМ МИНИСТРЛІГІ

Қ.А.ЯСАУИ АТЫНДАҒЫ ХАЛЫҚАРАЛЫҚ ҚАЗАҚ-ТҮРІК УНИВЕРСИТЕТИ

**Көрғауға жіберілді:**

Электр инженериясы  
кафедрасының  
мендерушісі, техн.ғ.к.,  
Н.М.Айтжанов  
(қолы)  
« \_\_\_\_ » 20 ж.

**Магистрлік диссертация**

ЖЫЛЫ СУМЕН ЖАБДЫҚТАУ ЖҮЙЕСІНДЕГІ ЖАЗЫҚ КҮН  
КОЛЛЕКТОРЫНЫҢ РЕСУРСТЫ КӨРСЕТКШИН БАҒАЛАУ

мамандығы: 6M071800 – ЭЛЕКТР ЭНЕРГЕТИКАСЫ

Магистрант \_\_\_\_\_ К.М. Мустафаев  
(қолы) (аты-жөні, тегі)

Ғылыми жетекшісі,  
техн.ғ.д. \_\_\_\_\_ Н.Т. Рустамов  
(қолы) (аты-жөні, тегі)

**АНДАТПА**

Бұл магистрлық диссертацияда қарастырылған жұмыс: күн сәулесін пайдаланып жылы су жабдықтау жүйесі (ЖСЖЖ) – бұл сәуле энергиясын төменгі потенциал энергиясына айналдырып пайдалану қарастырылған. Бұл проблема шешуде жазық күн сәулесі коллекторлары (ЖКСК) алынып олардың жылыту ресурстық мүмкіншілігі қарастырылған. Осы үшін диссертацияда төрт түрлі формадағы жазық коллектор қарастырылып, оның ішіндегі ең оптималь формадағы коллектор таңдап алынып, оның бір жыл, бір күндік ресурстық мүмкіншілігі есептелген. Нәтижелерге қарасақ, төрт контурлы жазық коллектордың жылу энергиясын беру мүмкіншілігінің өте тиімділігі дәлелденген. Алынған диссертация нәтижелерінде әртүрлі формадағы жазық коллекторлардың жылыту энергиясын беру ресурсын бағалау мүмкіншілігі.

## АННОТАЦИЯ

В этой магистрской диссертации рассматривается использование солнечного света в системе горячего водоснабжения посредством преобразования солнечного света в энергию нижнего потенциала. В решений данной проблемы рассматривается использование плоских солнечных коллекторов и их теплоресурсные возможности. В этой связи показаны коллекторы в четырех разных формах, выбор самой оптимальной формы коллектора, расчеты за год и за день. В результатах видны эффективная возможность теплоотдачи четырех контурных коллекторов. В результатах диссертации показана возможность оценки ресурса теплоотдачи разных коллекторов.

## ANNOTATION

In this master's thesis is considered warm water supply system using sun ray (JSJJ) and using sun ray to produce low potential energy .To solve this problem are used flat sun ray collectors (JKSK) and is considered their heating resource possibilities .In this dissertation is considered four different types of flat collectors and the most optimal form of the collector have been selected.And was examined one year and one day resource possibility. According to the results, the four loop flat collectors efficiency of thermal power capacity have been proved. Thesis results assessment of the possibility of various forms of flat heating energy resource.

## НОРМАТИВТІК СІЛТЕМЕЛЕР

Осы магистрлік диссертацияда келесі стандарттарға сілтемелер пайдаланған:

1. 2011-2020 жылдарға арналған Қазақстан Республикасының тұрғын үй-коммуналдық шаруашылығын модернизациялау бағдарламасы.
2. Қазақстан Республикасының 2007 жылғы 27 шілдедегі «Білім туралы» Заңы;
3. «Жоғары білім беру үйымдары қызметінің ұлгілік қағидалары» КР Үкіметінің 2013 жылғы 17 мамырдағы № 499 Қаулысы;
4. 2009 жылы қабылданған «Қалпына келетін энергия көздерін пайдалануды қолдау туралы» Қазақстан Республикасының заңы;

## АНЫҚТАМАЛАР

Күн энергетикасы дегеніміз – күннің сәулеленуін пайдаланып қандай да бір түрдегі энергияны алуға негізделген дәстүрлі емес энергетика бағыттарының бірі.

Күн коллекторы – күн энергиясының радиациясын барынша қабылдау үшін, қара тұске боялған, әдетте ғимараттардың шатырында орналастырылатын металл тілімшесі және тутікше модулі күн энергиясын жинақтауға арналған құрылғы.

Коллектордың түсінен күн сәулесі жылуға айналып, сұйық жылу тасымалдағыш(су, антифриз және т.б.) арқылы жүту панелімен каналдарға ағады.

Жылу техникасы – жылу энергиясын алу мен оны пайдалану әдістерін қамтитын ғылым мен техника саласы.

### БЕЛГЛЕУЛЕР МЕН ҚЫСҚАРТУЛАР

- ХҚТУ – халықаралық қазақ түрк университеті;
- ҚР – Қазақстан Республикасы;
- ЖКСК – жазық күн су жылтыту коллекторы
- ЫСЖЖ – Ыстық сумен жабдықтау жүйесі
- ЖКСА – жазық күндік сұжылтыту абсорберлері
- $G_{уд}$  – салыстырмалы (яғни коллектордың бетінің аудан бірлігіне қатысты) бұл коллектор арқылы жылтылыштың судың шығыны
- $F$  – коллектордың бетінің ауданы плошады
- $t_p$  – бұл коллектордың жалпы жылулық коэффициенті
- $t_{вых}$  и  $t_{вх}$  – коллекторда жылтылыштың судың орташа температурасы жартылай сома ретінде анықталады

## МАЗМҰНЫ

<b>КІРІСПЕ</b>	9
<b>1 СУДЫ ЖЫЛЫТУҒА АРНАЛҒАН КҮНДІК ЖАЗЫҚ КОЛЛЕКТОРЛАР ЖӘНЕ ОЛАРДЫҢ ЖЫЛУЛЫҚ ЕСЕБІНІҢ ӘДІСТЕРІ</b>	13
1.1 Сүйік жылутасымалдағышты жылышу үшін арналған күндік коллекторлардың негізгі құрылымдық шешімдері	13
1.2 Сүйік жылутасымалдағышты жылышу үшін күндік коллекторлардың жылу тиімділігі	16
1.3 Сүйіктің жылутасымалдағышты жылышу үшін жылу шығындарын есептеудің қазіргі әдістері	20
1.4 Жылудың ресурсын алгориттмен есептеу (ЖКСК)	22
<b>2 ЖЫЛЫ СУМЕН ҚАМТАМАСЫЗ ЕТУ ЖҮЙЕЛЕРИНДЕ ЖАЗЫҚ КҮНДІК СУЖЫЛЫТУ КОЛЛЕКТОРЛАРЫНЫҢ ЖЫЛУЛЫҚ ТИІМДІЛІГІ МЕН ЖЫЛУӨНДІРГІШТІЛІГІН ЕСЕПТЕУ ҮШІН БАСТАПҚЫ ДЕРЕКТЕРДІ ЖИНАҚТАУ ЖӘНЕ ДАЙЫНДАУ</b>	28
2.1 Жазық күндік коллекторлардың сәулекабылдағыш беттеріне сомалық күн сәулесінің түсі	28
2.2 Сомалық күн сәулесінің жазық коллектордың жарықмөлдір беті арқылы өтуін есептеу	32
2.3 Сомалық күн сәулесінің жазық коллекторының жылуалмасу панелінің жүтқан бетін есептеу	34
<b>3 ІСТЫҚ СУМЕН ҚАМАТАМСЫЗ ЕТУ ЖҮЙЕЛЕРИНДЕГІ ЖАЗЫҚ КҮН КОЛЛЕКТОРЛАРЫНЫҢ ЖЫЛУӨНДІРІСІ ЖӘНЕ ЖЫЛУЛЫҚ ТИІМДІЛІГІ</b>	37
3.1 Жарық күн барысындағы жазық күн коллекторларының жұмыс тәртібі	37
3.2 Жазық күндік сужылышту коллекторының жылуөнімділігін анықтау әдістері	38
3.3 Жазық күндік сужылышту коллекторларының негізгі жылутехникалық сипаттамалары	39
3.4 Істық су алынатын температуралардан жазық күн коллекторларының жылуөнімділігін есептеу нәтижелері	40
3.5 Тәжірибелік бөлім. Жазық күндік сужылышту коллекторларының бағалануы	42
<b>ҚОРЫТЫНДЫ</b>	98
<b>ПАЙДАЛАНЫЛҒАН ӘДЕБІЕТТЕР ТІЗІМІ</b>	99
<b>ҚОСЫМША 1</b>	103
<b>ҚОСЫМША 2</b>	114

## КІРІСПЕ

**Жұмыстың өзектілігі.** Қазақстан Республикасының оңтүстік аймақтары жағдайында жылу шығындарын жабуга жыл сайын 10 мың тонна шартты жанармай жұмсалатын, коммуналдық жылуенергетикасы саласында қуат үнемдеудің қазіргі заманғы бағыттарының бірі бұл салаға әлеуметті төмен жылу қуатын өндіретін күндік-жанармайлық технологияны енгізу болып табылады. Осы технология бойынша жұмыс жасайтын, жылуөндіретін құрылғылар үйлестірмелі күндік-жанармайлық қазандықтар деп аталады. Осы қазандықтардың күндік жағын танытатын гелиоприставкалар жазық күндік суды жылыту коллекторларынан(ЖКСК), аралық жылу аламстырушылар (жылдамдықтың сұжылытықштар) мен циркуляциялық сорғыштардан тұрады және ағын судың алдын ала жылытыуы үшін ( $35\text{--}40^{\circ}\text{C}$  дейін) арналады.

Жылу қуатын өндірудің «таза» күндік технологиялармен салыстырудың негіхі артықшылықтарына келесілер жатады:

- әлеуметтің төменгі тәуелділігі, яғни олардың көмегімен жылытылатын су температурасы, ауа райы жағдайы, яғни жоғарғы сенімділік;

Корлық және экономикалық өтімділік.

Қазақстан Республикасының статистика бойынша Агенттігінің деректеріне сәйкес жыл сайын Қазақстанда жылумен қамтамасыз ету қажеттіліктеріне (жылу мен ыстық су) жылулық қуаттың 80 млн Гкал мөлшері жұмсалады. Мұнда, жылу қуатының 60 пайзынан артығы ірі қалалар мен қала тектес ірі елді мекендерде тұтынлады, оларға тұрмыстық көп қабаттық құрылымтар мен өндірістік кәсіпорындардың негізгі бөлігінің шыгарландырылуы тән. Жылу қуатының 30 пайзына жуығы қуаты төмен 100 Гкал/сағаттық шағын қазандықтармен өндіріледі.

Қазақстан территориясындағы жылу қуаты өндіретін 42 ірі орталық жылумен қамтамасыз ету жүйелері 38 ЖЭС-тен , ал жылу қуатының қалған көлемі 30 аймақтық қазандықтардан келеді. Жылумен қамтамасыз ету кезеңінің ұзақтығы Қазақстанның оңтүстігінде сыртқы температура  $-2^{\circ}\text{C}$ , жылына 3500-4000 сағатты, ал солтүстікте орташа сыртқы температура  $-8^{\circ}\text{C}$ , жылына 5000 сағаттан аса құрайды.

БҮҰ-ның Даму бағдарламасы деректеріне сәйкес (бұдан әрі БҮҰДБ) Қазақстан республикасында, Энергетикалық зерттеу институты Қазақстанның жалпы жылу тұтынуы көрсеткішіне болжамдық бағалау жасады. Осылайша, адам басына жылу үлесі өндірістік емес салада 2010 жылы 2000 жылғы көрсеткішпен салыстырғанда 7,54% артып, адам басына 8,42 Гкал/жылына құрады. 2000 жылмен салыстырғанда, 2010 жылы жылутұтыну үлесі 20,3% артып, адам басына 12,2 Гкал/жылына құрады. Орта есеппен, 2000-2010 жылдар арасында халықтың жалпы жылу тұтынуы 1,84% құрады [3] .(1-кесте)

*1.-кесте. Қазақстан Республикасының жылу қуатына сұранысы, жалпы көрсеткіштер*

көрсеткіш	2000	2010	2020	2030
Халық саны, млн.адам	14,9	15,7	17,2	19,2
Жылу тұтыну, млн. Гкал	150,8	190,9	240	272
<b>Өндірістік емес саладағы жылу тұтыну</b>				
Адам басына Гкал/жыл	7,83	8,42	9,3	9,5
ЖІӨ жылусыйымдылығы, Гкал/жыл АҚШ-тың 1000 долларына	8,24	4,62	3,42	3,05
Жалпы жылу тұтыну адам басына, Гкал/жыл	10,14	12,2	13,2	14,4

Осы саладағы іздестірушілік зерттеулер көрсеткендей, ауыз суды  $35\div45^{\circ}\text{C}$  дейін алдын ала жылдың жылы мезгілінде гелиоприставкаларда жылуоқшаулағыш корпусы және жарықмөлдір беттері бар дәстүрлі күндік су жылдыту коллекторларының орнына жылуоқшаулағыш түбі бар жазық күндік сұжылыту абсорберлері (ЖКСА) қолданылу мүмкін. Корпустың жарықмөлдір беті болмағандығының арқасында жылуоқшаулағыш түбі бар жазық күндік сужылыту абсорберлерінің жылу шығындары қарапайым сапасы орташа сужылыту коллекторларына қарағанда  $2,0\div2,5$  есе көп. Бірақ корпустың жарықмөлдір қабатының алдыңғы бетіндегі күннің шағылысынан туындаған оптикалық шығындарды есептегеннен басқа, жылу тиімділігі (яғни пайдалы әсер коэффициенті) жазық абсорберлерде су  $35\div45^{\circ}\text{C}$  дейін жылдың жылы мезгілінде жылдыған кезде 1,5 есе жоғары, ал құны қарапайым коллекторлармен салыстырғанда  $1,5\div2,0$  есе төмен.

Кор өлшемдерін тиімділетуге, жылу тиімділігін арттыру мен үйлестірілмелі күн-жанармай қазандықтарының гелиотехнокалық бөлігінің бағасын төмендету жолдарын іздестіруге негізделген ғылыми зерттеулер өзекті мәселе болытtabылады.

**Диссертациялық жұмыстың зерттеу мақсаты.** Өндірістік кәсіпорындардың технологиялық участкілері мен әлеуметтік және коммуналдық-тұрмыстық объектілері үшін қуаты шағын жынармай қазандықтары үшін гелиоприставканың ЖКСА тәжірибелі үлгілерін шығару мен қорлық өлшемдері, құрылымдық-жылутехникалық өлшемдерін жасау және тиімділету.

Осы мақстатқа жету үшін *келесі міндеттерді орындау керек:*

- Қазақстан Республикасы мен шетелдегі жылумен қамтамасыз етудің күндік және күндік-жанармайлық жүйелерінің құрылымдық және жылутехникалық сипаттамаларын талдау;
- жылдың жылы мезгілінде қолданылатын, ыстық сумен қамтамасыз етудің күндік-жанармайлық жүйелерінде ауызсуды алдын ала жылдыту үшін

гелиоприставкалардың ЖКСА жылутехникалық және қорлық сипаттамаларын жалпылау;

- жалпыланған өлшемдермен өндірістік маңызы бар гелиоприставкалардың ЖКСА тәжірибелі үлгілерін жасау және сынау.

**Диссертациялық жұмыстың ғылыми жаңалығы мен тәжірибелік маңызы:** Қазақстанның географиялық факторлары мен жанартпалы энергетиканы дамыту үшін қайтаөндөлетін қуаттың дәстүрлі емес қайнарларының әлеуеті қолайлыш. Күн қуатының әлеуеті бойынша Қазақстан әлемде жетекші орынды иеленеді. Орталық азияның үлкен аймағын алғып жатқан, Қазақстанның 2,7 млн. км<sup>2</sup> территориясы күн және желқуаты секілді қайтажааратын қайнар көздердің дамуы үшін қолайлыш географиялық және климаттық жағдайларды иеленеді. Күндік күндердің көлемі жылына күннің сәулелену қарқыны 1300-1800 кВт/сағ болғанда, 300 күнді құрайды.

Екінші жағынан, 2011-2020 жылдарға Қазақстан Республикасының Тұрғын үй-коммуналдық шаруашылығын модернизациялау бағдарламасының мәліметтері бойынша 2010 жылды Қазақстанда ғимараттардағы күн қуатын жұмсайды мәлішері жылына шаршы метрге 270 кВт көлеміне жуық, ол жылына шаршы метрге 100-120 кВт болатын, орташа европалық көрсеткіштерден артық. Тарату барысындағы шығындар елдер арасында жылу қуатын өндіруден 6 – 7%, Финляндияда – 4%, Қазақстан Республикасында 15-тен 30% дейін жетеді.

Соңғы жылдары Қазақстанда жылу және электрқуатының тұтынуының өсуі тұрақты. 2010-2015 жылдары көрсеткіштің өсуі болжамдалады. Дегенмен, көптеген елдерде, сның ішінде Қазақстанда экономиканың қайтакұрылудың әкелуі мүмкін энергетикадағы жаһандық мәселелер алыс емес. Қуаттасымдағыштарды экспорттайтын елден Қазақстан қайта жаңааратын энергетикалық құрылғыларды импорттайтын елге айналу мүмкін.

Жылу қуатының тиімділігін арттыру, ЖІӨ қуатсыйымдылығын төмендету мәселелерін шешу шегінде Қазақстан үшін жылу үнемдеу механизмдерін енгізу, жылу қуатын тасымалдау барысында шығындарды төмендету, *сонымен бірге қайта жаңааратын қуат көздерін қолдану өзекті болыт табылады*. Елдің климаттық жағдайларын ескере отырып, қуатты ЖЭС есептерінен жылудан бас тарту қыс мезгілінде мүмкін емес. Ал жаз мезгілінде, мысалы, Жапония мен Түркияда жылу желілеріне жүктемені төмендете отырып, көп қабаттық тұрғын үйлерде ЖКСК арқылы жылтыға болады. Бул жағдайда ЖКСК колеміне оптимизациялау және оны жылу энергия ресурсыны оптимизациялау озекті маселе болып табылады. Бул маселене шешу диссертациялық жұмыстың негызгы жаналық болып саналады *Осы көзқарас тараптынан, диссертациялық жұмыста шешілетін міндеттер үйліми жаңааратыққа және тәжірибелік маңызға ие*.

**Жұмыстың аprobациясы.** Магистрлік диссертация бойынша алғынған негізгі нәтижелер «Жаңа формацияда кәсіптік білім беру мәселелері» атты III-дәстүрлі халықаралық ғылыми-тәжірибелік конференцияда, А. Ясауи атындағы

ХҚТУ-нің электр инженериясы және компьютерлік инженерия кафедраларының біріккен семинарында баяндалып, талқыланды.

**Зерттеу әдістері.** Мақсатқа жету үшін жұмыста модельдеудің математикалық әдістері, күн физикасы әдістері, жазық коллекторларды құрастырудың инженерлік әдістері қолданылды.

**Жұмыстарды сынау.** Магистрлік диссертацияның негізгі мазмұны төмендегі тізімдегі 2 баспа жұмысында жарық көрген.

1. Тепловая эффективность солнечных коллекторов для нагрева жидкого теплоносителя // А.Ясауи атындағы ХҚТУ-нің хабаршысы.-2014.-№3(92) қараша-желтоқсан.-23-27.
2. Ипользование альтернативных источников энергии в системе горячего водоснабжения в теплый период года // А.Ясауи атындағы ХҚТУ-нің хабаршысы.-2014.-№1(88) наурыз-сәуір.-91-96.

**Диссертация құрылымы мен көлемі.** Диссертация кіріспеден, үш тараудан, қорытындыдан, пайдаланылған әдебиеттер тізімі мен қосымшадан тұрады. Жұмыс беттік мәтінде баяндалып, 99 беттен, 16 сурет пен 23 кестеден тұрады. Пайдаланылған әдебиеттер саны 72.

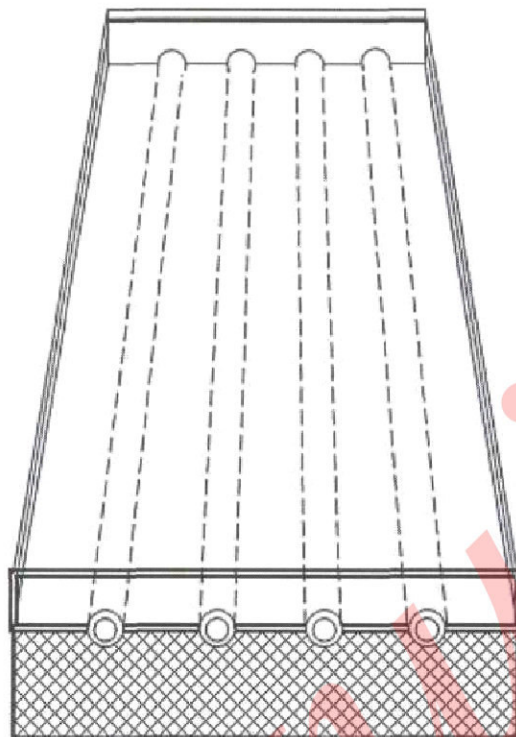
## 1 СУДЫ ЖЫЛЫТУҒА АРНАЛҒАН КҮНДІК ЖАЗЫҚ КОЛЛЕКТОРЛАР ЖӘНЕ ОЛАРДЫҢ ЖЫЛУЛЫҚ ЕСЕБІНІҢ ӘДІСТЕРІ

### 1.1 Сұйық жылутасымалдағышты жылыту үшін арналған күндік коллекторлардың негізгі құрылымдық шешімдері

Сұйық жылутасымалдағыштарды жылыту үшін арналған жазық күндік коллекторлардың көпшілігі негізгі төрт бөлшектерден тұрады (сурет 1.1.1):

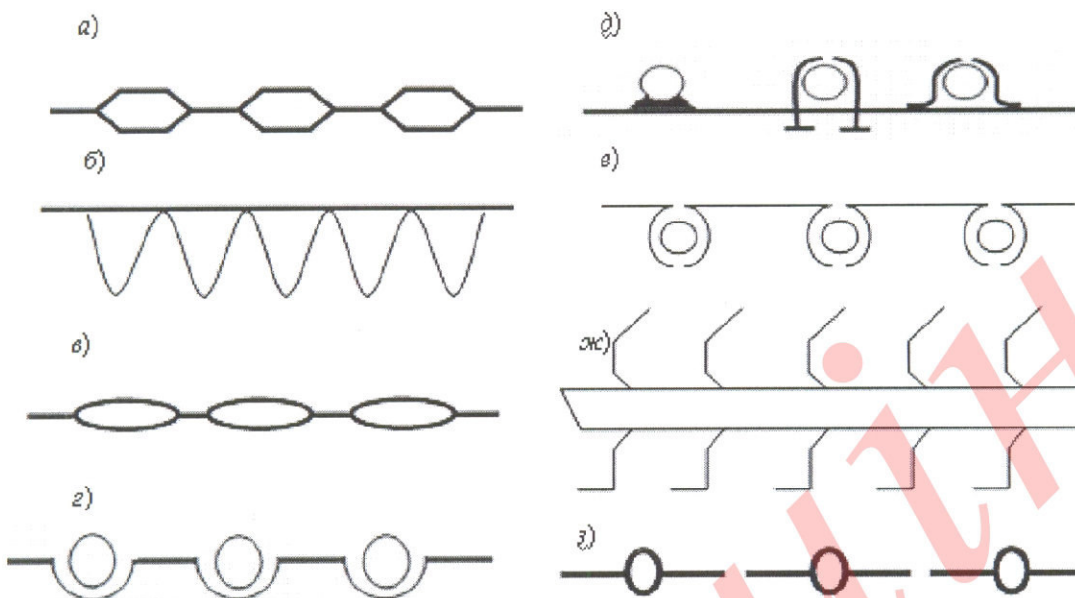
- күн сәулесінің кемінде 90 %-ының жұтылуын қамтамасыз ететін, сұйық жылутасымалдағыш үшін каналдары бар жұту панелдері;
- әйнектенудің бір немесе екі қабаттарынан тұратын, мөлдір оқшаулағыштар;
- коллектордың түбі мен оның бүйік шеттері арқылы жылудың шығынын төмендететін, жылудық оқшаулағыштар;
- беті мөлдір оқшаулағышпен жабылған, жұту панелі мен жылу оқшаулағыштары орналасқан, корпустар.

Коллекторда түскен күн сәулесі жылуға айналып, сұйық жылу тасымалдағыш(су, антифриз және т.б.) арқылы жұту панелімен каналдарға агады. Мөлдір оқшаулағыш жұтылу панелінен атмосфераға конвективтік және сәулелік шығындарды төмендетіп, нәтижесінде коллектордың жылушығаруы артады. Белгілі болғандай, мөлдір орталардың көпілігі, соның ішінде әйнек сәулелерді селективтік өткізеді, яғни өткізу қабілеті түскен сәуле толқынының ұзындығына байланысты. қарапайым терезе әйнегі күн сәулесін 85 ... 87 % дейін өткізгенімен, бірақ панелдің жылу сәулесі үшін мөлдір емес. Бір қабаттық әйнектен екілікке өту мөлдір оқшаулағыш арқылы жылу шығындарының төмендеуіне әкелгенімен, сонымен қатар, жұту панеліне түсетін сәуле ағымының тығыздығы да төмендейді.



Сурет 1.1.1 Сәулелік жазық коллектордың қағидалық сызбасы.  
1-корпус; 2-сәулелік оқшаулағыш; 3-жылутасымалдағыш үшін каналдар;  
4-жұту панелі; 5-жылулық оқшаулағыш.

Сұйық жылутасымалдағышты, мысалы, суды жылтыту үшін жазық коллекторлар коммуналдық-тұрмыстық салада ыстық сумен қамтамасыз дандыру және жеке, қоғамдық гимараттарды жылтыту үшін, ауылшаруашылық өндірісте өнімді сақтау және өндіреу үшін, өнеркәсіпте(мата, тері, тағам және т.б.)- орташа температураларды ( $100^{\circ}\text{C}$  дейін) талап етін, технологиялық үдерістерде қолданылады. Шетелдерде жазық сәулелік коллекторларды жаз мезгілінде сырттағы ашық хауыздарды жылтыту үшін қолданылады. Бұл жағдайда температураның жоғарылауы үлкен емес. Соңдықтан, жұту панелі пластмассадан немесе резинкеден әйнектендірусіз қолданылады. Мұндай коллекторлар абсорбциондық деп аталады. Коллекторлардың осындай жұту панелдерінің құрылымдарына келесілер жатады [6]:



Сурет 1.1.2 Сүйық жылутасымалдағышты жылтыту үшін жұту панелі құрылымының қағидалық сыйбасы.

а — қалыпты панелдік жылтыту радиаторы; б — екі цинктелген болат қабаттан жасалған панел — гофрирленген және жазық; в — домаланып дәнекерленген алюминиделген панел; г — қабаттарға бекітілген құбырлардан тұратын регистр ; е – арсылыған металл пластинкалары бар құбылдардан тұратын регистр ; ж – алдыңғы қабыргалы құбырлардан тұратын регистр; д – металл қабат пен құбылды біріктеру амалы; з — ұзындықтық қабыргалары бар құбырлардан тұратын регистр.

- болаттан жасалған панелдік жылтыту радиаторы (сурет 1.1.2, а). Бұрынғы КСРО-да 0,8 кп болаты негізінде жасалған коллекторларды жылтыту құрал-жабдықтарының Братский зауыты шығарды;
- екі цинктелген гофрирлік және жазық болат қабаттардан тұратын панелдер бүкіл өлемде кеңінен қолданылады (сурет 1.1.2, б);
- домалатылған-дәнекерленген алюмин панелі 1.1.2.-суретте, в). Бұрынғы КСРО-да осындай АД-1 алюминийнен тұратын панелді түсті металдарды өндеду және түсті металдарды қорытпа жасайтын Бакулік зауыт шығарды;
- металдық қабаттары бар құбырлардан тұратын регистр. Қабатты бекіту амалдары 1.1.2 суретте көрсетілді;
- арсылыған металл пластинкалары бар құбылдардан тұратын регистр [4]1.1. 2 сурет;
- Е) олардың өзбек мамандармен жасалған және ұсынылған бүйір қабыргалары құбырларға жанастырылып, пластиналар мен құбырлар арасында жақсы жылулық байланысты қамтамасыз етеді;

- алдыңғы және ұзындықтық қабырғалы құбырлардан тұратын регистр 1.1.2-суретте.

Жұту панелінің келесі қасиеттері болу керек: сұйық жылутасымдағышты жылтыту үшін сәулелік коллекторлар

- ұзақ қызмет уақытын қамтамасыз ету үшін антифриздерге, су жылутасымдағышына коррозиялық тұрақтылық;
- шағын салмақ;
- коллектор жұмысның жоғарғы тиімділігіне жету үшін қажетті жылутасымдағыш циркуляциялайтын, сәуле жүткыш қабат пен құбырлар арасындағы жақсы жылулық байланыс;
- шығындарды төмендету мақсатында технологиялылығы.

## 1.2. Сұйық жылутасымдағышты жылтыту үшін күндік коллекторлардың жылу тиімділігі

Күндік сужылыштық коллекторлардың жылу тиімділігі немесе пайдалы әрекетінің коэффициенті(ПЭК) басқа күндік жылтыту құрылғылары секілді пайдалы алынған қуаттың ( $Q_{\text{пол}}$ ) салыстырмалы күн сәулесінің бетіне түсінің  $Q_{\text{пад}}$  қатынасына тең, яғни

$$\eta = \frac{Q_{\text{пол}}}{Q_{\text{пад}}} \quad (1.2.1)$$

Оз кезегінде, ( $Q_{\text{пол}}$ ) анықтау үшін шығын ( $G$ ) мен осы коллекторда жылтытылатын су температураларының түрлілігімен анықталады

$$\begin{aligned} (\Delta t = t_{\text{вых}} - t_{\text{вх}}), \text{ яғни} \\ Q_{\text{пол}} = G C_p (t_{\text{вых}} - t_{\text{вх}}), \end{aligned} \quad (1.2.2)$$

Мұндағы  $C_p$  – жылутасымдағыштың салыстырмалы жылусыйымдылығы (мысалы, су үшін) [6]  $C_p=4,1868 \text{ кДж/(кг}^{\circ}\text{C)}$ ;  $t_{\text{вых}}$  и  $t_{\text{вх}}$  – коллектордан шығатын ыстық жылутасмыалдағыштың температурасына және коллекторға шығатын бастапқы сұық жылутасымдағышқа сәйкес;

$$G = G_{\text{уд}} F \quad (1.2.3)$$

Мұндағы

$G_{\text{уд}}$  – салыстырмалы (яғни коллектордың бетінің аудан бірлігіне қатысты) бұл коллектор арқылы жылтытылатын судың шығыны ;  $F$  – коллектордың бетінің ауданы плошады фронтальной поверхности коллектора.

$Q_{\text{пад}}$  мәні (1.2.1) қатысты келесі мәннен анықталады

$$Q_{\text{пад}} = q_{\text{пад}} F \quad (1.2.4)$$

мұнда

$$q_{\text{пад}} = q_{\text{пад}}^{\text{np}} + q_{\text{пад}}^{\text{диф}} \quad (1.2.5)$$

- коллектордың бетіне түсетін, сомалық сәулеленудің беткі тығыздығының ағымы;  $q_{\text{пад}}^{\text{np}} + q_{\text{пад}}^{\text{диф}}$  - коллектордың бетіне түсетін тік және дифузиялық күндік сәулелену бетінің тығыздығына сәйкес.

Бұларды сәйкестендіре отырып, (1.2.2), (1.2.3) және (1.2.4) қатысты (1.2.1) алынатыны

$$\eta = \frac{C_{y\delta} C_p (t_{\text{бұх}} - t_e)}{q_{\text{пад}}} \quad (1.2.6)$$

байқалғандай(1.2.6), жылу тиімділігі немесе коллекторлардың күндік сужылыштының тиімді әрекетінің коэффициенті олардың бетінің ауданына тәуелді емес ( $F$ ).

Сонымен қатар(1.2.6), коллекторлардың жылу тиімділігінің мәні есептеуден анықталу мүмкін,

$$\eta = \eta_{mn} \eta_0 - \eta_{nm} K_{np} \left( \frac{t - t_0}{q_{\text{пад}}} \right) \quad (1.2.7)$$

Олар еңбектен алынған [4,5]

Бұл теңдеуде(1.2.7)

$$\eta_0 = \tau \alpha_p \quad (1.2.8)$$

- жүйенің оптикалық тиімділігі немесе оптикалық ПӘК бұл коллектордың «жарық-мөлдір қабаты- сәуле жұтушы панелі»;  $\tau$  - сәуле жұтушы панелі бетінің жалпы күн сәулелік коллектор корпусының жарық-мөлдір қабатының өткізгіштік коэффициенті;

$$K_{p=0}^{np} = \frac{Q_{mn}}{F(t_p - t_0)} \quad (1.2.9)$$

- коллектордың алдыңғы бетінің аудан бірлігі мен қоршаған ортасын( $t_0$ ), сәулежүту панелінің бетіндегі температуралардың түрлілігі ( $t_p$ ) бұл коллектордың жалпы жылулық коэффициенті;  $Q_{mn}$  - қоршаған ортаға коллектордың жалпы жылу

шығындары;

$$t_p = 0,5(t_{\text{вых}} - t_{\text{вх}}) \quad (1.2.10)$$

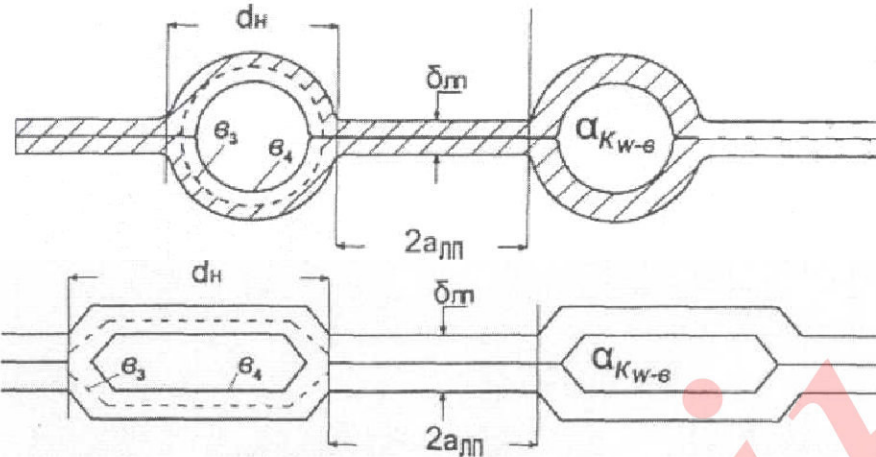
- коллекторда жылтылыштың судың орташа температурасы жартылай сома ретінде анықталады  $t_{\text{вых}}$  и  $t_{\text{вх}}$ ;  $\eta_{mn}$  - коллектордың сәуле жүту панелінің жылутехникалық жетлуінің көрсеткіші, ол дайындық материалы мен құрылымдық өлшемдерден, сонымен қатар, судың ол арқылы жалпы шығындалуынан тұрады ( $G_{\text{уд}}$ ).

Мыс және алюминий секілді жоғарғы жылу өткізіш материалдардан тұратын сәуле жүтушы панелдер үшін  $\eta_{mn}$  мәні 0,96/0,98 дейін жетеді[6].  $\alpha_{\rho}$  мәні (1.2.8) формуласында қара күие, қара кремнийорганикалық (КО), пентафлаттық(ПФ) және пештік лактар күн коллекторларының сәулежүту панелдеріне жағылыш, [7], 0,94/0,97 құрайды.  $\tau$  мәні (1.2.8) формуласында жарық уақыты 0(таң ертең және кешке) мен 0,9(түсте) аралығында ауытқыды. Ал орташа күндік  $t$  мәні 0,7/0,8 аралығында қолданылыштың жарық-мөлдір беттің оптикалық(терезе әйнегі) сапасына байланысты

P.R. Аvezov [4] алғаш рет есептеудің жалпы әдістемесін ұсынды. Негізге алынған сәулежүту панелінің құрылымы 1.1.2 суретте көрсетіледі. Мұндағы  $\eta_{mn}$  анықталатын формула сәулежүту панелдерінің барлығына тиісті болғандықтан, сужылышту коллекторларының сәулежүту панелдеріне жылутехникалық сараптамаларды жасауга, жеке бұындар мен жалпы сәулежүту панелінің жылутемеликтилігін арттыруға, жылуыштарғыш каналдар арқылы жылутасымағыштың(судың) жылу шығындарын қысқартуға мүмкіндік береді. көбінесе, [5] формуласында ұсынылған  $\eta_{\text{пп}}$  есептеу үшін, 1.2а және 2.1 в суреттегі сызбада көрсетілген сәулежүту панелдері үшін [8,9] формулаға тең:

$$\eta_{mn} = \left\{ K_{np_{\rho=0}} (2a_{mn} + d_n) \left[ \frac{1}{(2a_{mn}\eta_{mn} + d_n)K_{np_{\rho=0}}} + \frac{1}{2w\delta_3} + \frac{1}{a_{kw-e}v^4} \right] \right\}^{-1} \quad (1.2.11)$$

Мұнда  $2a_{mn}$  – құбырлар арасындағы қашықтық (каналдар);  $d_n$  — құбырдың сыртқы беттінің диаметрі (каналдың ені);  $\lambda_w$  и  $\delta_w$  – сәйкесінше, қабырға (канал) қалындығы мен құбыр дайындау материалының жылу өткізу коэффициенті ;  $a_{kw-e}$  – құбырлардың(каналдардың) ішкі беттінің конвективтік жылуалмасу коэффициенті;  $v^3$  мен  $v^4$  – сәйкесінше, құбылардың(каналдардың) көлденен тілігінің орташа және ішкі периметрі.



Сурет 1.2.3 Сызбалары 1.2а мен в суреттерде көлтірілген, күндік сұжылықтың коллекторлардың сәулележүткыш панелдерінің құрылымдық шешімдерінің қағидалық сызбалары.

$\eta_{\text{шп}}$  көлемі (1.11) формулада [5] формуласы байынша анықталатын ені  $2a_{\text{шп}}$  құбыраалық пластинаның жылу тиімділігінің коэффициенті [5].

$$\eta_{\text{шп}} = \frac{\text{th}(\alpha_{\text{шп}} \sqrt{K_{\text{пр}}(K_{\text{пр}} - 1(p - 0)) / \lambda w \sigma w})}{(\alpha_{\text{шп}} \sqrt{K_{\text{пр}}(K_{\text{пр}} - 1(p - 0)) / \lambda w \sigma w})}$$

$$\eta_{\text{шп}} = \frac{\text{th}(\alpha_{\text{шп}} \sqrt{\frac{K_{\text{пр},0}}{\lambda w \delta w}})}{\alpha_{\text{шп}} \sqrt{\frac{K_{\text{пр},0}}{\lambda w \delta w}}} \quad (1.2.12)$$

РСГ2-1 болат штампталған радиаторларының тәжірибелі үлгілерінің алдыңғы тілінділерін өлшеу нәтижелеріне және олардың [4] формуласы бойынша есептелуіне сәйкес  $2a_{\text{шп}} + d_{\text{H}} = 0,0578$  м;  $v_3 = 0,095$  м;  $v_3 = 0,091$  м;  $v_4 = 0,01$  м;  $a_{\text{шп}} = 0,01$  м;  $\delta_{\text{шп}} = 0,003$  м;  $d_{\text{экв}} = 0,0229$  м<sup>2</sup> (яғни алдыңғы тілінді ауданы бір каналда 0,0026 м<sup>2</sup>).

Аталған мәндерде  $2a_{\text{шп}} + d_{\text{H}}$ ,  $v_3$ ,  $v_4$ ,  $a_{\text{шп}}$ ,  $\delta_{\text{шп}}$  мәні  $\lambda_w = 50$  Вт/(м•°C) және  $K_{\text{пр}} = 6,0$  Вт/(м<sup>2</sup> • °C) барысында құбыраалық пластинаның жылу тиімділігінің мәні ≈ 1 құрайды. (1.2.11) формуласына кіретін сандық мәндерді орнына қойсак, [9] жұмыста алынатын формула:

$$\eta_{\text{шп}} = \frac{2,8835}{2,8838 + \frac{10,989}{\alpha_{\text{шп}-6}}} \quad (1.2.13)$$

### 1.3 Сұйықтықтың жылуутасымаалдағышты жылдыту үшін жылу шығындарын есептеудің қазіргі әдістері

Коршаған ортаға коллекторлардың жалпы жылу шығындарының мәні ( $Q_{mn}$ ) формулада (1.3.9) жарық мөлдір қабат ( $Q_{mn}^c$ ) арқылы жылу шығындарын, коллектордың ( $Q_{mn}^{\partial n a}$ ) түбін және ( $Q_{mn}^{\delta c}$ ) қабырға қабатын қосудан анықталады, яғни

$$Q_{mn} = Q_{mn}^c + Q_{mn}^{\partial n a} + Q_{mn}^{\delta c} \quad (1.3.1)$$

Өз кезегінде

$$Q_{mn} = F q_{mn}, \quad (1.3.2)$$

$$Q_{mn}^c = F_{cn} q_{mn}^{cn}, \quad (1.3.3)$$

$$Q_{mn}^{\partial n a} = F_{\partial n} q_{mn}^{\partial n a}, \quad (1.3.4)$$

$$Q_{mn}^{\delta c} = F_{\delta c} q_{mn}^{\delta c}, \quad (1.3.5)$$

мұндағы  $F_{cn}$ ,  $F_{\partial n}$   $F_{\delta c}$  – сәйкесінше, жарық мөлдір қабат бетінің жылуалмасу ауданының(эйнектенудің), коллектор корпусының түбі мен бүйір қабырғаларының аудандары ;

$$q_{mn}^{cn} = K_{np_{p=0}} (t_p - t_o) \quad (1.3.6)$$

- коллектордың корпусының жарықмөлдір қабаты арқылы жылу шығындары;

$$q_{mn}^{\partial n} = K_{np_{p=0}} (t_p - t_o) \quad (1.3.7)$$

- коллектордың түбі арқылы шығатын жылу шығындары;

$$q_{mn}^{\delta c} = K_{p=0}^{\delta c} (t_p - t_o) \quad (1.3.8)$$

- коллектордың бүйір қабырғалары арқылы жылу шығындары. [7]

(1.3.14) - (1.3.18) формуласына , кейін (1.3.14) формуласына қойылса, алынған (1.9)  $q_{mn}^{cn}$ ,  $q_{mn}^{\partial n}$ ,  $q_{mn}^{\delta c}$  мәндері сәйкесінше (1.3.19) - (1.3.21), аламыз:

$$K_{np_{p=0}} = \frac{A_{cn} K_{p=0}^{cn} + F_{cn} K_{p=0}^{\partial n} F_{\delta c} K_{p=0}^{\delta c}}{F} \quad (1.3.9)$$

Егер келесі арқылы белгілесек

$$\alpha = \frac{F_{cn}}{F}, \epsilon = \frac{F_{cn}}{F}, \text{ и } c = \frac{F_{bc}}{F}, \quad (1.3.10)$$

онда (1.3.20) мынадай болады

$$K_{np_{p=0}} = \alpha K_{p=0}^{cn} + \epsilon K_{p=0}^{\partial n} + c K_{p=0}^{bc} \quad (1.3.11)$$

(1.3.24) формуласына кіретін күрделі жылу шығындарының коэффициенті болып табылатын, коллектор корпусының жарықмөлдір қабаты арқылы жылу шығындарының коэффициенті келесі факторларға тәуелді: [13] сәулежүту панелі мен жарықмөлдір қабат ( $\delta_{впр-сп}$ ), арасындағы, екі қабатты әйнектену, коллектордың бұрышы мен жазықтыққа иілу бұрышы, сәулежүту панелінің бетіндегі температура, жылдамдық пен жел бағыты және т.б. үшін қабаттар арасындағы ауа қабатының қалындығы.

Бір қабаттың жарықмөлдір корпус қабаты бар күндік сужылытқыш коллекторлар үшін  $K_{p=0}^{cn}, K_{p=0}^{\partial n} \text{ и } K_{p=0}^{bc}$  мәні стационарлық жылуоткізу жағдайларында тартылған беттерге жылу ағымдарының тенденцияны мүмкін [4], яғни

$$K_{p=0}^{cn} = \left( \frac{1}{\alpha_{нап}} + \frac{\delta_{en}}{\lambda_{екв}} + \frac{\delta_{cn}}{\lambda_{cn}} \right)^{-1} \quad (1.3.12)$$

$$K_{p=0}^{\partial n} = \left( \frac{1}{\alpha_{нап}} + \frac{\delta_{uz}}{\lambda_{uz}} \right)^{-1} \quad (1.3.13)$$

$$K_{p=0}^{bc} = \left( \frac{1}{\alpha_{нап}} + \frac{\delta_{uz}^{bc}}{\lambda_{uz}^{bc}} \right)^{-1} \quad (1.3.14)$$

Мұндағы  $\alpha_{нап}$  – коллектор корпусының сыртқы жылуалмасуының сомалық(конвекция мен сәулелену) коэффициенті;  $\delta_{en}$  және  $\lambda_{екв}$   $\lambda_{cn}$  - сәйкесінше, осы қабаттағы ауаның жылуоткізгіштігінің эквиваленттік панелі мен жарық сәулелік қабаты арасындағы ауа қабатының қалындығы;  $\delta_{cn}$  мен  $\lambda_{екв}$   $\lambda_{cn}$  - сәйкесінше, қабаттың жылуоткізгіш материалының қалындығы мен коэффициенті(терезе әйнегі);  $\delta_{uz}^{\partial n}$  мен  $\delta_{uz}^{bc}$  – сәйкесінше, корпустың бүйір қабырғалары мен түбінің жылуоқшаулау қабатының қалындығы;  $\lambda_{uz}^{\partial n}$  мен  $\lambda_{uz}^{bc}$  – сәйкесінше, корпустың бүйір қабырғалары мен түбінің жылуоқшаулау материалының коэффициенті; [7] жақсы жобаланған корпусы жарықмөлдірқабаты бар коллекторда бір қарапайым қабаттан, яғни селективтік сәуленетін қабатсыз сәулежүту панелінің бетінде  $a \approx b \approx 0,94/0,94$ ,

$c=0,4/0,5$  сәйкес мәндер  $K_{p-0}^{cn}, K_{p-0}^{\partial n} u K_{p-0}^{\delta c}$ , құрайды  $6,0/7,0 \text{ Вт}/(\text{м}^2 \cdot ^\circ\text{C})$ ,  $0,7/1,0 \text{ Вт}/(\text{м}^2 \cdot ^\circ\text{C})$ , және  $0,5/0,7 \text{ Вт}/(\text{м}^2 \cdot ^\circ\text{C})$ . а, в мен с мәндерінде, сонымен қатар,  $K_{p-0}^{cn}, K_{p-0}^{\partial n} u K_{p-0}^{\delta c}$ , есептік мән  $K_{np_{p-0}}$  формуlamен анықталып (1.3.22), орта есеппен құрайды  $K_{np_{p-0}} = 0,92 * 6,5 + 0,92 * 0,85 + 0,45 * 0,6 = 7,03 \text{ Вт}/(\text{м}^2 \cdot ^\circ\text{C})$ , бұл жағдай тәжірибе деректеріне сәйкес келеді.

## 1.4 ЖКСК жылу ресурсын есептеу алгоритмі

Есептеулер жасалған орта сапалы ЖКСК о.түстікке қарай бейімделіп және Түркістан қаласы жағдайында жердің жазықтығына (а) 300 бұрышпен орнатылады. Төртконтурлық ЖСЖЖ ( $t_f$  вых) шығысында ыстық судың температурасының мәні үшін алынған 37, 45 және 550 С осы жүйенің тұтынуышылар үшін маңызды. [9]

ЖКСК сәулежүтушы жылуалмасу панелінің (СЖЖП) және күндік төртконтурлық ЖСЖЖ ( $\eta_{mn}$ ) жылулық коэффициенттердің мәндері есептеулерде 0,95 және 0,90 сәйкесінше. Мұнда аралық жылуалмастыруышының ( $\eta_{eac}$ ) жылуөткізу коэффициентінің сәйкес мәндері және аралық жылуалмастыруышының ( $K_{mo}$ ) жылыту бетінің ауданының коллекторының жылуалмасу бетінің (СЖБ) ауданына қатынасы, яғни ( $F_{mo}$ ),  $800 \text{ (Вт}/\text{м}^2 \cdot ^\circ\text{C})$  және 0,311 құрайды. Бастапқы (яғни сұық) судың ( $t_f$  кіріс) температурасының мәндері жылдың сұық кезеңінде 50С (қараша-наурыз айлары) және жылды мезгілде 150С (сәуір-қазан айлары).

1.4.1-1.4.3 кестелерде жүйеден шығыста ыстық су температурасы ( $t_f$  шығ) 37, 45 және 550С болғанда күндік ( $Q_{non,yo}^{\partial n}$ ), айлық ( $Q_{non,yo}^{mes}$ ) және жылдық ( $Q_{non,yo}^{eod}$ ) төртконтурлық ЖСЖЖ ( $q_{non}$ ) [13] жалпы жылуөнімділігінің ортасағаттық мәнінің орташа айлық күндік барысын анықтау бойынша есептеу нәтижелері нақты ауарайы жағдайларында (яғни аспанның бұлғтануы мен ұзақ мерзімдік тетедеректер бойынша қоршаган орта температурасының күндізгі барысының мәні) келтірлді.

1.4.1-1.4.3 кестелерде келтірілген деректерді есептеу нәтижелерін талдау бойынша  $q_{non}$  максималдық мәндері жылдың жылды мезгілдеріне тиесілі. Осылай, жүйеден шығыста судың қызыу ( $t_f$  вых) дейін 370С болғанда ( $q_{non}$ ) мамыр-қыркүйек айларында күндізгі  $10 \div 10$  мен 13-14 сағат уақыт аралығында  $435 \div 480 \text{ Вт}/\text{м}^2$ , ал оның күндізгі ( $Q_{non,yo}^{\partial n}$ ) және айлық ( $Q_{non,yo}^{mes}$ ) сомалары  $-11,97 \div 12,43$

МДж/(м<sup>2</sup>·күн) және 371÷373 МДж/(м<sup>2</sup>·ай), сәйкесінше.  $q_{\text{нол}}(Q_{\text{нол},\vartheta}^{\text{год}})$  жылдық сома мәні мұнда 3029,32 МДж/(м<sup>2</sup>·жыл).

Судың қызыу 45 пен 550С болғанда,  $q_{\text{нол}}$  максималдық мәндері төмендеп және 412÷414 Вт/м<sup>2</sup> пен 381÷384 Вт/м<sup>2</sup> құрамы. ( $Q_{\text{нол},\vartheta}^{\text{дн}}$ ) мен ( $Q_{\text{нол},\vartheta}^{\text{мес}}$ ) мәндері ( $t_{\text{вых}}$ )=450С болғанда 10,91÷11,61 МДж/(м<sup>2</sup>·күн) құрайды және 338,30÷348,50 МДж/(м<sup>2</sup>·ай), ал ( $Q_{\text{нол},\vartheta}^{\text{год}}$ ) - 2767,02 МДж/(м<sup>2</sup>·жыл). ( $t_{\text{вых}}$ )=550С болғанда ( $Q_{\text{нол},\vartheta}^{\text{дн}}$ ) мен ( $Q_{\text{нол},\vartheta}^{\text{мес}}$ ) мәндері 9,80-10,55 МДж/(м<sup>2</sup>·күн) мен 303,37-316,35 МДж/(м<sup>2</sup>·ай) ал ( $Q_{\text{нол},\vartheta}^{\text{год}}$ ) - 2437,11 МДж/(м<sup>2</sup>·жыл). Жүйеден алынатын ыстық су температурасы 37-ден 45 пен 550С дейін көтерілуі кезінде ( $Q_{\text{нол},\vartheta}^{\text{год}}$ ) мәнінің төмендеуі құрайды: 37-ден 450С 9,5%, 37-ден 550С 24,5% және 45 -тен 550С 13,5%. 1.4.1-1.4.3 кестелердегі деректерден көрінетіні, ЖСЖЖ-дағы ЖКСК белсенді күндізгі жұмысының ұзактығы ( $t_{\text{вых}}$ ) мәніне байланысты орай құрайды: 4÷5 сағаттан (жылдың сүйк мезгілінде) 11÷12 сағатқа дейін (жылдың жылы мезгілінде).

37, 45 пен 550С-тан ерекшеленеді, ( $t_{\text{вых}}$ ) мәні ( $Q_{\text{нол},\vartheta}^{\text{год}}$ ) сәйкес мәндері интерполяциялық тәуелділіктен анықталады:

$$(Q_{\text{нол},\vartheta}^{\text{год}}) = (t_f \text{ шығ-37}), \text{ МДж}/(\text{м}^2 \cdot \text{жыл}), \quad (1.4.1)$$

Ол ( $t_f$  шығ) мәніне байланысты ( $Q_{\text{нол},\vartheta}^{\text{год}}$ ) мәндерін есептік ө, деу негізінде алынады. ( $Q_{\text{нол},\vartheta}^{\text{год}}$ ) мәнін анықтау барысындағы қателесу аппроксимациялық тәуелділік бойынша(1) 0,03% құрайды. ( $t_f$  шығ) мәніне байланысты ЖСЖЖ-дағы ЖКСК ( $Q_{\text{нол},\vartheta}^{\text{мес}}$ ) [15] Айлық жылуөнімділігі сомасына жылдық қатынастың өзгеруінің жылдық ( $Q_{\text{нол},\vartheta}^{\text{год}}$ ) барысы 1.4.1 кестеде көрсетіледі.

$t_f$  шығ мәніне байланысты ЖСЖЖ-дағы ЖКСК ( $Q_{\text{нол},\vartheta}^{\text{мес}}$ ) айлық жылуөнімділігі сомасына жылдық қатынастың өзгеруінің жылдық ( $Q_{\text{нол},\vartheta}^{\text{год}}$ ) барысы

Ай	$t_{f_{\text{вых}}}, ^\circ\text{C}$		
	37	45	55
I	7 0,016	7 0,012	0,008
	1 0,029	8 0,025	0,021
	1 0,057	0 0,054	0,049
II	1 0,083	0 0,081	5 0,079
	6 0,122	8 0,122	3 0,124
V	5 0,140	3 0,144	5 0,151
	4 0,153	9 0,160	7 0,169
	3 0,150	5 0,156	7 0,164
III	1 0,123	9 0,125	5 0,129
	1 0,071	9 0,070	8 0,067
X	1 0,038	1 0,034	6 0,030
	7 0,014	8 0,010	0 0,004
	3	2	9

1.4.1 кестеден көріп түрғанымыздай, ЖСЖЖ-дағы ЖКСК-ның тиімді жұмыс жасау мезгілі жылдың жылы қезі болып табылады. Осылай, ЖСЖЖ-дағы ЖКСК-ның жұмыс кезеңі  $\frac{Q_{\text{пол.уд}}^{\text{ай}}}{Q_{\text{пол.уд}}^{\text{жыл}}} > 0,05$  б, онда наурыз-қазан айлары [4] қатынасында,  $\Sigma \zeta$  мәнінде  $\Sigma \zeta$  құрайды: 90,12% мұнда  $t_{f_{\text{вых}}}=$ ; 91,64% мұнда  $t_{f_{\text{вых}}}=$  және 88,64% сәуір-қазан айларында  $t_{f_{\text{вых}}}=$ .

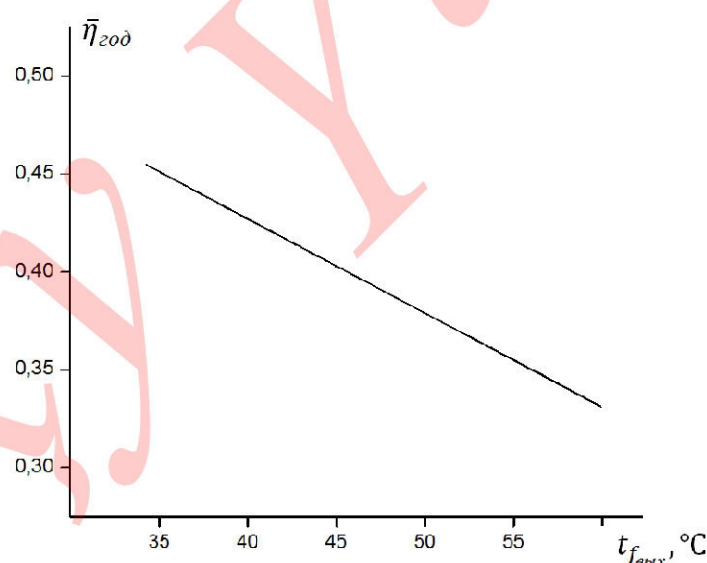
1.41.-1.4.3 және 1.4.4-кестелердегі есептеулер нәтижелеіне сәйкес наурыз-қазан айларында ЖСЖЖ-дағы ЖКСК-ның өнімділігі ыстық су бойынша 38,445 м<sup>3</sup>/(м<sup>2</sup>.мезгіл) мұнда  $t_{f_{\text{вых}}}=$ , 93% құрайды жылдық -41,343 м<sup>3</sup>/(м<sup>2</sup>.жыл) пен 20,188 м<sup>3</sup>/(м<sup>2</sup>.мезгіл) мұнда  $t_{f_{\text{вых}}}=$ , құрайды- 93,6% жылдық -21,569 м<sup>3</sup>/(м<sup>2</sup>.жыл). Мұнда  $t_{f_{\text{вых}}}=$  жылдың наурыз-қазан айларында ЖКСК өнімділігі ыстық су бойынша айтартықтай өмендейді, келесімен салыстырганда  $t_{f_{\text{вых}}}=$  мен , және 12,899 м<sup>3</sup>/(м<sup>2</sup>.мезгіл) құрайды, яғни 90,7% жылдық -14,222 м<sup>3</sup>/(м<sup>2</sup>.жыл).

1.4.1-1.4.3 кестелер мен 1.4.4-кесте [2] негізінде орындалған, жылдың атапған күндеріне сай келтірілген мәніне байланысты төртконтурлық СУВСда ЖКСК жылу тиімділігінің орташажылдық мәнінің орташа айлық күндізгі барысын анықтау бойынша есептеулер нәтижелері 1.4.5-1.4.7 кестелерде беріледі.

Күтілгендей,  $\eta_1$  ең алдымен жыл мезгілі мен күндізгі күнге, қоршаған орта температуралары  $t_{f_{\text{вых}}}$ , мәніне тәуелді. Мұнда, күндізгі  $10 \div 14$  сағат уақыт аралығында  $\eta$  ағымдық мәні  $t_{f_{\text{вых}}}$  болғанда  $0,20 \div 0,23$  мәнінен (жылдың желтоқсан мен қантар айларында)  $0,537 \div 0,595$  (мамыр-қыркүйек айларында) мәніне дейін өзгерді. Орташа айлық  $\eta$ , яғни мұнда  $0,17$ -ден (жылдың желтоқсан мен қантар айларында)  $0,50 \div 0,54$  (мамыр-қыркүйек айларында) мәніне дейін өзгерді. 5-7 кестелеріндегі деректер бойынша, мұнда  $t_{f_{\text{вых}}}$  болғанда мәні  $0,45 \div 0,52$ -ден (мамыр-қыркүйек айларында)  $0,11 \div 0,12$  (жылдың желтоқсан мен қантар айларында) дейін өзгереді, ал мұнда  $t_{f_{\text{вых}}}$  болғанда  $0,40 \div 0,48$ -ден (мамыр-қыркүйек айларында)  $0,047 \div 0,066$  (жылдың желтоқсан мен қантар айларында) дейін өзгереді.

Есептеу нәтижелері көрсеткендегі, 37, 45 и 55 мәнінен ерекшеленетін басқа мәндер үшін [9] сәйкес мәндері ЖСЖЖ-дағы ЖКСК аппроксимациялық тәуелділікпен анықталу мүмкін (1.4.1 сурет):

$$\bar{\eta}_{\text{жыл}} = 0,4412 - 0,0048(t_{f_{\text{вых}}} - 37) \quad (1.4.2)$$



1.4.1 сурет. ЖКСК орташа жылдық жылу тиімділігінің тұтынушыларға берілетін ЖСЖЖ ыстық судың температурасына  $\eta$  тәуелділігі.

Тәуекелді анықтау бойынша МГВС жүйелеріндегі  $\eta_{\text{жыл}} = f(t)$  есептеулердегі қателікттер 35-тен 60  $^\circ\text{C}$  – ге д $0,03\%$  қурайды.

Аппроксимациялық тәуелділікті (2) есептеу нәтижелеріне сәйкес ЖКСК  $Q_{\text{паджыл}}^{\Sigma} = 6866,5461 \text{ МДж}/(\text{м}^2 \cdot \text{ж})$  [2] жазықтық бетіне  $\alpha=300$  бұрышпен илу мен оңтүстікке бейімделген КСК-ға түсетін, күн сәулесінің ағын бетінің

сомалық жылдық мәні екі контурлық ЖСЖЖ-дағы жылдық жылуөнімділігі  $t_{f_{\text{шығ}}}=50^{\circ}\text{C}$  болғанынадай:

$$\zeta = \bar{\eta} Q_{\text{ш}}^1$$

$$[0,4412 - 0,0048(50-37)] 6866,5461 = 2601,0477 \quad \text{МДж}/(\text{м}^2 \cdot \text{ж})$$

Істық су бойынша ЖКСК-ның сәйкес өнімділігі мұнда 17,896 м<sup>3</sup>/(м<sup>2</sup>.жыл) құрайды.

Осылайша есептелген ыстық су бойынша ЖКСК-ның жылдық өнімділігі (17,896 м<sup>3</sup>/(м<sup>2</sup>.жыл)) болаттан жасалған параққұбырлық сәуле жүтуші жылу алмасаты (СЖЖП) панелі бар [5] бойынша 14,980 м<sup>3</sup>/(м<sup>2</sup>.жыл) құрайтын ЖКСК-мен салыстырғанда 19,5% артық.

Біздің есептеулеріміз бен [5] бойынша есептеулер нәтижелеріндегі айырмашылықтар қарастырылған коллекторлардың СЖЖП дайындау материалдарының жылулық қасиеттері мен ( $K$ ) [3] корпус арқылы СЖЖП ЖКСК жылулық шығындарының келтірілген коэффициентіне жарық мәлдір беттің СИ жартылай жүтылуы әсерімен түсіндіріледі.

1.4.2 кестеде көрсетіледі.

Жылутасымдағыштың ( $t_{f_{\text{шығ}}}$ ) шығысындағы температураға сәйкес  $\frac{q_{\text{пол}}^{\text{мес}}}{q_{\text{пол}}^{\text{жод}}}$  ЖКСК-ның жылуөнімділігінің айлық мәндерінің қатынасы

Айлар	$t_{f_{\text{шығ}}} 0^{\circ}\text{C}$		
	$37^{\circ}\text{C}$	$45^{\circ}\text{C}$	$55^{\circ}\text{C}$
I	0,0167	0,0127	0,0080
II	0,0291	0,0258	0,0211
III	0,0571	0,0540	0,0495
IV	0,0836	0,0818	0,0793
V	0,1225	0,1223	0,1245
VI	0,1404	0,1449	0,1510
VII	0,1533	0,1605	0,1697
VIII	0,1501	0,1569	0,1645
IX	0,1231	0,1259	0,1298
X	0,0711	0,0701	0,0676
XI	0,0387	0,0348	0,0300
XII	0,0143	0,0102	0,0049

$$\sum_{00} = 1,0 \quad \sum_{9} = 0,9999 \quad \sum_{9} = 0,999$$

1.4.3 кестеде көрсетіледі.  
ЖКСК-ның жылуөнімділігінің айлық барысы

Ай	$q_{\text{пол}}^{\text{мес}}, \text{МДж/м}^2$		
	3 7 С	4 5 С	5 5 С
I	5 0,7346	3 5,2501	1 9,6075
I	8 8,1748	7 1,2544	5 1,3604
I	1 73,0823	1 49,4045	1 20,6861
V	2 53,3890	2 26,3050	1 93,2750
V	3 70,9894	3 38,3061	3 03,3691
V	4 25,1870	4 00,9080	3 68,1060
II	4 64,3645	4 44,2083	4 13,6888
V	4 54,5840	4 34,2418	4 01,0098
X	3 72,9870	3 48,4950	3 16,3500
X	2 15,3384	1 93,9670	1 64,6472
I	1 17,1620	9 6,3930	7 3,0800
X	4 3,3318	2 8,2844	1 1,9319
II			

## **2 ЖЫЛЫ СУМЕН ҚАМТАМАСЫЗ ЕТУ ЖҮЙЕЛЕРІНДЕ ЖАЗЫҚ КҮНДІК СУЖЫЛЫТУ КОЛЛЕКТОРЛАРЫНЫң ЖЫЛУЛЫҚ ТИМДІЛІГІ МЕН ЖЫЛУӨНДІРГІШТІЛГІН ЕСЕПТЕУ ҮШІН БАСТАПҚЫ ДЕРЕКТЕРДІ ЖИНАҚТАУ ЖӘНЕ ДАЙЫНДАУ**

### **2.1. Жазық күндік коллекторлардың сәулеқабылдағыш беттеріне сомалық күн сәулесінің түсі**

Республиканың және барлық әлемнің халық шаруашылығында күн қуатын көзінен қолданауга дайын салаға оның әлеуеті төмен жылуға айналуы мен осындағы температуралық әлеуеттің тұтынушысы болып табылатын, тұрмыстық және тұрғын үй-коммуналдық ыстық сумен қамтамасыз ету жүйелерінің көздері ретінде қолданылуы жатады.

Күндік ыстық сумен қамтамасыз ету жүйелерінің негізгі элементі болып табылатын жазық күн коллекторы күн сәулесінің қуатын әлеуеті төмен жылуға айналдырып, оны жылдатын жылутасымдағышқа өткізеді(су, антифриз және т.б.).

Ыстық сумен қамтамасыз ету жүйелерінің жазық күндік су жылдатын коллекторларының техника-экономикалық көрсеткіштері күндық көрсеткіштермен қатар, климаттық жағдайларымен ерекшеленетін, республиканың түрлі аймақтарындағы сәйкес жылулық зерттеулер арқылы анықталуы мүмкін, ресурстық көрсеткіштерге тәуелді. Дегенмен, сынақтарды жүргізу уақытының және жағдайларының түрлілігі Ыстық сумен қамтамасыз ету жүйелерінің жазық күндік су жылдатын коллекторларының оларды қолданудың температуралық тәртібі мен метеорологиялық деректеріне өзаратеуделділігінің ресурстық көрсеткіштерін анықтауға мүмкіндік бермейді. Сондықтан, есептік немесе тәжірибелік амалдармен анықталған, жеке элементтердің оптикалық және жылутехникалық сипаттамалары мен жергілікті метеорологиялық ұзақ мерзімдік деректер бойынша күндік коллекторлардың жылуөндіру қабілеттерін тапқан дұрыс[4].

Ыстық сумен қамтамасыз ету жүйелерінің жазық күндік су жылдатын коллекторларының жылуөндіру және жылу тиімділігін анықтау үшін біздің қолданған графосаралтамалық әдісіміз Р.Р.Авезовпен ұсынылған, оптикалық және жылутехникалық сипаттамаларын енгізу барысында ұзақ мерзімдік орташа айлық метеорологиялық деректерді қолдануға негізделді[4].

Бұл әдістің мәні мынада:

Көпжылдық (кемінде 12 жыл) метеорологиялық және актинометрлік деректерді өндеу негізінде сол аймақтың түсетін күн сәулесі мен қоршаған ортанның температурасы секілді, «жылға тән» орташа өлшемдері анықталады.

Аймақтарда, мысалы Түркістан, көп жылдар бойы метеорологиялық және актинометрлік қызметтер көп жылдардан бері жұмыс жасайды және олардың

деректері қажетті түрде өндөліп, климаттық анықтамаларда басылып шығарылды[10-12], «жылға тән» орташа өлшемдерді есептеу негізіне осы анықталамал алынады.

Аталған деректер негізінде «жылға тән» орташа өлшемдердің күнделікті барысы үшін метеорологиялық және актинометрлік өлшемдер деректері қарастырылатан айдың орташа айлық ұзақ мерзімдік деректеріне сәйкес(немесе аса жақын).

1.2 тармағында келтірілген, (2.1.1), (2.1.2) және (2.1.7) формулаларында күндік орташа күндік жылуөндіру  $q_{noel}^{\delta_n}$ , және жазық күндік сужылыту коллекторларының  $\bar{q}_{\delta_n}$  тиімділігін анықтау үшін олардың алдыңғы (сәулеқабылдағыш) бетіне( $q_{nad}^{\sum}$ ) сомалық күн сәулесінің күндізгі барысының мәні мен қоршаған орта температурасының өзгеру( $t_o$ ) мәні қажет.

Оз кезегінде, коллектордың алдыңғы бетіне түсетін( $q_{nad}^{\sum}$ ) сомалық күн сәулесінің ағымдық беткі тығыздығы тікелей ( $q_{nad_a}^{np}$ ) диффуздық ( $q_{nad_a}^{\delta np}$ ) беткі жазықтықтар ағымынан және шағылысқан( $q_{nad_a}^{omp}$ ) күн сәулесінен тұрады, яғни

$$q_{nad_a}^{\sum} = q_{nad_a}^{np} + q_{nad_a}^{\delta np} + (q_{nad_a}^{omp}) \quad (2.1.1)$$

$q_{nad_a}^{np}$  мәні (2.1), жазықтыққа иілген( $\alpha$ ) күн сәулелерінің қалыпты бұрыштың беті( $q_1$ ) мен жарық жақтарына, жыл мезгіліне( $\delta$ ) және жарық күніне( $\tau$ ), жердің географиялық еніне( $\varphi$ ) қарай сол коллектордың бейімделуі бойынша коллектор орналастырылып және қызмет етеді[5,13,14]. Өсіреке, күн коллекторы тек онтүстікке бейімделген кезде(күн барысында күн сәулесін барынша алу мақсатында) және жазықтыққа а бұрыштан орнатылған кезде,  $q_{nad_a}^{np}$  мәні былай анықталады:

$$q_{nad_a}^{np} = q_{\perp} \cos i_a, \quad (2.1.2)$$

Мұндағы

$$\cos i_a = \cos \delta \cos(\varphi - \alpha) \cos \omega(Z_0 - Z) + \sin \delta \sin(\varphi - \alpha) \quad (2.1.3)$$

- тік күн сәулесінің күн коллекторының алдыңғы бетіне түсу бұрышының( $i_a$ ) косинусы онтүстікке бейімделген және жазықтыққа а бұрышымен орнатылған:

$$\delta = 23,45 \sin\left(\frac{284+n}{365} \times 360\right) \quad (2.1.4)$$

- Күннің жылдық иілуі;  $\varphi$  - аймақтың географиялық ені;  $\alpha$  -жазықтыққа коллектордың иілу бұрышы;  $Z_0$ - нағыз талтұс мезеті;  $Z$  – жарық күн уақытының ағымдағы мезеті;  $\omega = 15$  град/сағ – Күннің сағаттық бұрышы;  $n$  – ағымдағы жылдың 1-қантарынан бастап, жыл үшін реттін нөмір.
- Күннің жылдық иілуі;

Тік күн сәулесі ағымының беткі тығыздығының орташа күндік мәндерінің күндік барысы күн сәулелері беттеріне қалыпты ( $q_{\perp}$ ) Түркістан қаласындағы бұлттылықтың орташа жағдайында 36 жылға орташаланған, ұзақ мерзімдік деректерді өндөу негізінде 2.1.1 кестеде келтірілді.

Коллектордың алдыңғы бетіне ( $q_{nad_a}^{\text{diff}}$ ) диффузиялық күн сәулесінің келуі  $q_{nad_a}^{np}$  Мәнімен салыстырғанда, коллектордың жарық жақтарына қарай бейімделуі мен оның жазықтыққа иілуі бұрышына тәуелсіз және [5] формуласында анықталады.

$$q_{nad_a}^{\text{diff}} = 0,5(1 + \cos \alpha) q_{nad_{a=0}}^{\text{diff}} \quad (2.1.5)$$

Мұндағы

$q_{nad_{a=0}}^{\text{diff}}$  - жазықтық бетіне диффузиялық күн сәулесінің беткі ағын тығыздығы.

Қоршаған заттардан, ғимараттардан, топырақтың т бетінен коллектордың алдыңғы бетіне  $q_{nad_{a=0}}^{np}$  шағылысқан сомалық күн сәулесі де оның иілу бұрышына тәуелді емес және [5] формуласымен анықталады.

$$q_{nad_a}^{np} = 0,5\rho(1 + \cos \alpha) q_{nad_{a=0}}^{\sum}, \quad (2.1.6)$$

Мұндағы

$$q_{nad_{a=0}}^{\sum} = q_{nad_a}^{np} + q_{nad_{a=0}}^{\text{diff}}, \quad (2.1.7)$$

Сомалық(тік және диффузиялық) және күн сәулесі ағындарының жазық бетке түсетін беткі; қоршаған заттардың альбедо коэффициенті.

Тік  $q_{nad_a}^{np}$  және диффузиялық  $q_{nad_{a=0}}^{\text{diff}}$  күн сәулелерінің Түркістан қаласы үшін орташа бұлттану жағдайындағы беткі тығыздықтарының орташа сағаттық мәндерінің күндізгі барысы 36 жылда орташаландырылып, ұзақ мезімдік деректерді өндөу негізінде 2.1.2. және 2.1.3 кестелерде келтірілді.

$q_{nad_a}^{np}$  мен  $q_{nad_{a=0}}^{\text{diff}}$  Күннің жарықтығы барысындағы сомалары кестелерді жыл айлары бойынша күн барыстарын жоспарлау негізінде анықталады. Күннің шығуы( $Z_{\text{shy}}$ ) мен батуының ( $Z_{\text{bat}}$ ) мезеттері келесі формуладан анықталады[15,16,17,]

$$Z_{ec} = Z_o - \frac{1}{\omega} \arccos(-\operatorname{tg} \varphi \operatorname{tg} \delta) \quad (2.1.8)$$

және

$$Z_{zx} = Z_o - \frac{1}{\omega} \arccos(-\operatorname{tg} \varphi \operatorname{tg} \delta) \quad (2.1.9)$$

(2.1.3) теңдеуін шешу негізінде алынған шешімдер келесі жағдайда  $\alpha=0$ , яғни

$$\cos i_{\alpha=0} = \cos \delta \cos \varphi \cos (Z_o - Z) + \sin \delta \sin \varphi \quad (2.1.10)$$

Мұнда  $i_a = \pm 90^\circ$ .

Күннің жарық болу кезеңінің ұзақтығы анықталады:

$$\Delta Z_{\partial H} = Z_{zx} - Z_{ec} = \frac{2}{\omega} \arccos(-\operatorname{tg} \varphi \operatorname{tg} \delta) \quad (2.10)$$

Коллектор корпусының жарықмөлдір бетін жарықтандыру үдерісінің басталуы ( $Z_{H}^{osc}$ ) мен аяқталуы ( $Z_3^{osc}$ ) мезеттері мындан анықталады:

$$Z_H = \left\{ \tau_o - \frac{1}{\omega} \arccos[-\operatorname{tg}(\varphi - \alpha) \operatorname{tg} \delta], \tau_o + \frac{1}{\omega} \arccos(-\operatorname{tg} \varphi \operatorname{tg} \delta) \right\}_{\min} \quad (2.1.11)$$

және

$$Z_H = \left\{ Z_o + \frac{1}{\omega} \arccos[-\operatorname{tg}(\varphi - \alpha) \operatorname{tg} \delta], Z_o + \frac{1}{\omega} \arccos(-\operatorname{tg} \varphi \operatorname{tg} \delta) \right\}_{\min} \quad (2.1.12)$$

Тендеуді ешу барысында алынған деректер (2.3) мұнда  $i=\pm 90^\circ$ .

Коллектордың алдыңғы бетін күндізгі жарықтандыру уақытының ұзақтығы  $Z_3^{osc}$  мәнін есепке алумен  $\omega = 15$  град/сағ формуладан анықталады.

$$\Delta \tau_{\partial H} = Z_3 - Z_H = \frac{2}{15} \left\{ \arccos[-\operatorname{tg}(\varphi - \delta) \operatorname{tg} \delta], \arccos(-\operatorname{tg} \varphi \operatorname{tg} \delta) \right\}_{\min} \quad (2.1.13)$$

Айдың қалыпты күндері үшін, олардың жыл барысындағы реттік нөмірлері (p), [20] Күннің шығысы  $Z_{\text{шығ}}$  мен батуы  $Z_{\text{бат}}$  мезеттері, күндік коллектордың сәулекабылдағыш бетінің жарықтану уақыты  $Z_3^{osc}$ , сонымен қатар,  $\cos i_{a=0}$  есептеу үшін  $q_{na\partial_a}^{np}$  2.1.4 кестеде келтірілген.

Сомалық  $q_{na\partial_a=0}^{\sum} = q_{na\partial_a=0}^{np} + q_{na\partial_a=0}^{\partial i \phi}$ , ағынның күндізгі орташа сағаттық барысы, Түркістан қаласы үшін бұлтылықтың орташа жағдайы барысындағы жазықтық бетіне күннің сәулеленуі 36 жылға орташаланып, 2.1.5 кестеде келтіріледі.

Түркістан қаласы жағдайында жазық күндік коллектордың жазықтыққа (*a*)  $30^\circ$  бұрышпен орналасып және оңтүстікке сәулекабылдауға түсіп, күн сәулесіне шағылысқан және тік, [21] диффузиялық сәулелердің сомалық ағынының жазықтықтық тығыздығының күндізгі барыстың орташағаттық мәні 2.1.1-2.1.5 кестелері негізінде алғыншылдықтың 1-2.1.6 кестеде көрсетіледі.

## 2.2. Сомалық күн сәулесінің жазық коллектордың жарықмөлдір беті арқылы өтуін есептеу

Коллектор жарықмөлдір корпусының бетіне түсетін,  $q_{nab_a}^{\sum}$  күн сәулесінің сомалық бөлігі келесіге тең:

$$q_{omp_a} = \rho_{\phi\phi} q_{nab_a}^{\sum} \quad (2.2.1)$$

Ол аталған жарықмөлдір беттен артқа қарай шағылысса, ал келесіге тең бөлік

$$q_{nrou_a} = \rho_{\phi\phi} q_{nab_a}^{\sum} \quad (2.2.2)$$

Қарастырылған жарықмөлдір бет арқылы өтеді.

Шағылысудың тиімді коэффициенттерінің мәні [24]  $(\rho_{\phi\phi})$  және жарықмөлдір беттердің күндік сәулелену өткізгіштігі  $(\tau_{\phi\phi})$  олардың беттеріне күн сәулесінің құлау бұрышына тәуелді ( $i_a$ ) және оладың қалындықта олар арқылы өту үдерісінде көп реттік ішкі шағылысусын ескере отырып, ал тік күн сәулеленуі үшін [16] формуласында анықталады.

$$\rho_{\phi\phi}^{np} = \frac{(1-\rho) e^{\frac{\beta\delta}{\cos\tau_{np}}}}{1 - \rho_{np}^2 e^{\frac{\beta\delta}{\cos\tau_{np}}}} \quad (2.2.3)$$

және

$$\tau_{\phi\phi}^{np} = \frac{(1-\rho) e^{\frac{\beta\delta}{\cos\tau_{np}}}}{1 - \rho_{np}^2 e^{\frac{\beta\delta}{\cos\tau_{np}}}} \quad (2.2.4)$$

мұндағы,  $\beta$  - коллектор корпусының жарықмөлдір бетінен өтетін күн сәулесінің әлсіреуі;  $\delta$  - жарықмөлдір бет қабыргасының қалындығы.

Жарықмөлдір беттің тік сәулеленуінің шағылысусы коэффициентінің мәні (2.2.16) мен (2.2.17) Френель қатынасынан анықталады [5]

$$\rho_{\phi\phi}^{np} = 0,5 \left[ \frac{\sin^2(r_{np} - i_{np})}{\sin^2(r_{np} - i_{np})} + \frac{\operatorname{tg}^2(r_{np} - i_{np})}{\operatorname{tg}^2(r_{np} - i_{np})} \right] \quad (2.2.5)$$

$$r_{np} = \arcsin \left( \frac{\sin i_{np}}{n} \right) \quad (2.2.6)$$

жарықмөлдір бет материалының тік күн сәулесінің сыну бұрышы;  $n$  – күн сәулесі спектрінің толқын ұзындығы диапазонында көрінетін жарықмөлдір бет материалының сыну көрсеткіші ( $0,38/0,78$  мкм).

Коллектордың алдыңғы сәулеқабылдау бетіне диффузиялық күн сәулесі, яғни оның корпусының жарықмөлдір беті аспаннан түсіп, коллектордың сәулеқабылдау бетінен көрінеді және соған байланысты, диффузиялық күн сәулесі үшін түсү бұрыштары маңызды емес. Сондықтан, жазық гелиокүрылғылардың жарықмөлдір бетті өткізу көфициентін анықтау үшін диффузиялық сәулеленудің эквиваленттік түсү бұрышы түсінігі енгізілді  $i_{\text{diff}}^{\text{экв}}$  [5,17-19]. Формулада [5,17] жазық гелиокүрылғылардың бетіне диффузиялық сәулеленудің эквиваленттік түсү бұрышының мәнін  $60^\circ$  деңгейінде алуға кеңес беріледі.

Жазық күн құрылғыларына жарықмөлдір бет арқылы күн сәулесінің енү коэффициентін анықтау бойынша [18] есептік зерттеулер негізінде яғни келесі формулада

$$\tau_{\text{diff}} = \frac{\tau_{i_{np=20^\circ}} + \tau_{i_{np=45^\circ}} + \tau_{i_{np=70^\circ}}}{3} \quad (2.2.7)$$

Жұмыста анағұрлым нақты мән ұсынылады  $i_{\text{diff}}^{\text{экв}}$ , ол еңбектерде келтірілген [5,17,18] мән өте жақын және тек 3% бір-бірінен ерекшеленді, сондықтан, келесі есептеулерге қолдануға негіз болып табылады.

Дегенмен, аталған көздердің орталары [18], ұсынылған мән  $i_{\text{diff}}^{\text{экв}} = 58,2^\circ$  анағұрлым нақты деректерге негізделеді және соған орай, біздің жұмысымызда жазық күндік коллекторлардың жарықмөлдір копрус беттерінің диффузиялық күн сәулесін өткізу көфициентін анықтау үшін қолданылған мән  $i_{\text{diff}}^{\text{экв}}$ ,  $58,2^\circ$  тең.

Мұнда  $i_{\text{diff}}^{\text{экв}} = 58,2^\circ$  жағдайда  $\left( \beta = 30 \frac{1}{M} \right)$  сапасы орташа және қалындығы ( $\delta = 0,004$ ) терезе әйнегінен түсетін жазық күндік коллекторлардың жарықмөлдір копрус беттерінің диффузиялық күн сәулесін өткізу бұрышының эквиваленттік мәні формула бойынша анықталады

$$r_{\text{diff}}^{\text{экв}} = \arcsin \left( \frac{\sin i_{\text{diff}}^{\text{экв}}}{n} \right) \quad (2.2.8)$$

мұнда  $n = 1,526$  [5,13],  $33,84^\circ$  құрайды.

$\rho_{\text{диф}}$  мәні келесі мәндерде  $i_{\text{диф}}^{\text{экв}}=58,2^\circ$ ,  $r_{\text{диф}}^{\text{экв}}=33,84^\circ$ , мына формуладан анықталады

$$\rho_{\text{зфф}}^{np} = 0,5 \left[ \frac{\sin^2(r_{\text{диф}}^{\text{экв}} - i_{\text{диф}}^{\text{экв}})}{\sin^2(r_{\text{диф}}^{\text{экв}} + i_{\text{диф}}^{\text{экв}})} + \frac{\tg^2(r_{\text{диф}}^{\text{экв}} - i_{\text{диф}}^{\text{экв}})}{\tg^2(r_{\text{диф}}^{\text{экв}} + i_{\text{диф}}^{\text{экв}})} \right] \quad (2.2.9)$$

Диффузиялық күн сәулесі үшін 0,0853 күрайды.

$\rho_{\text{диф}} = 0,0853$  және  $\cos r_{\text{диф}} = 0,8306$  мәндерін формулаға қоя отырып

$$\tau_{\text{зфф}} = \frac{(1-\rho)e^{\frac{\beta\delta}{\cos r_{\text{диф}}}}}{1 - \rho_{np}^2 e^{\frac{\cos r_{\text{диф}}}{2\beta\delta}}} \quad (2.2.10)$$

алынатын  $\tau_{\text{зфф}}^{\text{диф}} = 0,7097$ , алдында аллынған нәтижелермен келісіледі [13].

Коллектордың жарықмөлдір беті арқылы өткен ол мынаған тең

$$q_{nog_a} = a_p q_{npro_{a_p}} = a_p \tau_{\text{зфф}} q_{n\alpha_{a}}^{\sum} \quad (2.2.11)$$

Және жылуалмасу панелінің бетімен жұтылып, жылуға айналады. Формулада (2.2.16)  $a_p$ - коллектордың сәулежүту панелінің жұту қабілеттігі.

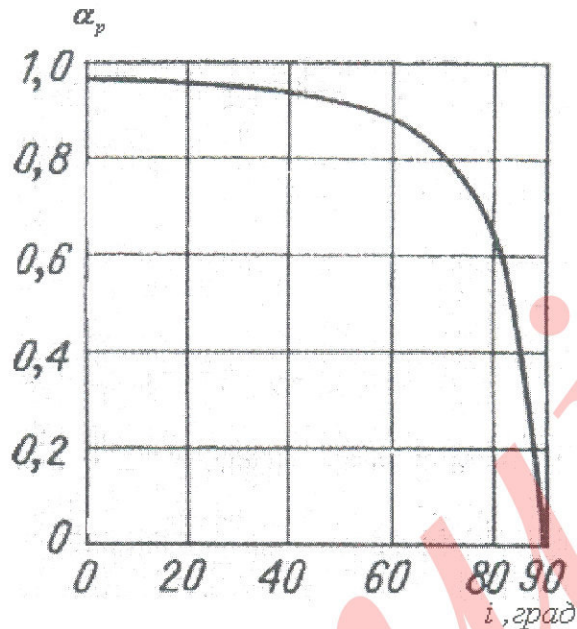
Түркістан қаласы жағдайында жазықтыққа  $30^\circ$  бұрышпен орналасқан және онтүстікке бейімделген, жазық күн коллекторының қалындығы  $\delta = 0,0004\text{м}$  терезеден (әйнегінің сапасы орташа  $\beta = 35 \frac{1}{M}, n=1,526$ ) [19] жарықмөлдір беттің тік күн сәулесінің енү коэффициентінің тиімділігінің орташа сағаттық мәндерінің күнделікті жүрісі  $\tau_{\text{зфф}}^{np}$ , сонымен бірге,  $\cos i_{a=30}$  мәнді есептеу үшін  $q_{n\alpha_{a=20}}^{np}$  2.2.7 кестеде келтіріледі.

Түркістан қаласы жағдайында жазықтыққа  $30^\circ$  бұрышпен орналасқан және онтүстікке бейімделген, жазық күн коллекторының жарықмөлдір беті арқылы өткен сомалық(тік, диффузиялық және шағылысқан) күн сәулесінің ағынының беткі тығыздығының орташа сағаттық мәндерінің күнделікті жүрісі ( $\tau_{\text{ио}}$ ) 0,94 2.2.8 кестеде келтіріледі.

### 2.3. Сомалық күн сәулесінің жазық коллекторының жылуалмасу панелінің жұтқан бетін есептеу

Коллекторлардың(2.24) жылуалмасу панелдерінің (ap) сәулежүту беттерінің жұту қабілеттерінің мәні қарастырылатын бетке күн сәулесінің түсү бұрышына тәуелді, бірақ ол кейбір әдебиеттерде [13] тұрақты саналады.

2.3.1 суретте [5] формуласынан алынған  $\alpha_p$  мәнінің  $i$ -ге тәуелділігі көлтіріледі.



2.3.1 сурет. Күн сәулесінің тұсу бұрышынан ( $i$ ) жазық коллектордың(ар) жылуалмасу панел бетінің жылжұтқыш бетінің жұту қабілеттілігінен тәуелділігі.

2.3.1 суреттегі кестеден көрінетіндей,  $a_p = f(i)$  тәуелділігі жалпы түрде сызықтық емес. Соған орай, есептеудегі немесе күндік судылытқыш коллектордың жылу есептілігі үшін бағдарламаларды дайындау үшін 2.3.1 суреттен біз келесі аппроксимациялық тәуелділіктерді анықтадық:

$$\begin{aligned}
 \alpha_p &= 0,97 - 5 * 10^{-4} i && \text{мұнда } 0 \leq i \leq 40^\circ \\
 \alpha_p &= 0,95 - 8,3 * 10^{-4} i && \text{мұнда } 40 \leq i \leq 60^\circ \\
 \alpha_p &= 0,90 - 1,43 * 10^{-3} i && \text{мұнда } 60 \leq i \leq 70^\circ \\
 \alpha_p &= 0,80 - 1,88 * 10^{-3} i && \text{мұнда } 70 \leq i \leq 80^\circ \\
 \alpha_p &= 0,65 - 2,94 * 10^{-3} i && \text{мұнда } 80 \leq i \leq 85^\circ \\
 \alpha_p &= 0,40 - 4,44 * 10^{-3} i && \text{мұнда } 85 \leq i \leq 90^\circ
 \end{aligned} \tag{2.3.1}$$

Түркістан қаласы жағдайында жазықтыққа  $30^\circ$  бұрышпен орналасқан және оңтүстікке бейімделген, жазық күн коллекторының сәулежұтқыш жылуалмасу панелінің бетіне( $i_p$ ) және жарықмөлдір бетінің жұту қабілеттілігіне( $a_p$ ) тік күн сәулесінің тұсу бұрышының орташа сағаттық мәнінің күндізгі барысы жазық күн

коллекторының жылуалмасу панелінің жұту бетіне, сомалық күн сәулесінің есептеуі үшін қажеттілігі 2.3.9 кестеде көлтірілді.

Түркістан қаласы жағдайында жазықтыққа  $30^\circ$  бұрышпен орналасқан және оңтүстікке бейімделген, жазық күн коллекторының жарықмөлдір беті арқылы өткен сомалық (тік, диффузиялық және шағылышқан) күн сәулесінің ағынының беткі тығыздығының 2.2.8 және 2.3.9 кестедегі орташа сағаттық мәндерінің күнделікті жүрісі 2.3.10 кестеде көлтіріледі.

Күн сәулесінің келуі бойынша бастапқы деректерді талдаудан көрінетіндегі, жазық бетке сомалық күн сәулесінің негізгі құрауышы тік күн сәулесі болып табылады. Осылайша, 2.1.2 және 2.1.3 кестеде жылдық сомалардың  $q_{nab_{a=0}}^{np}$  және

$$\frac{3905,34}{q_{nab_{a=0}}^{\text{diff}}} \frac{3905,84}{2077,93} = 1,88 \quad \text{курайды, жылдың қантар айында 1,0 мен шілде айында 3,02 мәніне дейін ауытқиды. [19]}$$

Жылдық сомаларға қатысты  $q_{nab_{a=30}}^{\Sigma}$  (2.2.6 кесте) мен  $q_{nab_{a=0}}^{\Sigma}$  (2.2.5 кесте) бойынша, коллектордың жазықтыққа  $30^\circ$  бұрышпен иілуінің арқасында күн сәулесінің жылдық сомасы келуінің бейімделуі  $6000,87 \text{ МДж}/\text{м}^2$  мәнінен  $6603,95 \text{ МДж}/\text{м}^2$ , мәніне дейін, яғни 10% артады.

2.2.6 кестені талдау бойынша жылдық сома  $q_{nab_{a=30}}^{\Sigma}$  ( $6603,95 \text{ МДж}/\text{м}^2$ ) 77,35% (яғни  $5108,26 \text{ МДж}/\text{м}^2$ ) жылдың жылы мезгілдеріне тиісті (сәуір-қазан айлары).

2.2.6 және 2.2.8 кестелеріндегі деректерді талдау бойынша жазықтыққа  $30^\circ$  бұрышпен оңтүстікке қарай бейімделген сапасы орташа терезе эйнектерінен ( $\rho = 35 \frac{1}{m}$ ,  $\delta = 0,004 \text{ м}$ ) жазық күн коллекторларының жарықмөлдір бірқабаттық бетіне өткізгіштік коэффициентінің жылдық орташа мәні құрайды:

$$\frac{4636,0407}{6603,9544} = 0,702 \cdot \frac{4636,0407}{6603,9544} = 0,702$$

Коллектордың сәулеқабылдағыш бетіне [22] түсетін жылдық соманың жылуалмасу панелінің бетпен жұтылған жылдық сомасы қатынасының жылдық

$$\text{орташа мәні: } \frac{4298,5423}{6603,9544} \frac{4298,5423}{6603,9544} = 0,65\%$$

Сонымен, коллектордың жылуалмасу панелінің сомалық күндік сәулеленуі коэффициентінің жылдық орташа мәні ( $a_p$ ) құрайды:

$$\frac{0,651}{0,702} = 0,927 \cdot \frac{0,651}{0,702}$$

### 3 ҮІСТЫҚ СУМЕН ҚАМАТАМСЫЗ ЕТУ ЖҮЙЕЛЕРІНДЕГІ ЖАЗЫҚ КҮН КОЛЛЕКТОРЛАРЫНЫҢ ЖЫЛУӨНДІРІСІ ЖӘНЕ ЖЫЛУЛЫҚ ТИІМДІЛІГІ

#### 3.1. Жарық күн барысындағы жазық күн коллекторларының жұмыс тәртібі

Күн сөулесінің күндіз ретсіз келуі мен қоршаған орта температурасының өзгеруі салдарынан күндік жарық уақыты бойы күн коллекторларының жылулық тәртібі жалпы түрде стационарлық емес болып табылады. Жазық күн коллекторларының стационарлық емес жылу тәртіптерінің жылуөнімділігін анықтау мақсатында сараптамалық шешіліуі өзірге дайын емес. Осы жағдайлардың бір себебі таңғы және кешкі сағаттардағы жылу үдерістерінің ықтимал курделілігі болып табылады.

Жазық күндік сұжылыштық коллекторлардың жылуөнімділігінің күндізгі барысын анықтау міндеттін шешу үшін біз Р.Р. Авезовпен ұсынылған, қазіргі графосараптамалық әдістің дамуына[4], осы әдіске толықтауыш ретінде ұсынатын квазистационарлық әдістің мәні келесіде.

Күн коллекторларының күндізгі жұмыс кезеңі үшке бөлінеді: таңғы жылу, күндізгі жұмыс және кешкі салқындау. Коллектордың күндізгі жұмыс барысындағы жылуөнімділігі ыстық сумен қамтамасыз ету жүйесіне тұтынушылық сұранысқа сәйкес, одан шығатын жылутасымалдағыштың тұрақты температурасымен анықталады.

Коллекторлардың таңғы жылуының ұзақтығы Р.Р. Авезовпен ұсынылған есеппен анықталады [4].

$$\Delta Z_{np} = \frac{K_{np_{p-o}}(t_p - t_o^{\beta o}) + \sqrt{[K_{np_{p-o}}(t_p - t_o^{\beta o})]^2 + 18m_I C_{np}(t_p - t_o^{\beta o})}}{3m_I} \quad (3.1.1)$$

мұнда -  $K_{np_{p-o}}$   $K_{np_{p-o}}$  сәулеқабылдау бетінің аудан бірлігіне және температуралардың түрлілігіне келтірілген  $(t_p - t_o^{\beta o})$   $(t_p - t_o^{\beta o})$  жылу шығындарының сомалқ коэффициенті;  $t_p$   $t_p$ - коллектордың жылуалмасу панелінің жұмыс температурасы;  $t_o^{\beta o}$  -  $t_o^{\beta o}$  - Күннің шығуы барысындағы қоршаған орта температурасы;

$$\rho_\tau = \frac{q_{noen}(z)}{\Lambda z} \quad (3.1.2)$$

Таңғы жылу кезеңіндегі сомалық күн сәулесінің жылуалмасу бетінің жұту қарқынының температурасы (сурет 3.1.1);  $C_{\text{пр}}$ - сәулеқабылдау бетінің аудан бірлігіне және температуралардың [15] түрлілігіне келтірілген  $(t_p - t_o^{\beta o})$   $(t_p - t_o^{\beta o})$  коллектордың жылусыйымдылығы.

Бірінші кезеңің басы мен аяғының мезеттері коллектордың жылуалмасу панелінің сәулежүту бетіне тік күн сәулелерімен жарық түсу мезетінің басталуымен және коллектордың таңғы жылыну үдерісінің  $(Z_1^{\beta})$   $(Z_2^{\beta})$  аяқталуымен, яғни оның белсенді жұмысының басталуымен сәйкес.

Егер коллектор күні бойы тұрақты температура тәртібінде қолданылса(т.е.  $t_B = \text{const}$   $t_B = \text{const}$ ), онда коллектордың таңғы жылынуына қуат шығыны және коллектордың жылуалмасу панелінің бетімен жұтылған күн сәулесі  $(q_{\text{погл}})$   $(q_{\text{погл}})$  [14] тиімді қуат өндіруге және қоршаған ортаға жылу шығындарының орнын басуға жұмсалад, яғни

$$q_{\text{ног}}(z) = q_{\text{ног}}(z)q_{mn}(z) \quad (3.1.3)$$

Коллектордың күндізгі жұмысының белсенді кезеңінің аяқталу мезеті() оның кешкі салқындау кезеңінің басталу мезетімен( $Z_H^{\text{окл}}$   $Z_H^{\text{окл}}$ ) сәйкес келеді. Қисықтардың қызылысу нүктелері мен 3.1.2 сурет бойынша коллектордың күндізгі жұмысының белсенді кезеңінің аяқталуымен сәйкестенеді.

### 3.2. Жазық күндік сұжылышты коллекторының жылуөнімділігін анықтау әдістері

Үстық бойынша қарастырылатын коллектордың жылуөнімділіктің күндізгі барысын анықтау үшін оның белсенді жұмысының күндізгі кезеңі шартты түрде  $\Delta Z_i$   $\Delta Z_i$  уақыт аралықтарының  $N$  тендей элементтеріне жіктеледі, оның барысында коллектордың сәулеөткізгіш беті мен қоршаған орта температурасына ( $t_{oi}$   $t_{oi}$ ) сомалық ағын тығыздығы бетінің мәні тұрақты саналады.

Әр бір уақыт аралығы үшін есеп бойынша [4,14]

$$q_{\text{ног}_i} = \eta_{\text{ног}_i} |q_{\text{ног}_i} - k_{np_{p=0}}(t_e - t_{0_i})| \quad (3.1.4)$$

Уақыт аралығындағы коллектордың жылуөнімділігінің орташа мәні  $\Delta Z_i$   $\Delta Z_i$  - анықталады.

Есептеуде (3.2.3) – коллектордың жылу тиімділігінің коэффициенті оның жылутехникалық жетістігін көрсетеді [4];

$$q_{n_{\text{нод}}_i} = (a_p t_{\text{эфф}} q^{\varepsilon}_{n_{\text{нод}}_i})_i \quad (3.1.5)$$

- Коллектордың беткі жылуалмасу панелімен жұтылған, сомалық күн сәулесінің беткі ағын тығыздығы

$$t_B - 0,5 (t_{x\beta} - t_{z\beta}) \quad (3.1.6)$$

- Күн коллекторының су жылтыратын орташа температуrasesы;  $t_{x\beta}$   $t_{x\beta}$  және  $t_{z\beta}$   $t_{z\beta}$  - сәйкесінше, коллекторға шығу жағындағы сұық судың және одан алынатын ыстық судың температуrasesы.

Жарық күнге коллектордың сомалық жылутиімділігі оны қолдану тәртібінің мәндерін қосумен анықталады, яғни  $t_{x\beta}$  және  $t_{z\beta}$

$$q_{\text{нод}}^{\partial H} = \sum_{i=1}^N q_{n_{\text{нод}}_i} \quad (3.1.7)$$

Есептеу шарасы жылдың әр айы үшін қайталаңады. Коллектордың сомалық айлық жылуөнімділігі, яғни

$$q_{\text{нод}}^{\text{нод}} = \sum_{\text{нод}} q_{n_{\text{нод}}}^{\text{нод}} \quad (3.1.8)$$

$q_{\text{пол.}}$   $q_{\text{пол.}}$  анықтау бойынша есептеулер және оны негізінде нақты мәндер үшін ыстық сумен қамтамасыз ету жүйесіндегі ыстық су температуrasesына тұтынушылық сұраныспен анықталады. [21,22]

### 3.3. Жазық күндік сужылышты коллекторларының негізгі жылутехникалық сипаттамалары

Формулалар бойынша жылуөнімділік арқылы күндік сужылышты коллекторлардың таңғы жылының уақытын анықтау үшін оның сәулеқабылдау бетінің бірлігіне және температуралардың түрлілігінекелтірлген( $t_p - t_o$   $t_p - t_o$ ) — сомалық жылу шығындарының( $q_{n_{\text{нод}}=0}$ ) және жылусыйымдылық коэффициенті ( $c_{\text{пр}}$ ), коллектордың жылуалмасу панелінің жылу тиімділігінің коэффициенті талап етіледі.

Мән келесі параметрлерге тәуелді: сәулеқабылдау бетіне желдің жылдамдығы мен бағыты, жылуалмасу панелінің сәуле жүту беті мен корпустың ішкі жарықмөлдір беті арасындағы жабық ауа қабатының қалындығы және оның ішіндегі ауаның орташа температуrasesы, жылуалмасу панелінің беткі

температурасы, материалдың жылуоқшалуы коэффициенті мен корпустың бүйір жылуоқшалуы және т.б.

Мән коллектордың жылуалмасу панеліндегі су көлеміне және корпустың жылуалмасуны жылуоқшалуа материалының салмағы мен жылусыйымдылығына тәуелді.

Жазық жылу есептіліктері бойынша әдебиеттерде [4 — 9/13/15] осы сипаттамалардың өзгерістері келтірілген. Мысалы, күндік сужылытушы коллекторлардың жылуалмасу панелінің бетінде селективтік жұту қабаты бар үздік үлгілері үшін мәндер  $3,5 \div 4,0$  ( $Bt/m^2 \text{ } ^\circ\text{C}$ ) құраса, ал  $\text{c}_{\text{пр}} - 15 \div 20$  ( $K\text{Дж}/m^2 \text{ } ^\circ\text{C}$ ). Мыс пластиналар мен құбырлардан жасалған сәулежүту жылуалмасу панелінің  $\rho_{Tn}$  мәні үшін олар арқылы су шығыны 40-50( $K\text{Дж}/m$  сағ) құрайды  $0,94 \div 0,96$ . Бұл коллекторлардың жалпы үлесі  $15-25$  ( $kg/m^2$ ) [6].

Көптеген жағдайларда жазық күн коллекторларының көрсетілген өлшемдерінің жарнамалық сипаттары бар және қажетті түрде негізделмеген.

Сапасы орташа, сәулежүту панелдері алюминийден немесе болаттан жасалған, беті қарапайым(селекциялық емес) жазық күн коллекторлары үшін сәулежүту бетінде  $7,0 \div 7,5$ ( $Bt/m \text{ } ^\circ\text{C}$ ) және  $20+30$ ( $K\text{Дж}/m \text{ } ^\circ\text{C}$ ), ал мән: 0,86-дан 0,92-дейін [6,23].

Сапасы орташа күн коллекторларының жалпы салмағы  $30-45$   $kg/m^2$ .

Қарастырылған әдебиеттерді талдау негізінде біз жылуөнімділігі мен сужылыту коллекторларының жылу тиімділігін есептеу үшін Қазақстан Республикасының жағдайларында келесі өлшем бірліктерді қолдандық:  $K_{np_{p=0}} = 7,03$ ( $Bt/m^2 \text{ } ^\circ\text{C}$ ),  $C_{np} = 20$ ( $K\text{Дж}/m^2 \text{ } ^\circ\text{C}$ ) и  $\eta_{mn} = 90$ , олар қазіргі таңда қолданыстағы күндік судылыту коллекторларының жылу техникалық сипаттамаларынан ерекшеленеді.

### 3.4. Үстік су алынатын температураудардан жазық күн коллекторларының жылуөнімділігін есептеу нәтижелері

Есептеу бойынша (3.4.1), бірдей жағдайлардағы жазық күндік сужылыту коллекторларының ортасағаттық жылу өнімділігі коллектордағы жылутасымдағыштың ортасалмақтық температурасына( $t_{1B}$ )  $t_{1B}$ ) және қоршаған ортанның температурасына( $t_0$ )  $t_0$ ) тәуелді. Өз кезегінде,  $t_B$   $t_B$  мәні есептен кінетіндей (3.4.6), коллекторға кіретін сұық су() мен одан шығатын үстік судың температураударына тәуелді ( $t_{2B}$ )  $t_{2B}$ ).

Есептеу ережелері мен үстік сүмен қамтамасыз ету жүйелерін жобалауга сәйкес [50,51] мән ( $t_{xB}$ ) сұық кезде  $+5^\circ\text{C}$  (қараша-наурыз айлары) және  $+15^\circ\text{C}$  жылы мезгілде (сөуір-қазан айлары).

Мән жоғарыда аталғандай, тұтынушының сұранысымен таңдалады.

Жазық күндік сұжылыту коллекторларының жылутиімділігін анықтау бойынша есептеулер олардан алғынатын ыстық су температурашына байланысты біз ыстық сумен қамтамасыз ету бойынша нормативтік құжаттар негізінде үш мәнді  $37^{\circ}\text{C}$ ,  $45^{\circ}\text{C}$  және  $55^{\circ}\text{C}$  қаастырдық.

Осылайша, (3,6) мәндөр аталған мәндөрге сәйкес ( $t_{2B}$ ) есептеуде келесіге тең  $0,5(37+5)=21^{\circ}\text{C}$ ,  $0,5(45+5)=25^{\circ}\text{C}$  және  $0,5(55+5)=30^{\circ}\text{C}$  сүйкета,  $0,5(37+15)=27^{\circ}\text{C}$ ,  $0,5(45+15)=30^{\circ}\text{C}$  және  $0,5(55+15)=35^{\circ}\text{C}$  жылдың жылы мезгілінде.

Ортасағаттық  $t_o$   $t_o$  мәндөрінің күндізгі барысы ұзақмерзімдік өзгерістерді өндөу негізінде орташаландырылып [12,46], 3.4.1 кестеде келтіріледі.

3.4.1 кестедегі деректер бойынша, күндізгі жарық кезінде  $t_o$   $t_o$  мәні  $2,8 \div 0^{\circ}\text{C}$  – ден  $2 \div 5^{\circ}\text{C}$  –ге дейін сүйк уақытта және  $15 \div 20^{\circ}\text{C}$ -ден  $30 \div 34^{\circ}\text{C}$  –ге дейін жылдың жылы уақытында өзгереді. Соңдықтан, сүйк кезге қарағанда, жылы кезде қаастырылған коллектордың жылуөнімділігінің жоғарылығы түсіндірледі. Осылайша, қоршаган ортаның жоғарғы температурасының арқасында коллектордың жылу шығындары жылдың жылы мезгілінде сүйкпен салыстырғанда  $=7,03 \text{ (Bm/m}^2\text{)}^{\circ}\text{C}$  болғанда,  $7,03(34-4)=210,9 \text{ (Bm/m}^2\text{)}^{\circ}\text{C}$ , дейін төмендейді.

Бастапқы мәндөрдің коллектордың ортасағаттық жылуөнімділігінің күндізгі барысын анықтау бойынша одан әрі есептелуі [50] 3.4.2 кестеде келтіріледі. Осы деректер бойынша, коллектордың жылуалмасу жұтылған бетінің сомалық күн сәулесінің ( $t_{T_B}$   $t_{T_B}$ ) қарқынының өсуі қыс мезгілінде  $64,5 \div 76,1 \text{ (Bm/m}^2\text{ сағ)}$  мәнінен жылы мезгілде  $153 \div 172 \text{ (Bm/m}^2\text{ сағ)}$  мәнге дейін өзгерді, осылайша, коллектордың таңғы жылынұяна қажетті уақыт аралығы қысқарады. Нәтижесінде коллектордың белсенді жұмысының орташа ұзақтығы ( $\Delta Z_{\sigma H}^{ap}$ ) ( $\Delta Z_{\sigma H}^{ap}$ ) жылдың жылы мезгілінде сүйк мезгілмен салыстырғанда, 3 есе артты. [52]

Жылуөнімлігінің жыл айлары бойынша ортасағаттық мәнінің күндізгі барысын есептеу нәтижелері 3.4.3 кестедегі деректер негізінде максиалдық мән жылдың жылы мезгілінде  $=37^{\circ}\text{C}$  [53] болғанда (яғни  $t_{XB}$   $t_{XB}=15^{\circ}\text{C}$ ) кіріс  $726 \text{ Bm/m}^2$  (шілде айында, 12-13 сағатта) дейін болады. Егер  $t_0$  мәні бұл мезгілде  $33^{\circ}\text{C}$  құраса (кесте 3.1.2), ал  $t_B$   $t_B=0,5(37+15)=26^{\circ}\text{C}$  мәні қаастырылған коллекторда күннің өзгерісіне қарағанда, қоршаган ортадан қосымша жылу ағынын алады, ол  $7,03(33-26)=49 \text{ Bm/m}^2$ .

Су  $55^{\circ}\text{C}$  дейін жылыған кезде, 3.4.5 кестедегі деректер бойынша  $\eta_{P01}$  қаастырылған уақыт аралығында (яғни 12-13 сағ) шілде айында  $=37^{\circ}\text{C}$  – пен салыстырғанда  $726-655 = 71 \text{ Bm/m}^2$  (яғни 10,8%) кемиді. Жылдық мәндөрді сәйкестендіруден кестелерде 3.3.2- 3.5.2, анықталатындығы, Түркістан қаласы жағдайында күндік сұжылыту коллекторларының жылдық жылуөнімділігі ыстық судан алғынатын температураны  $37^{\circ}\text{C}$  -дан  $55^{\circ}\text{C}$ -ға дейін арттыру барысында келесінің төмендетеді:  $\Phi_{\text{пол}}^{\text{год}} \Phi_{\text{пол}}^{\text{год}}$   $3498 \text{ МДж/m}^2$  мәннен  $2734 \text{ МДж/m}^2$  (яғни 27,9%)

дейін. Бұл өз кезегінде көрсететіндей, ыстық су температурасын дұрыс таңдау нәтижесінде тұтынушыда ыстық сумен қамтамасыз етудің жүйелерінде жазық күн сужылыту коллекторларының қолданылуының экономикалық тиімділігін арттаруға болады.

3.4.3-3.4.5 кестелердегі деректерді талдаудан көрінетіндей, коллектормен таңдалған тиімді қуаттың негізгі үлесі жылдың жылы мезгіліне тиесілі. [50] Осылайша,  $=37^{\circ}\text{C}$  болғанда  $3498,4 \text{ МДж}/\text{м}^2$  қуаттан жыл бойына тек 20,6% (яғни  $719,2 \text{ МДж}/\text{м}^2$ ) жылдың суық мезгіліне тиесілі.  $45^{\circ}\text{C}$  және  $55^{\circ}\text{C}$  кезінде жылдың жылы мезгілінде сәйкесінше, жылу қуатының 80,6% мен 83,1% тиесілі.

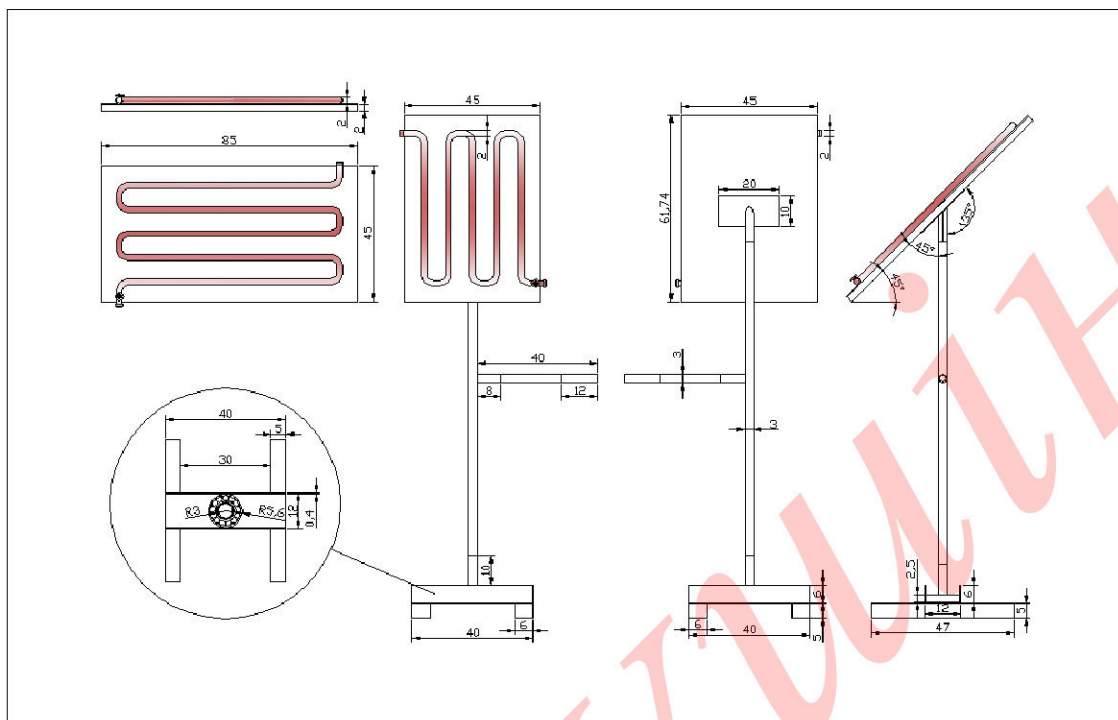
Бұл нәтижелер мамандардың қыс мезгілінде жазық күн коллекторларының экономикалық тиімсіздігіне байланысты қолданылмауын дәлелдейді.

### **3.5 Тәжірибелік бөлім. ЖКСК су трубаларының геометриялық топологиясына оптимизациялау**

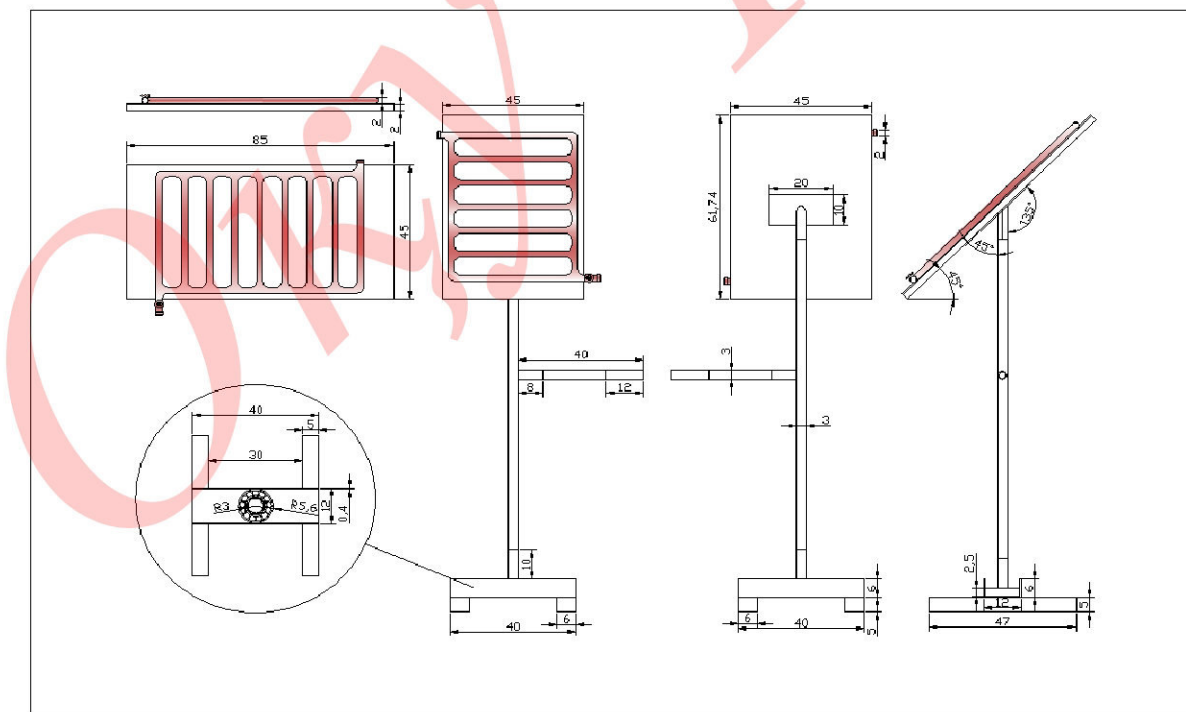
Жазық күн коллекторларының ( $\eta$ ) жылу тиімділігі мен тиімді әрекет коэффициенті(ТЭК) қатынастан(1.1.1). 3.5.7 кестеде келтірілген есептеулер деректерін және 3.5.3-3.5.5 кестедегі 1 мәндерді есептеу нәтижелерін қолдана отырып, күндізгі барысты ағымдағы жылдың ай күндері бойынша , [19] сонымен қатар, орташа айлық және орташа жылдық мәндер бойынша анықтауға болады. Есептеу нәтижелері (1.1.1) есебі мен 2.2.7, 3.4.3÷3.5.5 кестелері қатынасында орындалған және 3.5.6÷3.5.8. кестелерде келтірілді.

3.5.6÷3.5.8. кестелердегі деректер бойынша 1 мәнінің төмендеуіне әкеледі. Мысалы, егер шілде айында су  $37^{\circ}\text{C}$  дейін жылыша коллекторлардың жылу тиімділігі 0,6577 құраса, онда  $45^{\circ}\text{C}$  мен  $55^{\circ}\text{C}$  дейін жылыша, сәйкесінше, 0,6184 және 0,5717, яғни 6,4% мен 11,5% төмендейді. мұндағы күн коллекторының жылу тиімділігінің жылдықорташа мәндері 0,5297 мұнда  $=37^{\circ}\text{C}$ , 0,4668 мұнда  $=45^{\circ}\text{C}$  және 0,4144 мұнда  $=35^{\circ}\text{C}$ . көріп [53] тұрганымыздай, коллекторда жылутасымдағышты жылышу температурасының  $55^{\circ}\text{C}$  -ден  $37^{\circ}\text{C}$ -ге дейін төмендеуі оның жылұлық тиімділігін 27,8% -ға арттырып, ыстық сумен қамтамасыз ету жүйелерінде жазық күн коллекторларының қолданылуының экономикалық тиімді тәртібін негіздеуде аса маңызды.

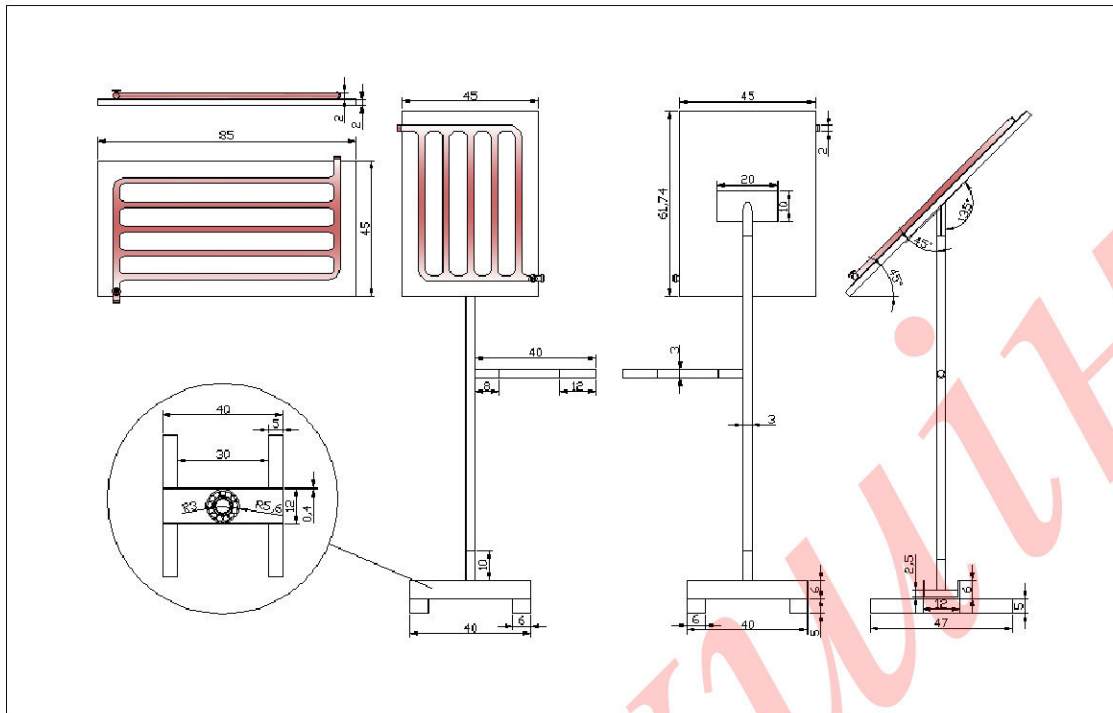
Эксперимент үшін төрт түрлө ЖКСК жасалды сурет 3.5.1  
ЖКСК А



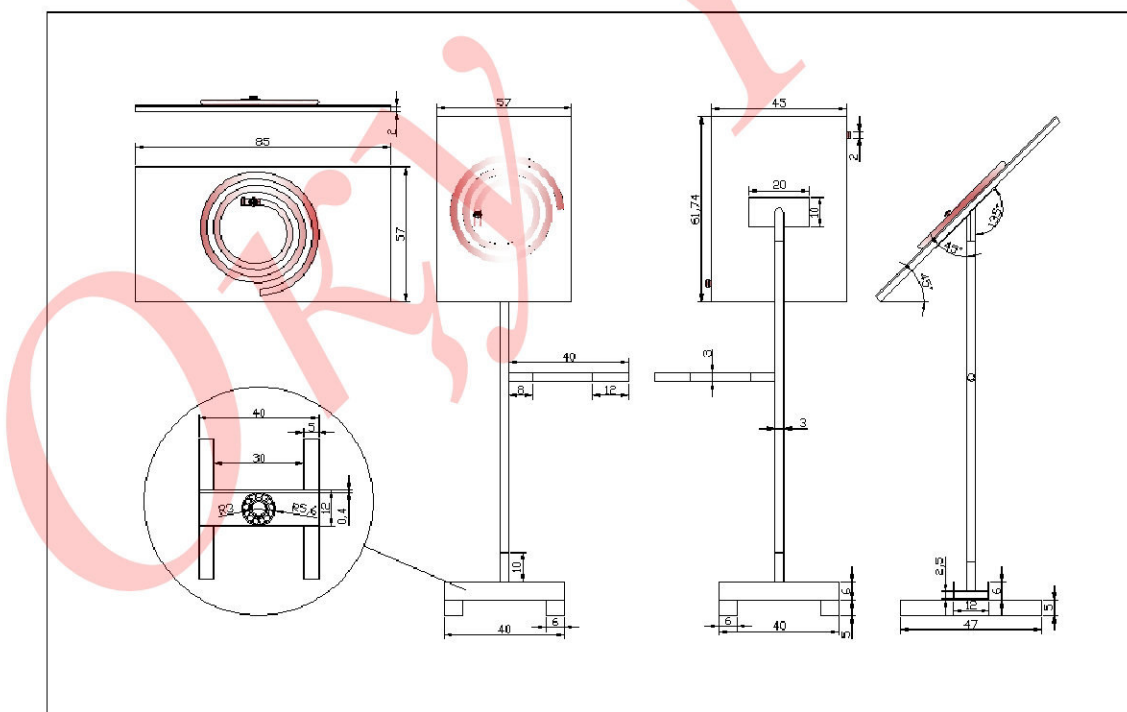
ЖКСК Б



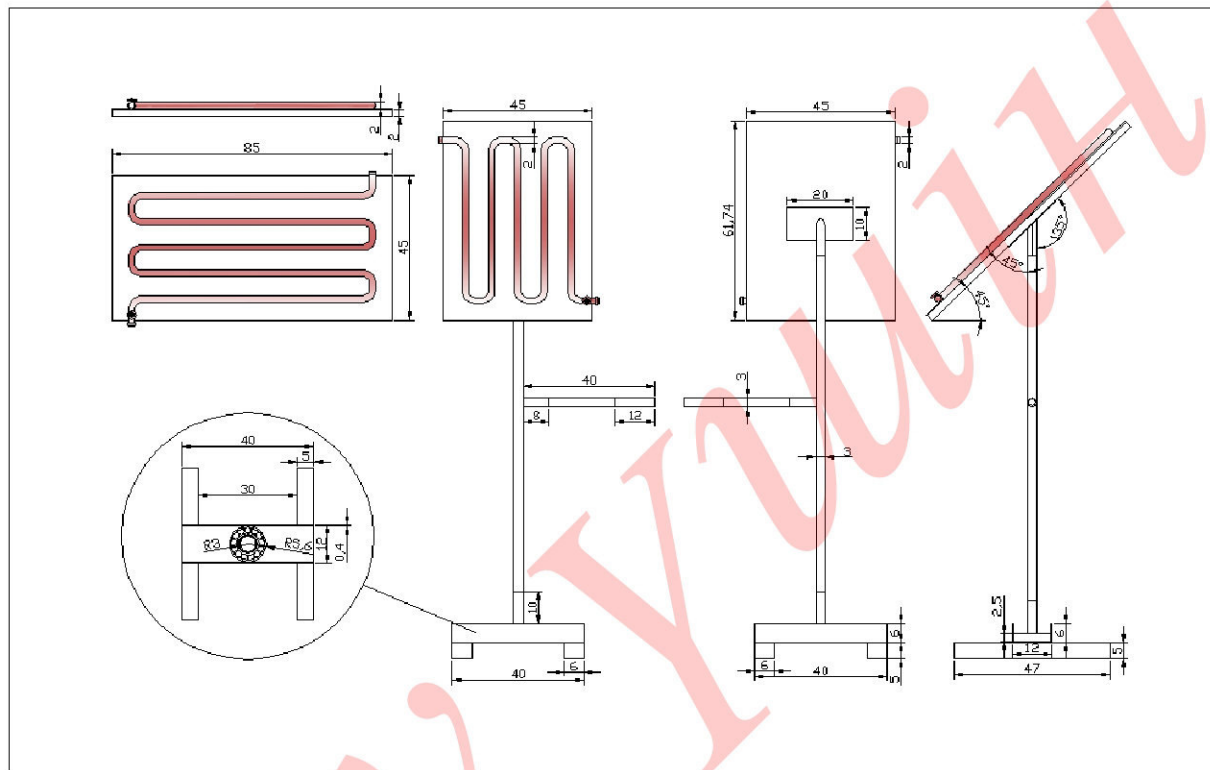
ЖКСК В



ЖКСК Г



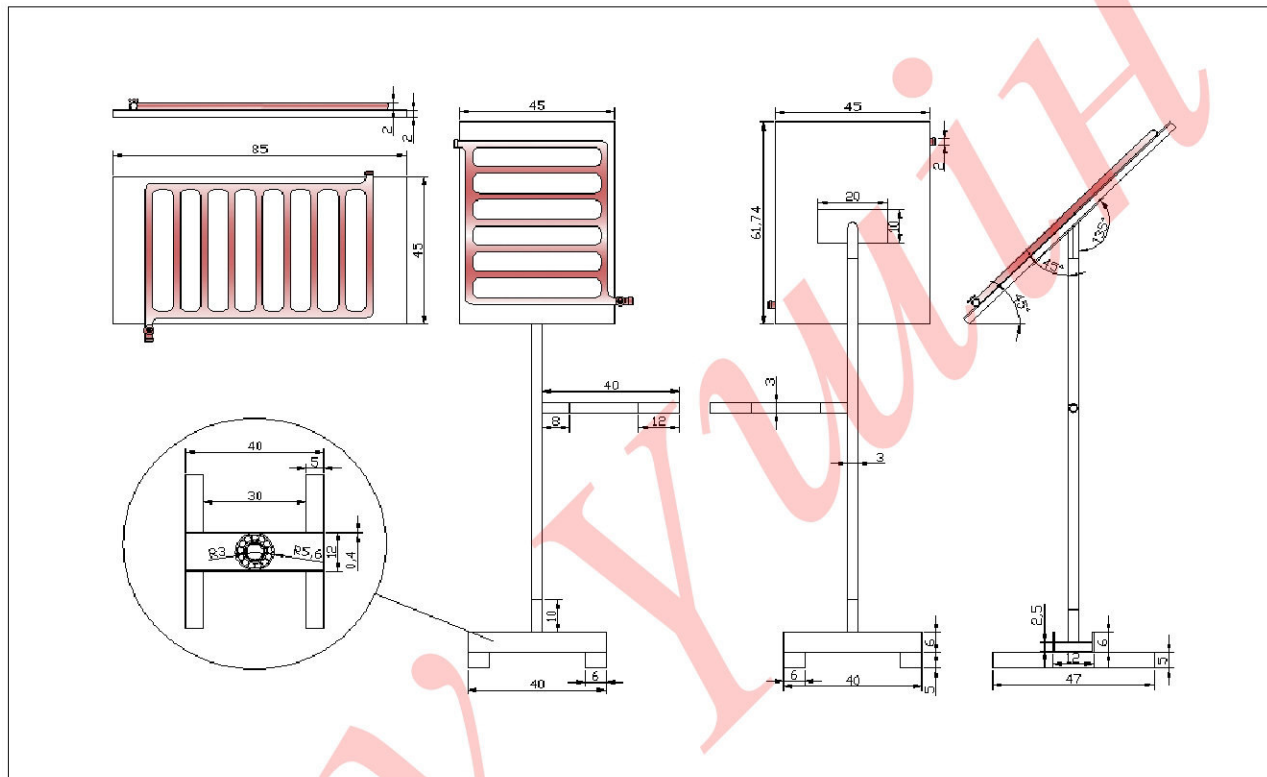
Төменде осы ЖКСК конструкциялық кұрама көрсетілген

Сурет 3.5.2 ЖКСК<sub>1</sub>

Мына суретте коллектор өлшемдері анық көрсетілген. Әр бөлшектің өз өлшемі бөлек. Құбыр барлығында бірдей мыс металлынан жасалған. Коллекторлар ерекшелігі олардың формаларында. Мысалы мына коллектор ирек ретінде жасалған.

ЖКСК<sub>1</sub>-дың артықшылығы, кіріс су жалғыз құбыр бойымен өтетін болғандықтан су қысымы жоғары болады. Және басжағынан құйылған сұ тез аяқ жағына барады. ЖКСК<sub>1</sub> жасауда мыс металлынан жасалған құбырлар пайдаланым. ЖКСК-ларды тіреу ретінде қара темір, ДСП және бытыра мойынтректер (подшипник) пайдаланып тірек жасадым.

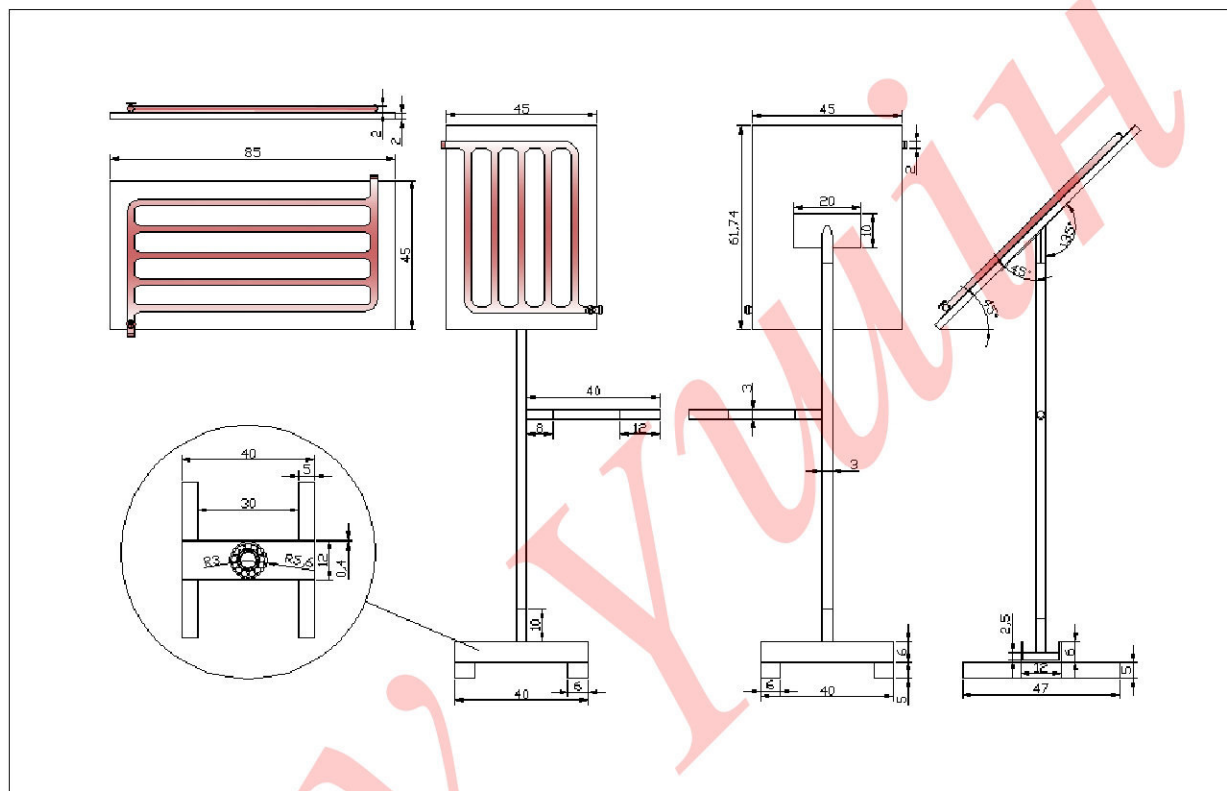
Құрылғы тірегінің астынғы бөлігіне бытыра мойынтрегін пайдаланғандығы арқасында, құрылғының үстіндегі бөлігі айналмалы. Диаметрі және су сиымдылық көлемі бірдей. Шығыс су температурасын өлшегіш құралы ретінде механикалық термометр пайдаланым. Коллектор бойынан өтетін суды тоқтатып немесе өткізу үшін соңына тетік жалғадым.

Сурет 3.5.3 ЖКСК<sub>2</sub>

Мына суретте коллектор өлшемдері анық көрсетілген. Әр бөлшектің өз өлшемі бөлек. Құбыр барлығында бірдей мыс металлынан жасалған. Коллекторлар ерекшелігі олардың формаларында. Мысалы мына коллектор төртбұрыш ретінде жасалған.

ЖКСК<sub>2</sub>-дың кемшілігі, кіріс су бірнеше құбыр жолдарымен өтетін болғандықтан, су қысымы төмен болады. ЖКСК<sub>2</sub> жасауда мыс металлынан жасалған құбырлар пайдаландым. ЖКСК-ларды тіреу ретінде қара темір, ДСП және бытыра мойынтректер (подшипник) пайдаланып тірек жасадым.

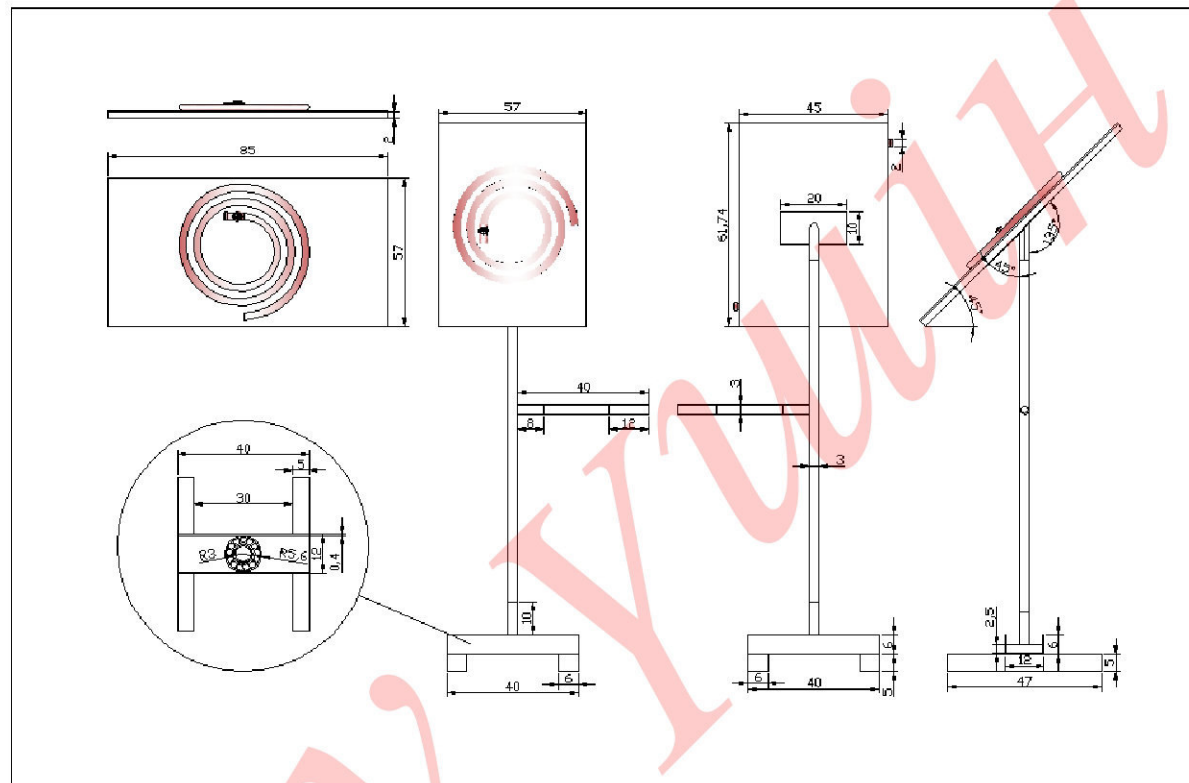
Құрылғы тірегінің астынғы бөлігіне бытыра мойынтрегін пайдаланғандығы арқасында, құрылғының үстінгі бөлігі айналмалы. Диаметрі және су сиымдылық көлемі бірдей. Шығыс су температурасын өлшегіп құралы ретінде механикалық термометр пайдаландым. Коллектор бойынан өтетін суды тоқтатып немесе өткізу үшін соңына тетік жалғадым.

Сурет 3.5.4 ЖКСК<sub>3</sub>

Мына суретте коллектор өлшемдері анық көрсетілген. Әр бөлшектің өз өлшемі бөлек. Құбыр барлығында бірдей мыс металлынан жасалған. Коллекторлар ерекшелігі олардың формаларында. Мысалы мына коллектор төртбұрыш ретінде жасалған.

ЖКСК<sub>3</sub>-дың кемшілігі, кіріс су бірнеше құбыр жолдарымен өтетін болғандықтан, су қысымы төмен болады. ЖКСК<sub>3</sub> жасауда мыс металлынан жасалған құбырлар пайдаландым. ЖКСК-ларды тіреу ретінде қара темір, ДСП және бытыра мойынтіректер (подшипник) пайдаланып тірек жасадым.

Құрылғы тірегінің астынғы бөлігіне бытыра мойынтірегін пайдаланғандығы арқасында, құрылғының үстінгі бөлігі айналмалы. Диаметрі және су сиымдылық көлемі бірдей. Шығыс су температурасын өлшегіп құралы ретінде механикалық термометр пайдаландым. Коллектор бойынан өтетін суды тоқтатып немесе өткізу үшін соңына тетік жалғадым.

Сурет 3.5.5 ЖКСК<sub>4</sub>

Мына суретте коллектор өлшемдері анық көрсетілген. Әр бөлшектің өз өлшемі бөлек. Құбыр барлығында бірдей мыс металлынан жасалған. Коллекторлар ерекшелігі олардың формаларында. Мысалы мына коллектор ирек ретінде жасалған.

ЖКСК<sub>4</sub>-дың кемшілігі, алатын ауданы үлкен болған соң, көп орынды қажет етеді.

ЖКСК<sub>4</sub> жасауда мыс металлынан жасалған құбырлар пайдаландым. ЖКСК-ларды тіреу ретінде қара темір, ДСП және бытыра мойынтректер (подшипник) пайдаланып тірек жасадым.

Құрылғы тірегінің астынғы бөлігіне бытыра мойынтрегін пайдаланғандығы арқасында, құрылғының үстінгі бөлігі айналмалы. Диаметрі және су сиымдылық көлемі бірдей. Шығыс су температурасын өлшегіп құралы ретінде механикалық термометр пайдаландым. Коллектор бойынан өтетін суды тоқтатып немесе өткізу үшін соңына тетік жалғадым.

Суретте көрініп тұргандай әрбір ЖКСК жазық панельдің беттік ауданы 85x45, жылтыту трубасының көлеміне 0,399 литр су сияды.

Барлық ЖКСК<sub>1</sub>,ЖКСК<sub>2</sub>,ЖКСК<sub>3</sub>,ЖКСК<sub>4</sub>, бір жағдайда суға толтырылып күн сәулесіне сағат 9-да қойылды. Осы күнде ЖКСК сағат 18-ге дейін тұрды жалпы 9 сағат күн энергиясын қабылдайды.

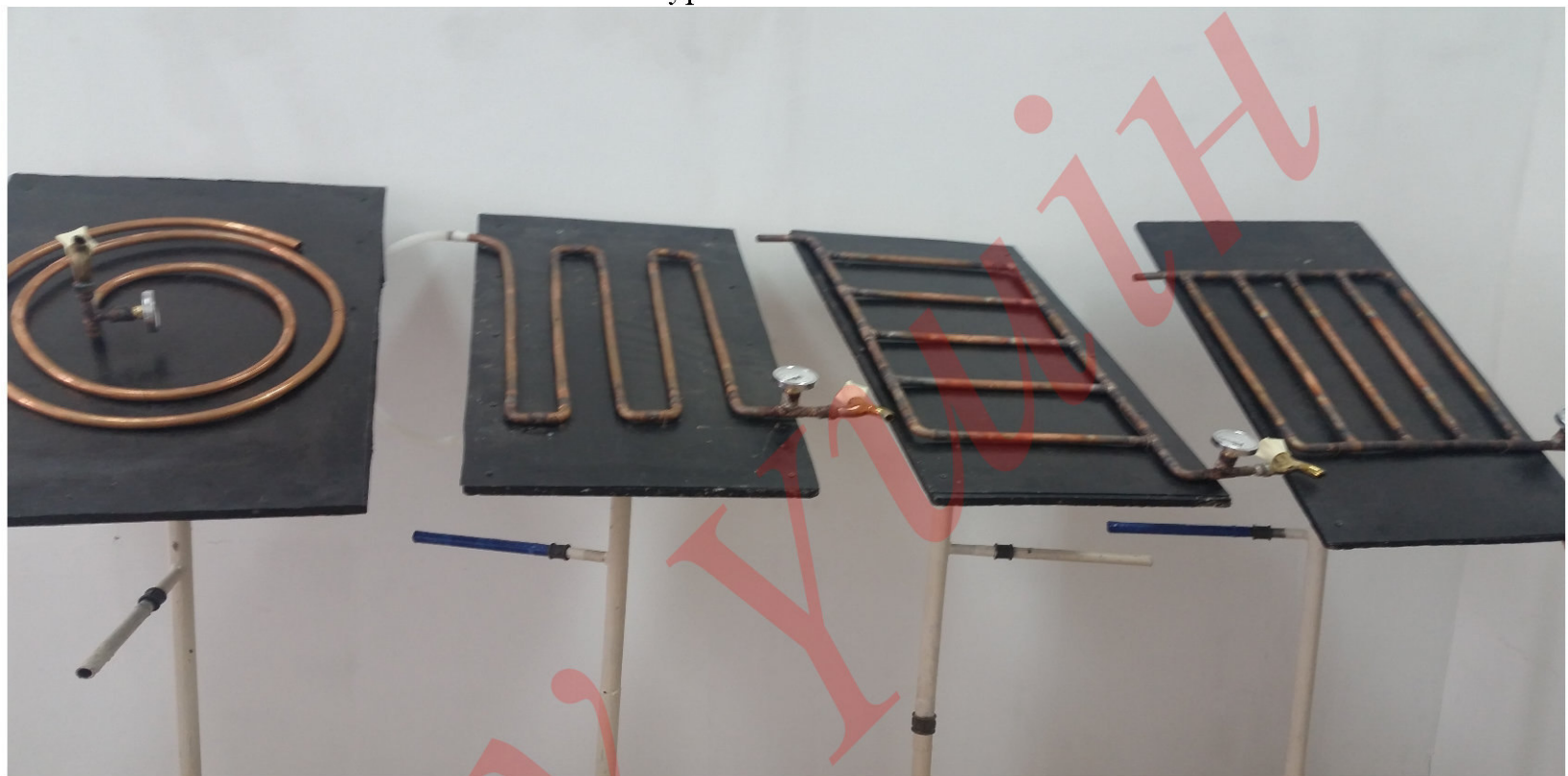
### 3.5.1.-кесте

p/c	Коллектор атауы	Панель ұзындығы	Панель ені	Труба ұзындығы	Труба диаметрі	Су сиымдылығы	Коллектор бұрышы
1	ЖКСК <sub>1</sub>	0,85	0,45	3 м	16 мм	0,399	45°
2	ЖКСК <sub>2</sub>	0,85	0,45	3 м	16 мм	0,399	45°
3	ЖКСК <sub>3</sub>	0,85	0,45	3 м	16 мм	0,399	45°
4	ЖКСК <sub>4</sub>	0,85	0,57	3 м	16 мм	0,399	45°

Сурет 3.5.6 ЖКСК



Сурет 3.5.7 ЖКСК



Жасалған жазғы күн сәулесінің коллекторлары (ЖКСК) төрт түрлі болып келеді. ЖКСК-лар жасауда мыс металлынан жасалған құбырлар пайдаландым. ЖКСК-ларды тіреу ретінде қара темір, ДСП және бытыра мойынтректер (подшипник) пайдаланып тірек жасадым. Менің жасаған қондырғыларым үш бөлек бөліктен тұрып, жиналмалы болып келеді. Құрылғы тірегінің астынғы бөлігіне бытыра мойынтрегін пайдаланғандығы арқасында, құрылғының үстіндегі бөлігі айналмалы. Енді, коллекторлардың өзіне келетін болсақ, бұл коллекторларды төрт түрлі пішінде жасадым, яғни, суреттерде көрсетілгендей ЖКСК<sub>1</sub>, ЖКСК<sub>2</sub>, ЖКСК<sub>3</sub>, ЖКСК<sub>4</sub>. Барлық коллекторлардың пішіні әртүрлі болғанымен, құбыр ұзындығы, диаметрі және су сиындылық көлемі бірдей. Шығыс су температурасын өлшегіш құралы ретінде механикалық термометр пайдаландым. Коллектор бойынан өтетін суды тоқтатып немесе өткізу үшін соңына тетік жалғадым.

Сурет 3.5.8 ЖКСК<sub>1</sub>

ЖКСК<sub>1</sub>-дың артықшылығы, кіріс су жалғыз құбыр бойымен өтетін болғандықтан су қысымы жоғары болады. Және басжағынан құйылған су тез аяқ жағына барады. ЖКСК<sub>1</sub> жасауда мыс металлынан жасалған құбырлар пайдаландым. ЖКСК-ларды тіреу ретінде қара темір, ДСП және бытыра мойынтіректер (подшипник) пайдаланып тірек жасадым.

Құрылғы тірегінің астынғы бөлігіне бытыра мойынтірегін пайдаланғандығы арқасында, құрылғының үстіндегі бөлігі айналмалы. Диаметрі және су сиындылық көлемі бірдей. Шығыс су температурасын өлшегіш құралы ретінде механикалық термометр пайдаландым. Коллектор бойынан өтетін суды тоқтатып немесе өткізу үшін соңына тетік жалғадым.

Сурет 3.5.9 ЖКСК<sub>2</sub>

ЖКСК<sub>2</sub>-дың кемшілігі, кіріс су бірнеше құбыр жолдарымен өтетін болғандықтан, су қысымы төмен болады. ЖКСК<sub>2</sub> жасауда мыс металлынан жасалған құбырлар пайдаландым. ЖКСК-ларды тіреу ретінде қара темір, ДСП және бытыра мойынтіректер (подшипник) пайдаланып тірек жасадым. Құрылғы тірегінің астынғы бөлігіне бытыра мойынтірегін пайдаланғандығы арқасында, құрылғының үстіндегі бөлігі айналмалы. Диаметрі және су сиындылық көлемі бірдей. Шығыс су температурасын өлшегіш құралы ретінде механикалық термометр пайдаландым. Коллектор бойынан өтетін суды тоқтатып немесе өткізу үшін соңына тетік жалғадым.

Сурет 3.5.10 ЖКСК<sub>3</sub>

ЖКСК<sub>3</sub>-дың кемшілігі, кіріс су бірнеше құбыр жолдарымен өтетін болғандықтан, су қысымы төмен болады. ЖКСК<sub>3</sub> жасауда мыс металлынан жасалған құбырлар пайдаланым. ЖКСК-ларды тіреу ретінде қара темір, ДСП және бытыра мойынтректер (подшипник) пайдаланып тірек жасадым.

Құрылғы тірегінің астыңғы бөлігіне бытыра мойынтрегін пайдаланғандығы арқасында, құрылғының үстіңгі бөлігі айналмалы. Диаметрі және су сиымдылық көлемі бірдей. Шығыс су температуrasын өлшегіш құралы ретінде механикалық термометр пайдаланым. Коллектор бойынан өтетін суды тоқтатып немесе өткізу үшін соңына тетік жалғадым.

Сурет 3.5.11 ЖКСК<sub>4</sub>

ЖКСК<sub>4</sub>-дың кемшілігі, алатын ауданы ұлкен болған соң, көп орынды қажет етеді.

ЖКСК<sub>4</sub> жасауда мыс металлынан жасалған құбырлар пайдаландым. ЖКСК-ларды тіреу ретінде қара темір, ДСП және бытыра мойынтректер (подшипник) пайдаланып тірек жасадым.

Құрылғы тірегінің астынғы бөлігіне бытыра мойынтрегін пайдаланғандығы арқасында, құрылғының үстіндегі бөлігі айналмалы. Диаметрі және су сиындылық көлемі бірдей. Шығыс су температурасын өлшегіш құралы ретінде механикалық термометр пайдаландым. Коллектор бойынан өтетін суды тоқтатып немесе өткізу үшін соңына тетік жалғадым.

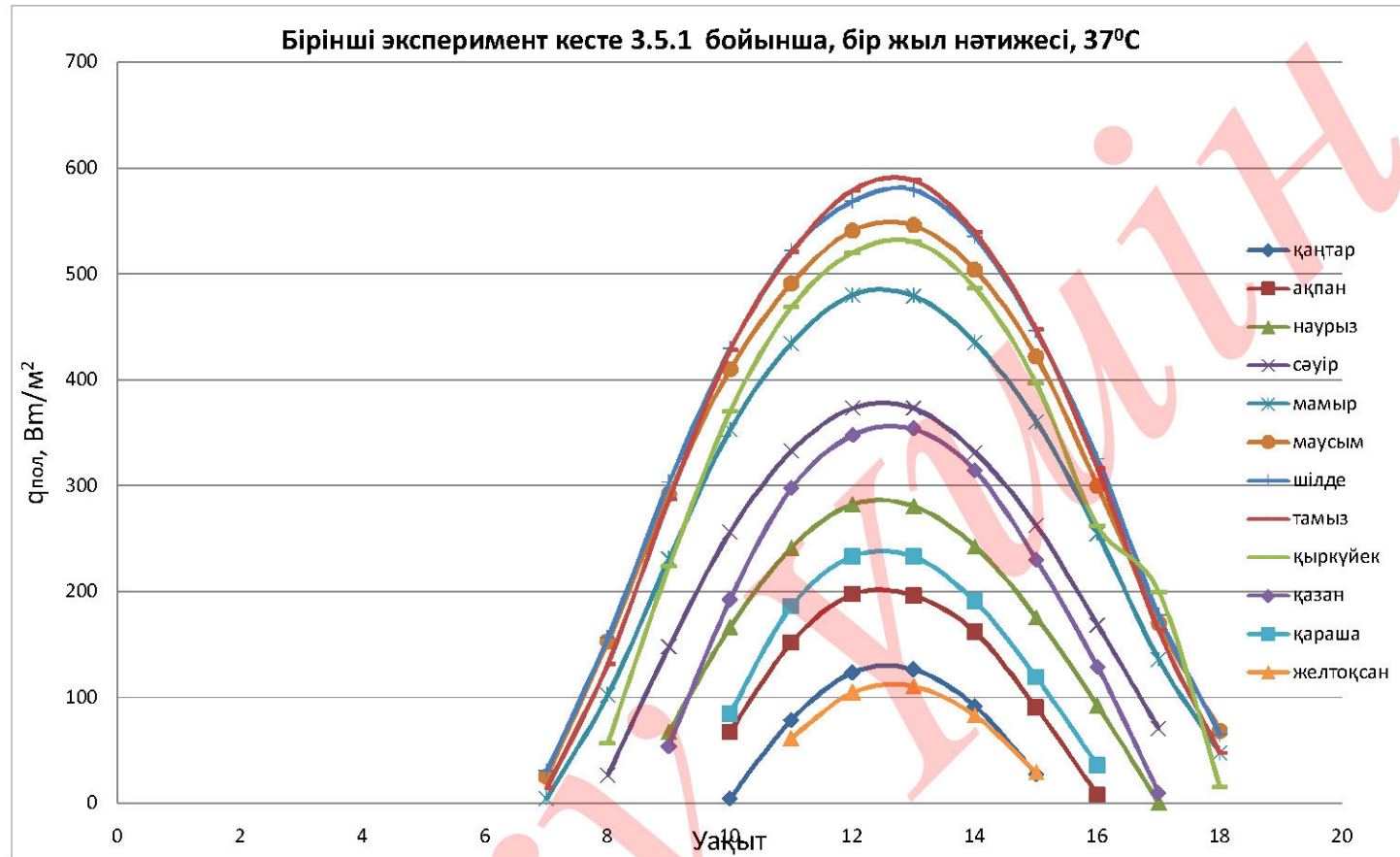
## Бірінші эксперимент 3.5.1

Жылы су алу барысында, алғынған жылы су температурасының  $t_{f\text{выход}} = 37^{\circ}\text{C}$ , бес контурлы ЖСЖЖ-де ( $\eta_{\text{гвс}}=0,9$ ), ЖКСК жылу өнімділігінің орта айлық күндізгі қадамдарының орташа тәулік үлесті мәні ( $q_{\text{пол}}, \text{Вт}/\text{м}^2$ )

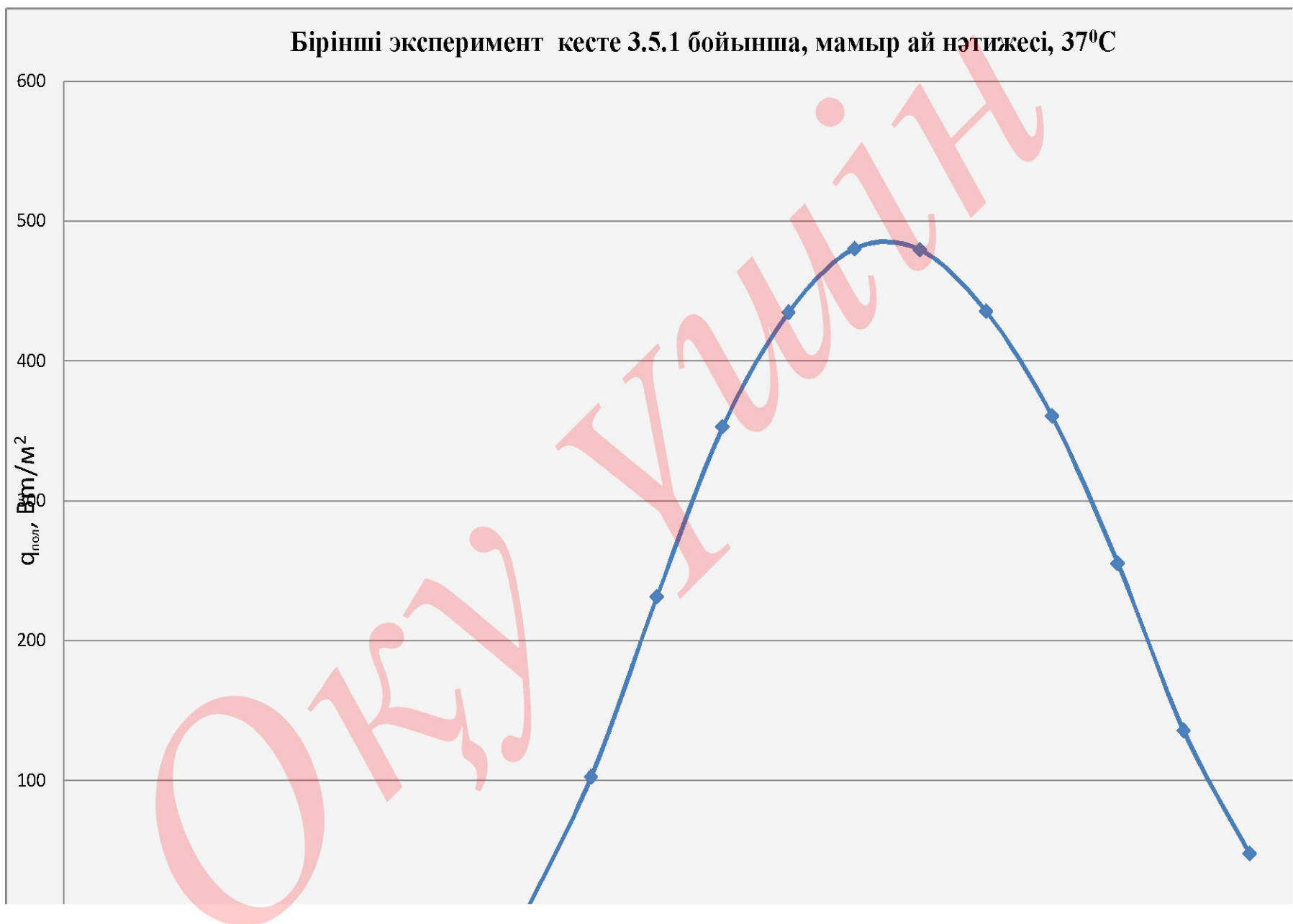
Ай	Жарық күн уақыт интервалы, сағат												Бір күн қосындысы, МДж/м <sup>2</sup>	Бір ай қосындысы, МДж/м <sup>2</sup>
	6-7	7-8	8-9	9-10	10-11	11-12	12-13	13-14	14-15	15-16	16-17	17-18		
I	-	-	-	4,92	78,89	123,81	126,83	92,00	27,92	-	-	-	1,6366	50,7346
II	-	-	-	67,50	152,06	197,72	196,61	162,14	90,53	8,19	-	-	3,1491	88,1748
III	-	-	67,25	166,6	241,56	282,67	281,08	243,08	175,92	92,22	0,44	-	5,5833	173,0823
IV	-	26,94	148,17	257,06	332,93	373,53	373,56	331,89	262,58	168,47	70,72	-	8,4463	253,3890
V	4,97	102,67	231,64	353,17	435,03	480,42	479,69	435,69	360,69	255,39	136,03	47,86+1,0 3*	11,9674	370,9894
VI	25,61	153,47	292,67	410,17	491,47	541,17	546,39	504,08	422,33	299,97	170,58	68,81+10, 19*	14,1729	425,1870
VII	30,83	157,08	303,42	429,56	522,17	567,83	579,75	535,33	446,31	325,53	177,78	65,25+20, 14*	14,9795	464,3645
VIII	14,00	132,11	287,39	428,72	520,75	579,58	588,69	539,28	447,75	316,25	163,08	47,42+8,2 5*	14,6640	454,5840
IX	-	57,06	224,14	370,67	469,14	520,33	530,72	487,00	396,75	262,44	199,86	15,47	12,4329	372,9870
X	-	-	54,31	192,81	297,81	347,83	354,06	314,83	230,29	129,17	10,31	-	6,9464	215,3384
XI	-	-	-	84,86	186,50	233,36	233,22	191,08	119,61	36,19	-	-	3,9054	117,1620
XII	-	-	-	-	61,50	104,89	110,86	82,94	29,19	-	-	-	1,3978	43,3318

Бір жыл қосындысы: 3029,3248

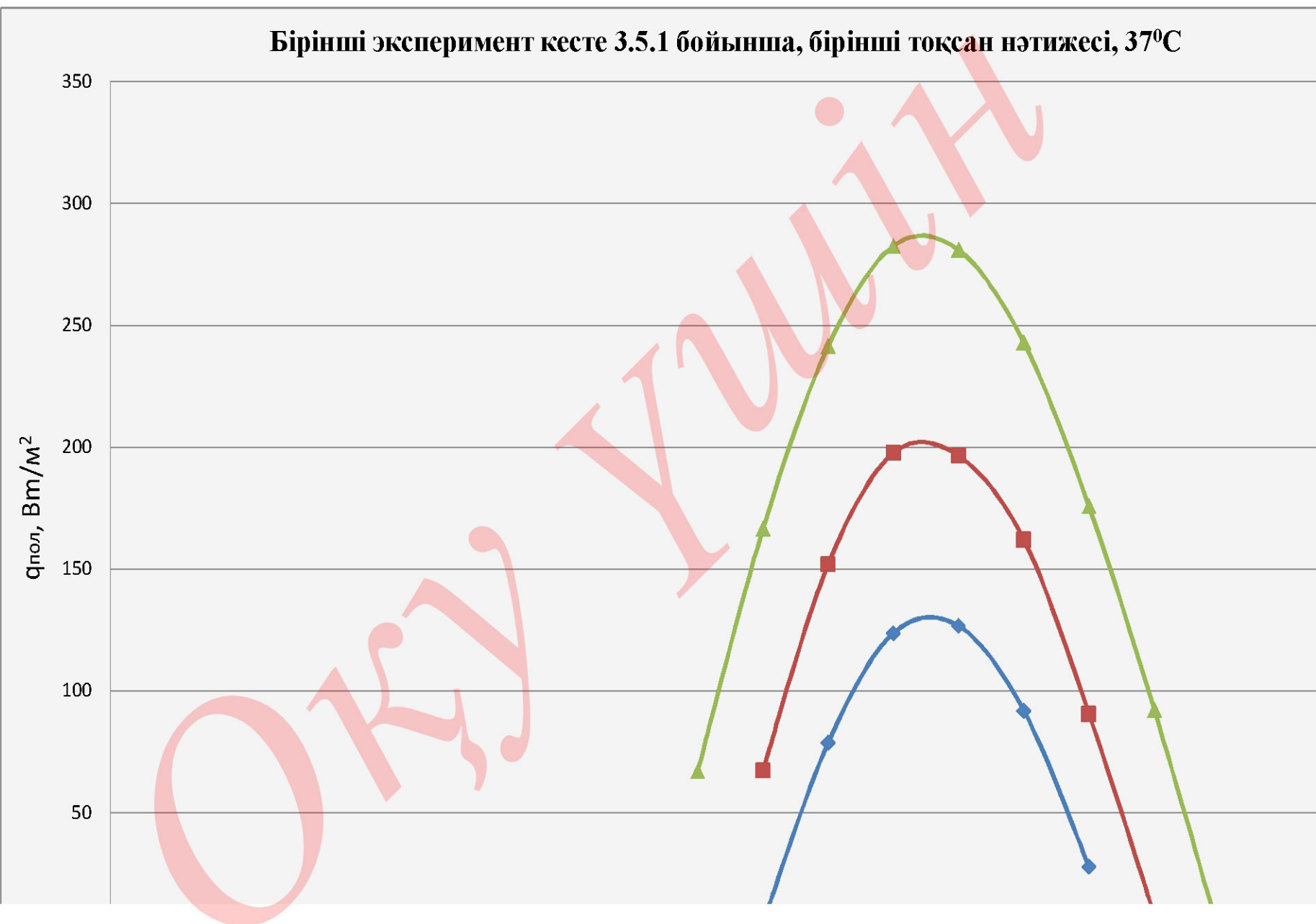
\*-коллектордың сәулекабылдағыш қабатына тұра жарық сәулесі түспеген жағдайға байланысты, жарық түсінің тоқтатылуынан кейін



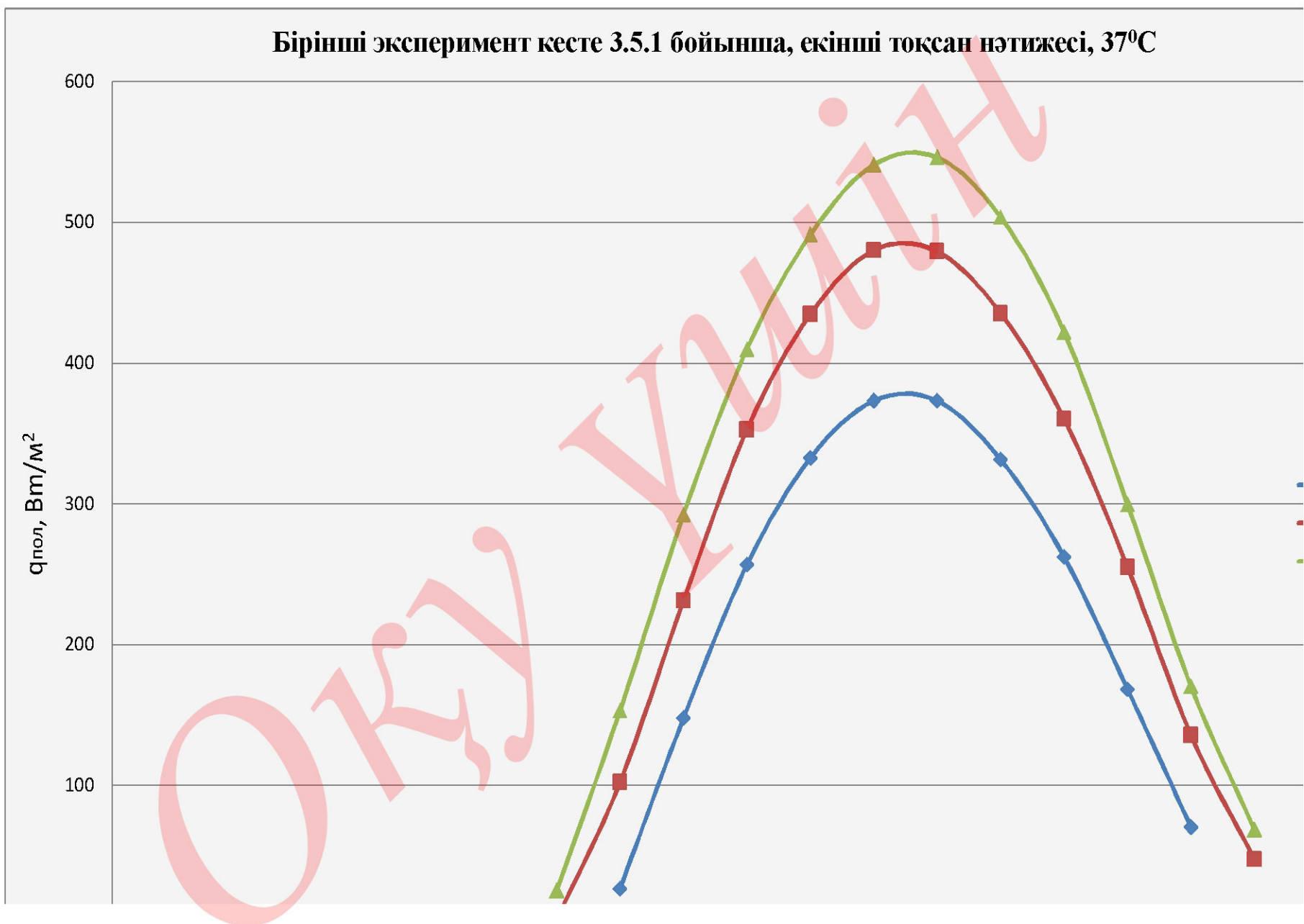
Бірінші эксперимент кесте 3.5.1 бойынша, мамыр ай нәтижесі, 37°C

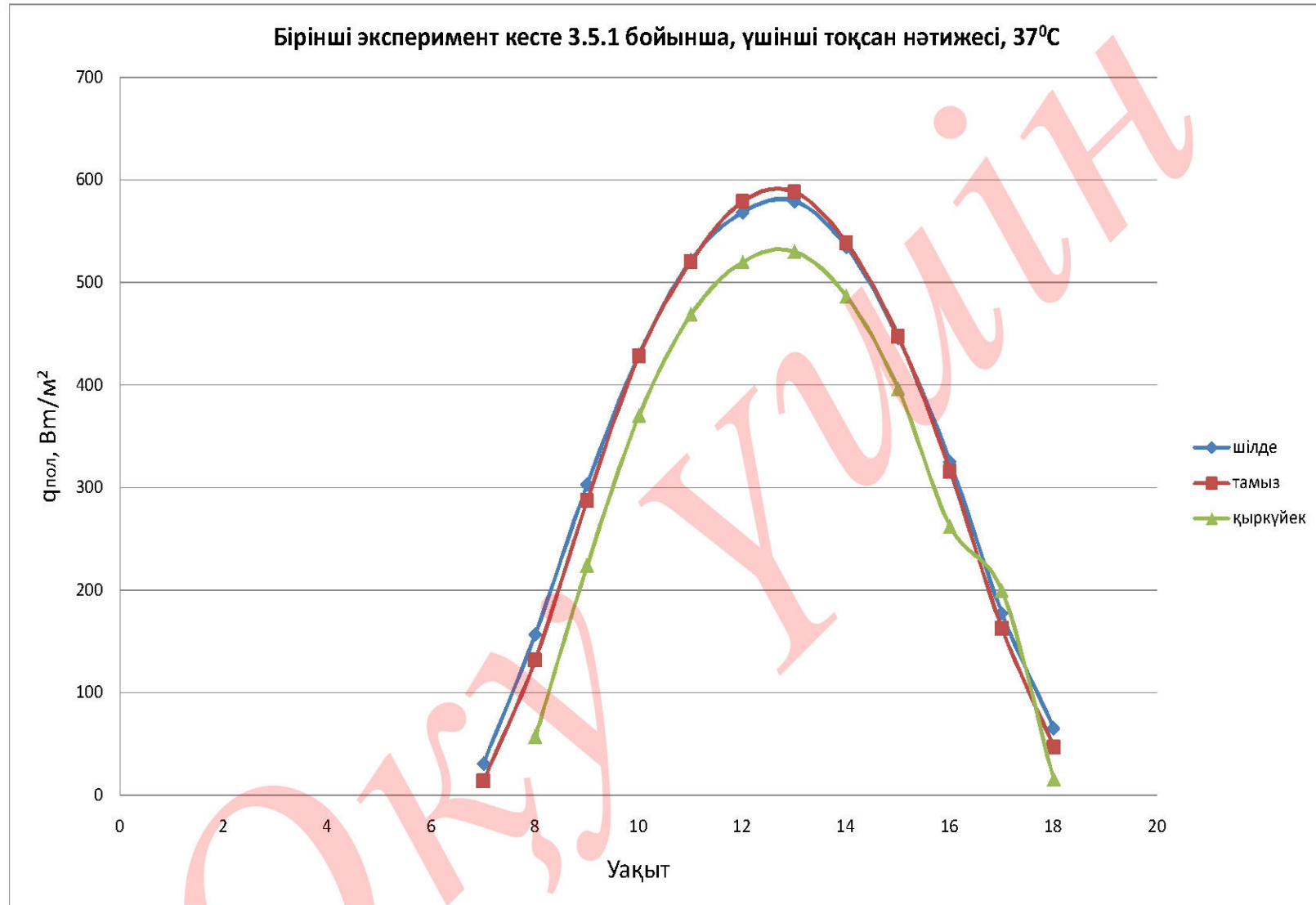


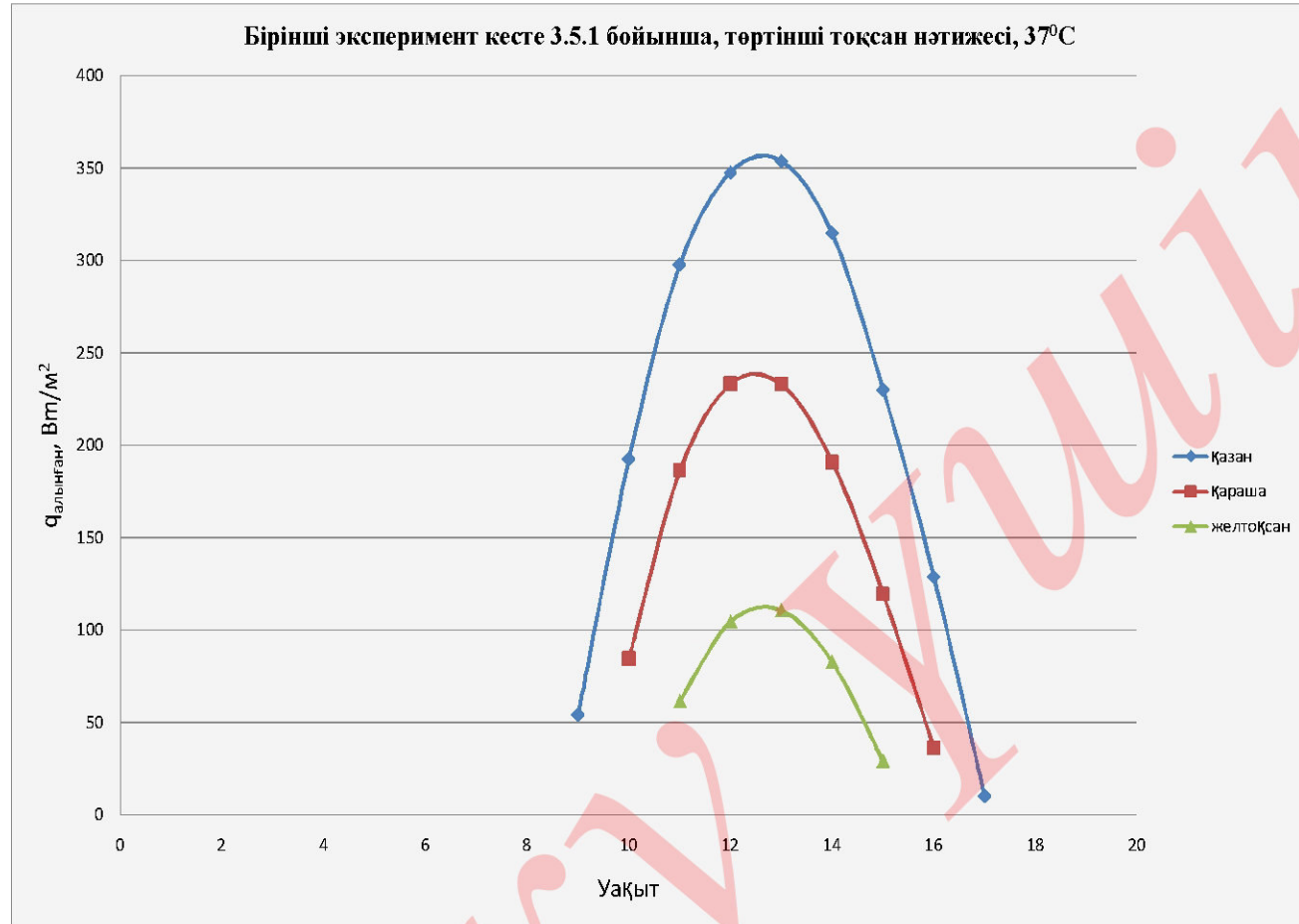
Бірінші эксперимент кесте 3.5.1 бойынша, бірінші тоқсан нәтижесі, 37°C



Бірінші эксперимент кесте 3.5.1 бойынша, екінші тоқсан нәтижесі, 37°C







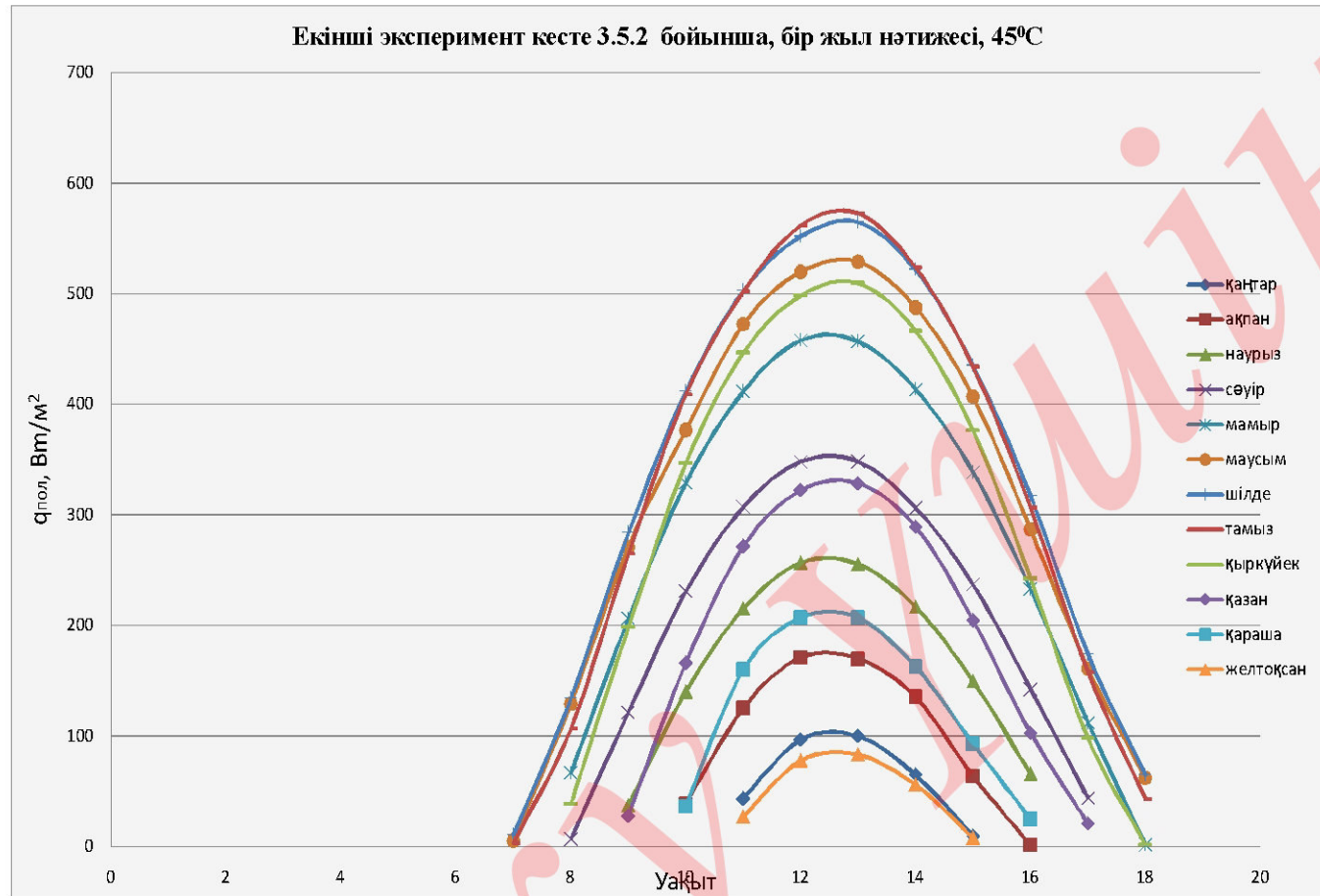
## Екінші эксперимент 3.5.2

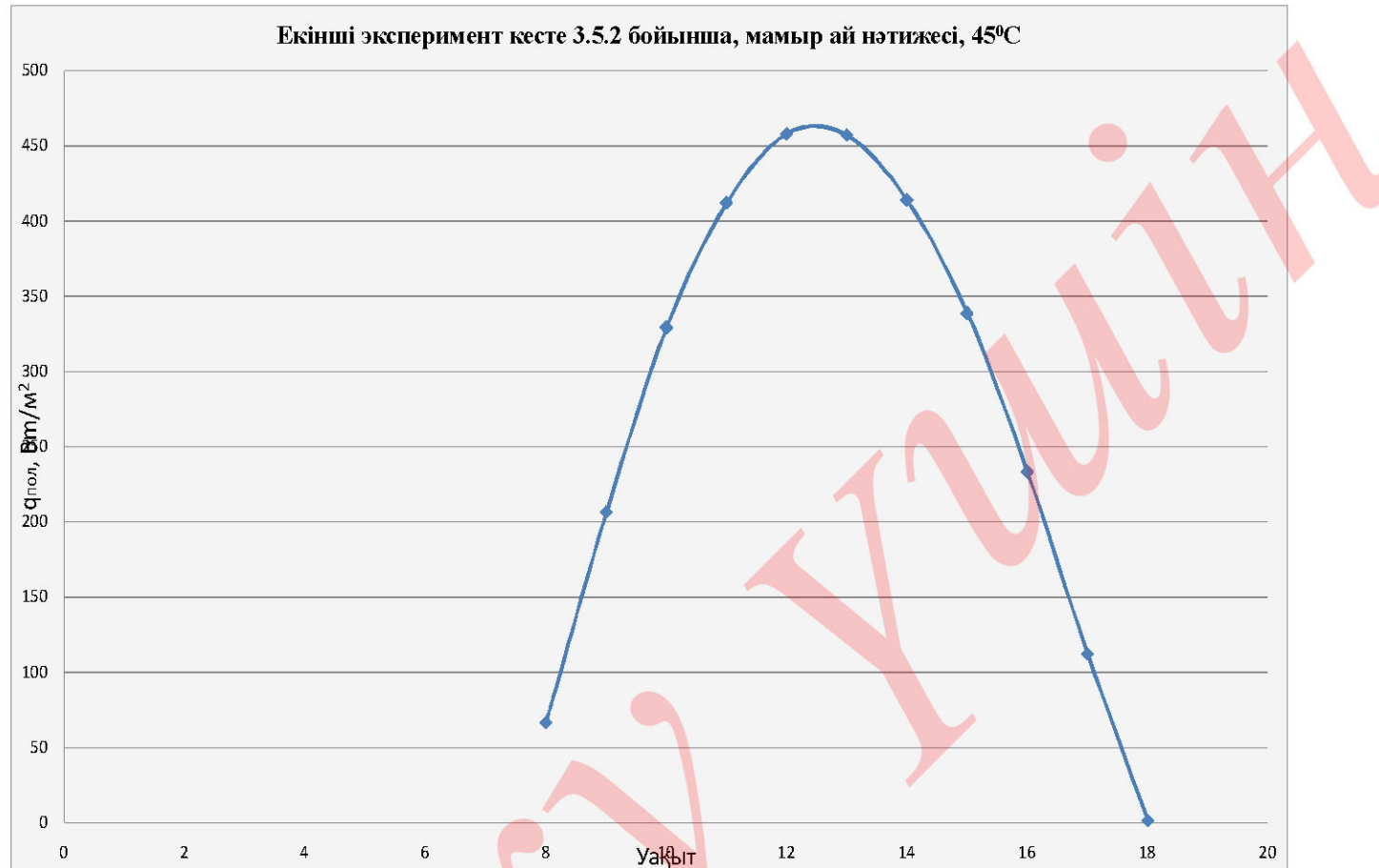
Жылы су алу барысында, алынған жылы су температурасының  $t_{f\text{выход}} = 45^{\circ}\text{C}$ , бес контурлы ЖСЖЖ-де ( $\eta_{\text{гвс}}=0,9$ ), ЖКСК жылу өнімділігінің орта айлық күндізгі қадамдарының орташа тәулік үлесті мәні ( $q_{\text{пол}}, \text{Вт}/\text{м}^2$ )

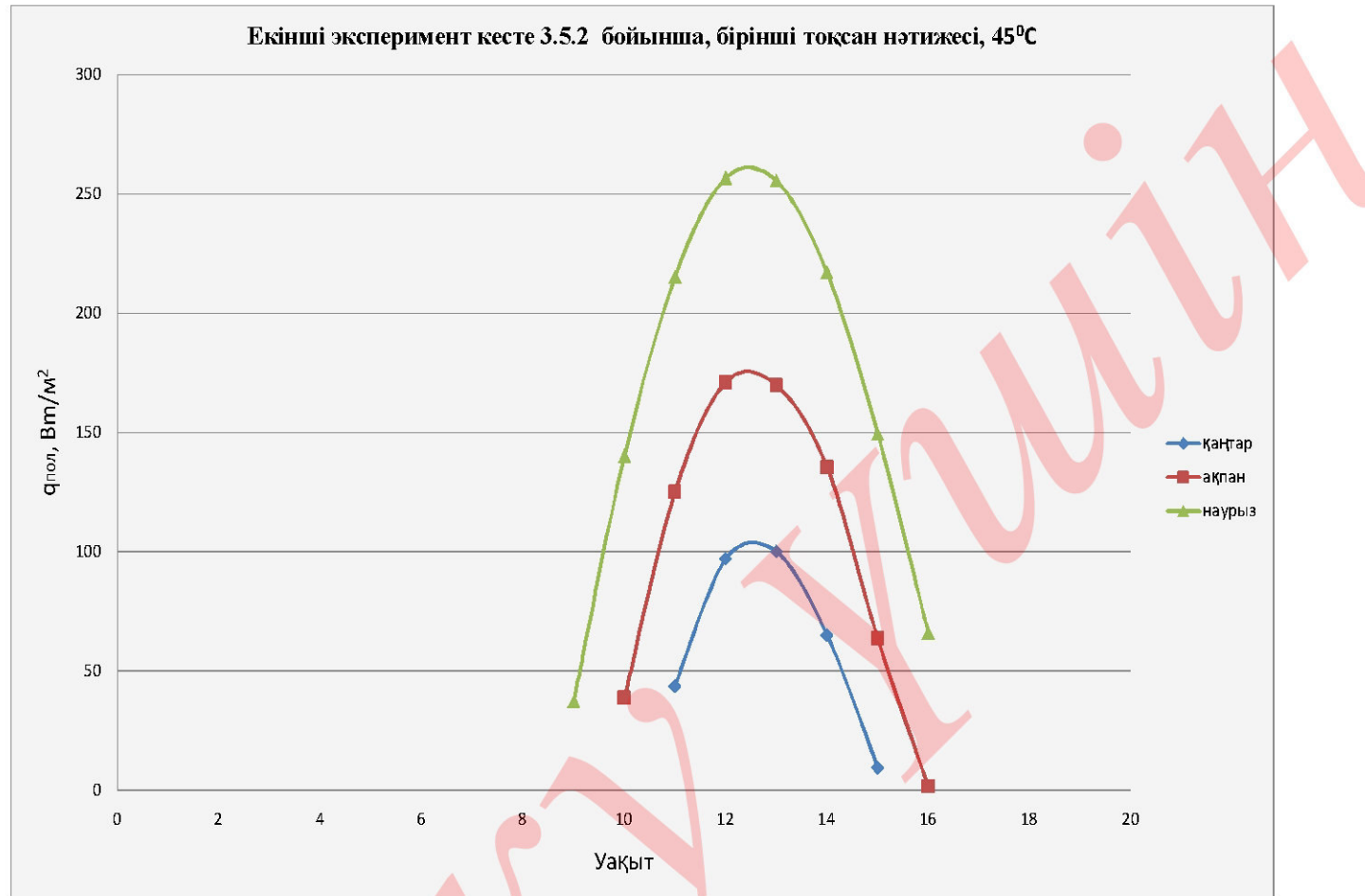
Ай	Жарық күн уақыт интервалы, сағат												Бір күн қосындысы, МДж/м <sup>2</sup>	Бір ай қосындысы, МДж /м <sup>2</sup>
	6-7	7-8	8-9	9-10	10-11	11-12	12-13	13-14	14-15	15-16	16-17	17-18		
I	-	-	-	-	43,67	97,14	100,22	65,22	9,61	-	-	-	1,1371	35,2501
II	-	-	-	38,97	125,44	171,25	170,11	135,61	63,83	1,67	-	-	2,5448	71,2544
III	-	-	37,44	140,28	215,44	256,86	255,78	217,22	149,72	66,00	-	-	4,8195	149,4045
IV	-	7,08	121,81	231,22	307,56	348,42	348,64	306,92	237,22	142,33	44,22	-	7,5435	226,3050
V	-	66,92	206,61	329,39	412,19	458,22	457,39	414,00	339,00	233,31	112,47	1,92	10,9131	338,3061
VI	5-61	129,47	271,31	377,03	472,78	520,19	529,39	487,92	407,36	287,22	161,33	62,50	13,3636	400,9080
VII	10,64	134,53	284,22	412,08	503,03	552,11	565,22	522,31	435,42	317,50	174,44	65,53+ 3,33*	14,3293	444,2083
VIII	339	107,06	264,92	408,92	502,33	562,06	573,14	524,14	434,25	306,42	157,97	43,25+ 3,22*	14,0078	434,2418
IX	-	39,08	198,81	347,03	447,03	498,75	509,97	466,58	376,64	242,64	98,22	2,06	11,6165	348,4950
X	-	-	28,25	166,44	271,97	322,47	328,89	289,64	204,81	103,08	21,11	-	6,2570	193,9670
XI	-	-	-	36,69	160,22	207,28	207,28	163,00	93,14	24,92	-	-	3,2131	96,3930
XII	-	-	-	-	27,31	78,17	83,56	56,19	8,22	-	-	-	0,9124	28,2844

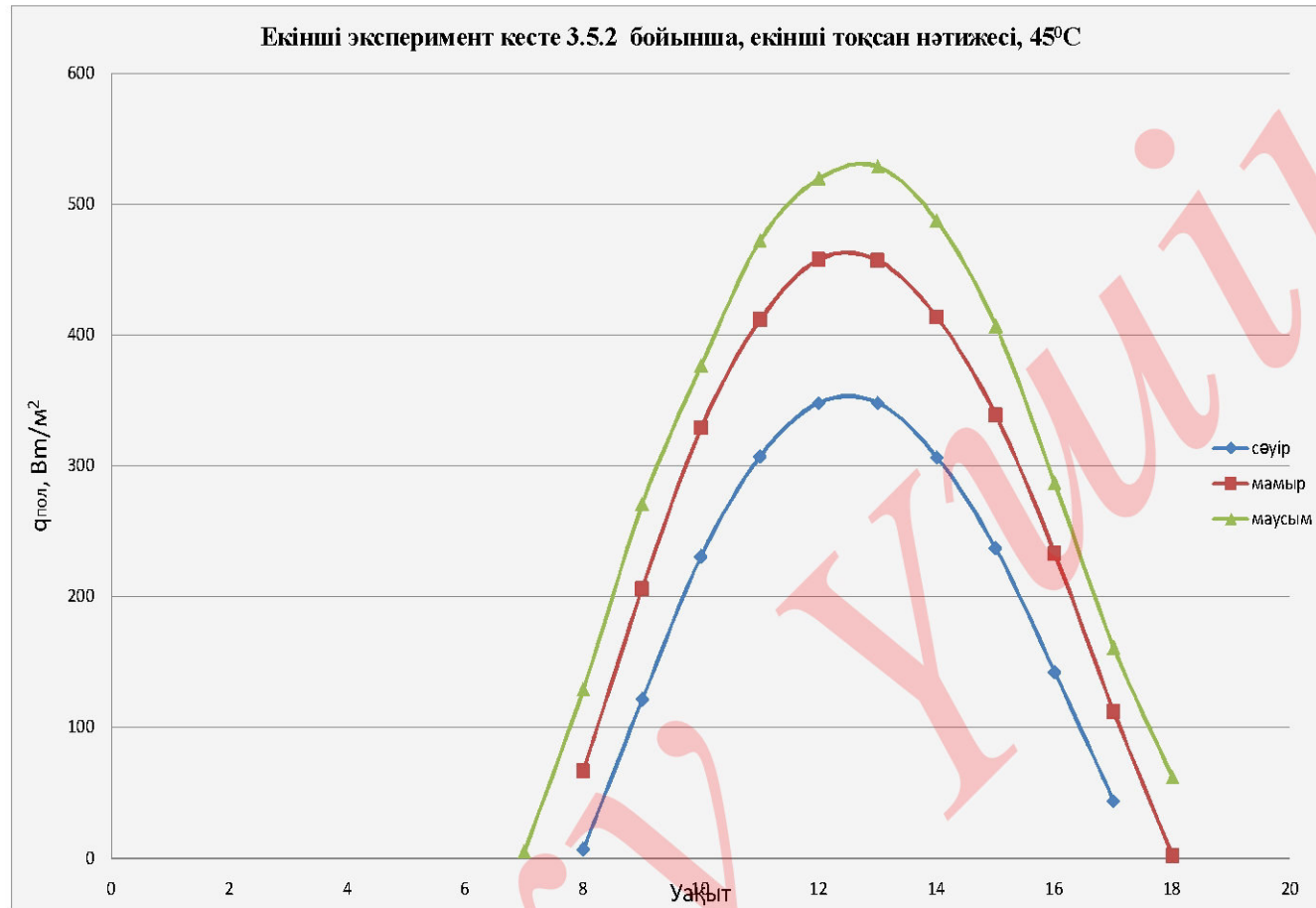
Бір жыл қосындысы: 2767,0176

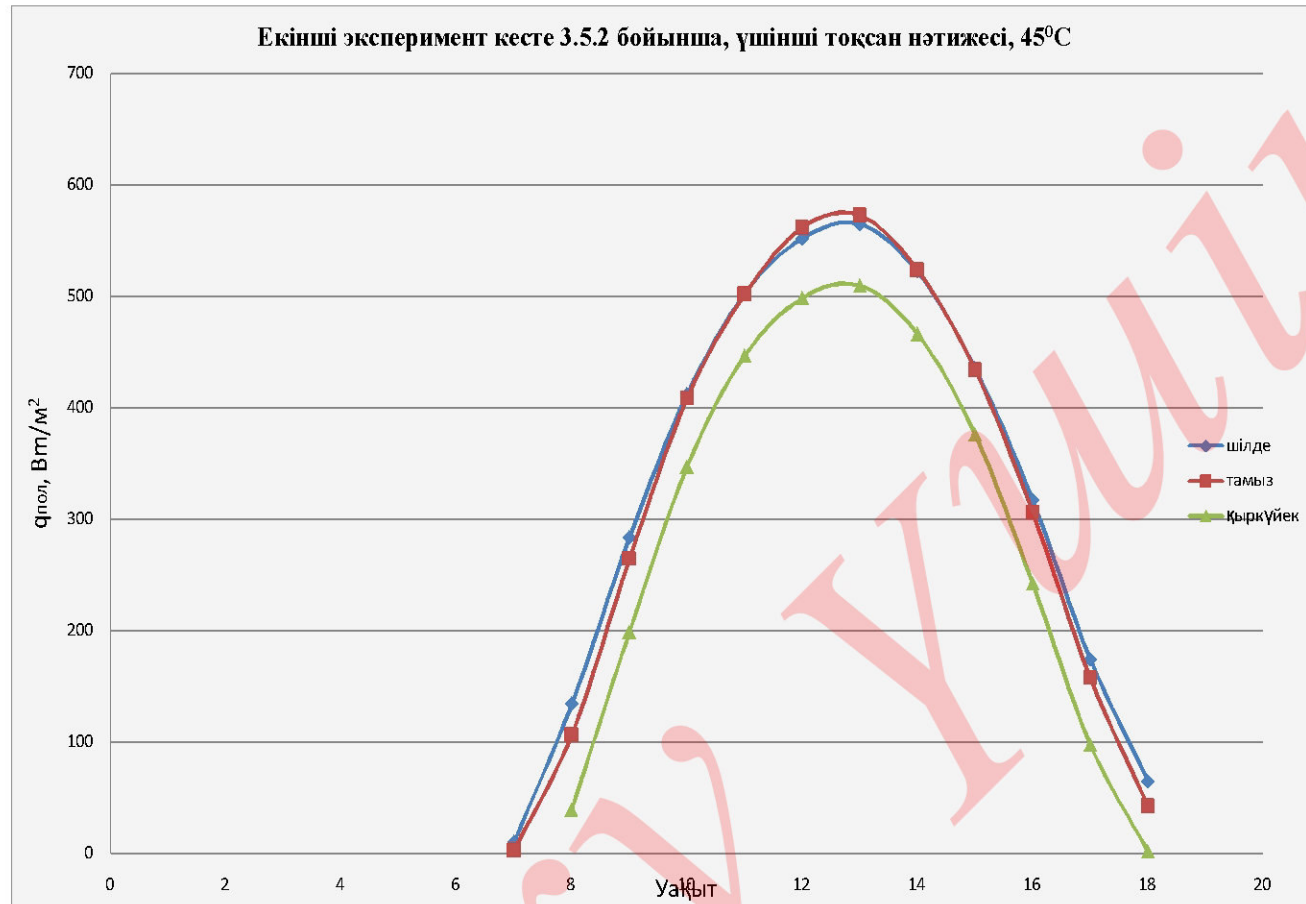
\*-коллектордың сәулеқабылдағыш қабатына тұра жарық сәулесі түспеген жағдайға байланысты, жарық түсінің тоқтатылуынан кейін

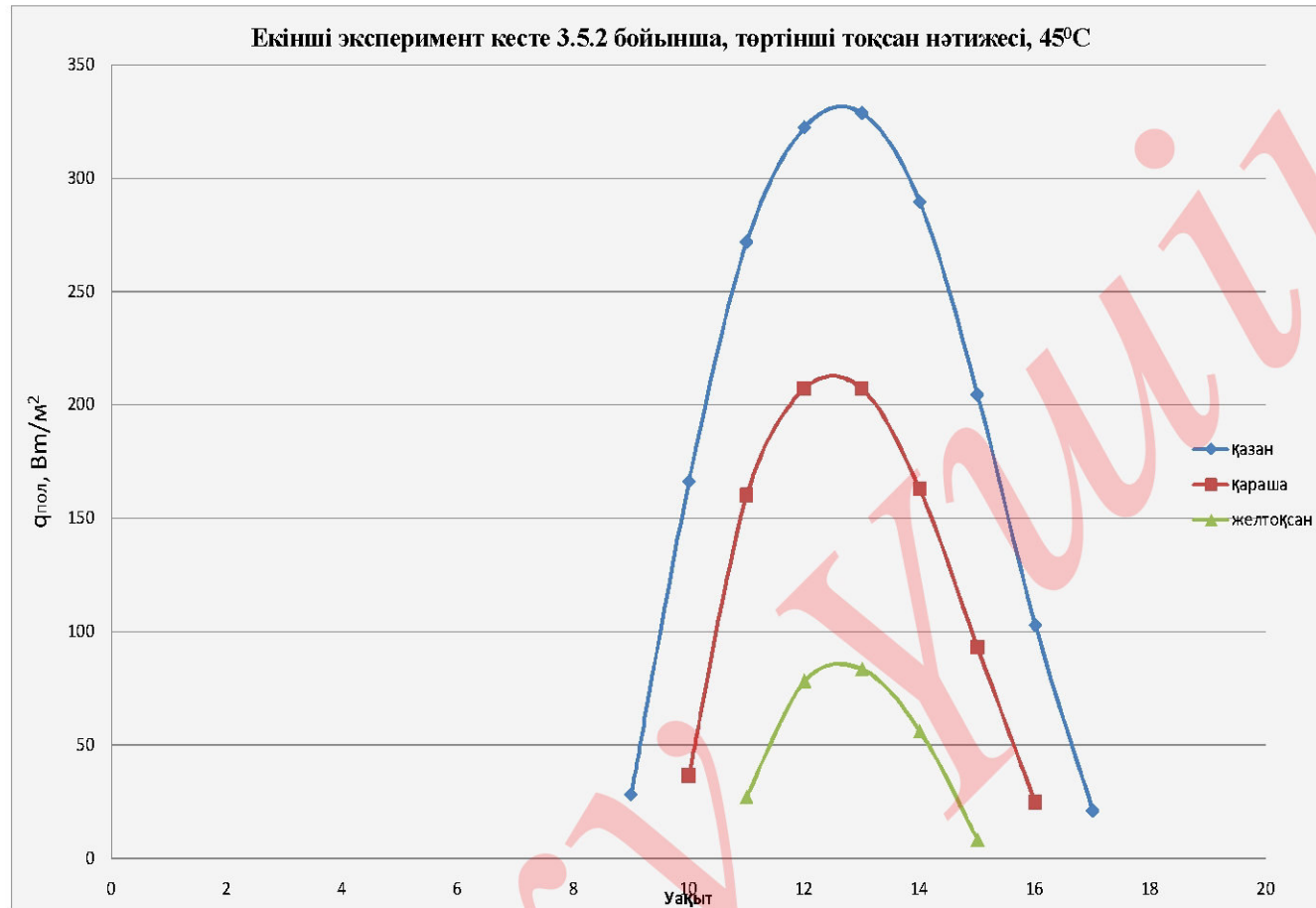










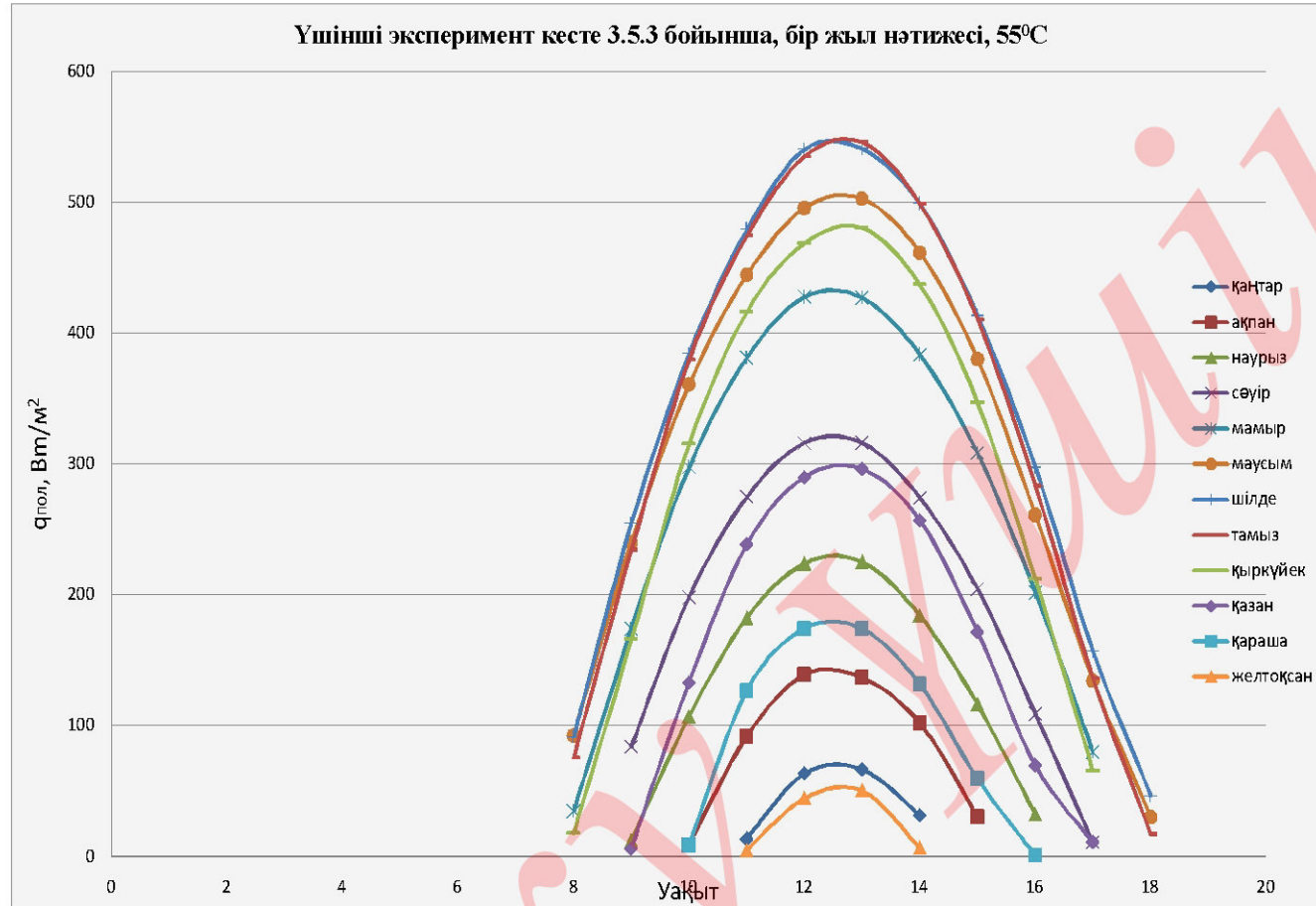


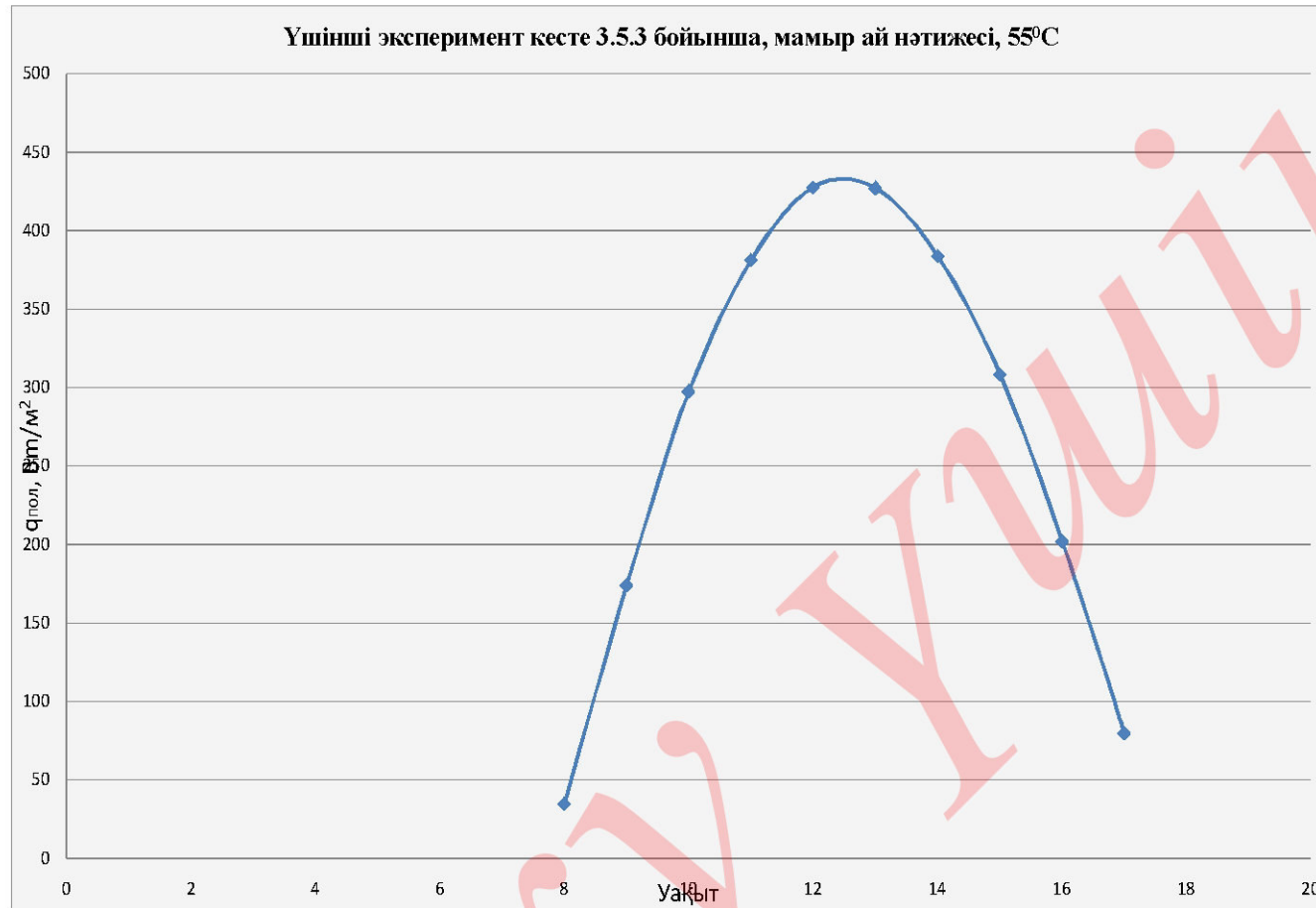
### Үшінші эксперимент 3.5.3

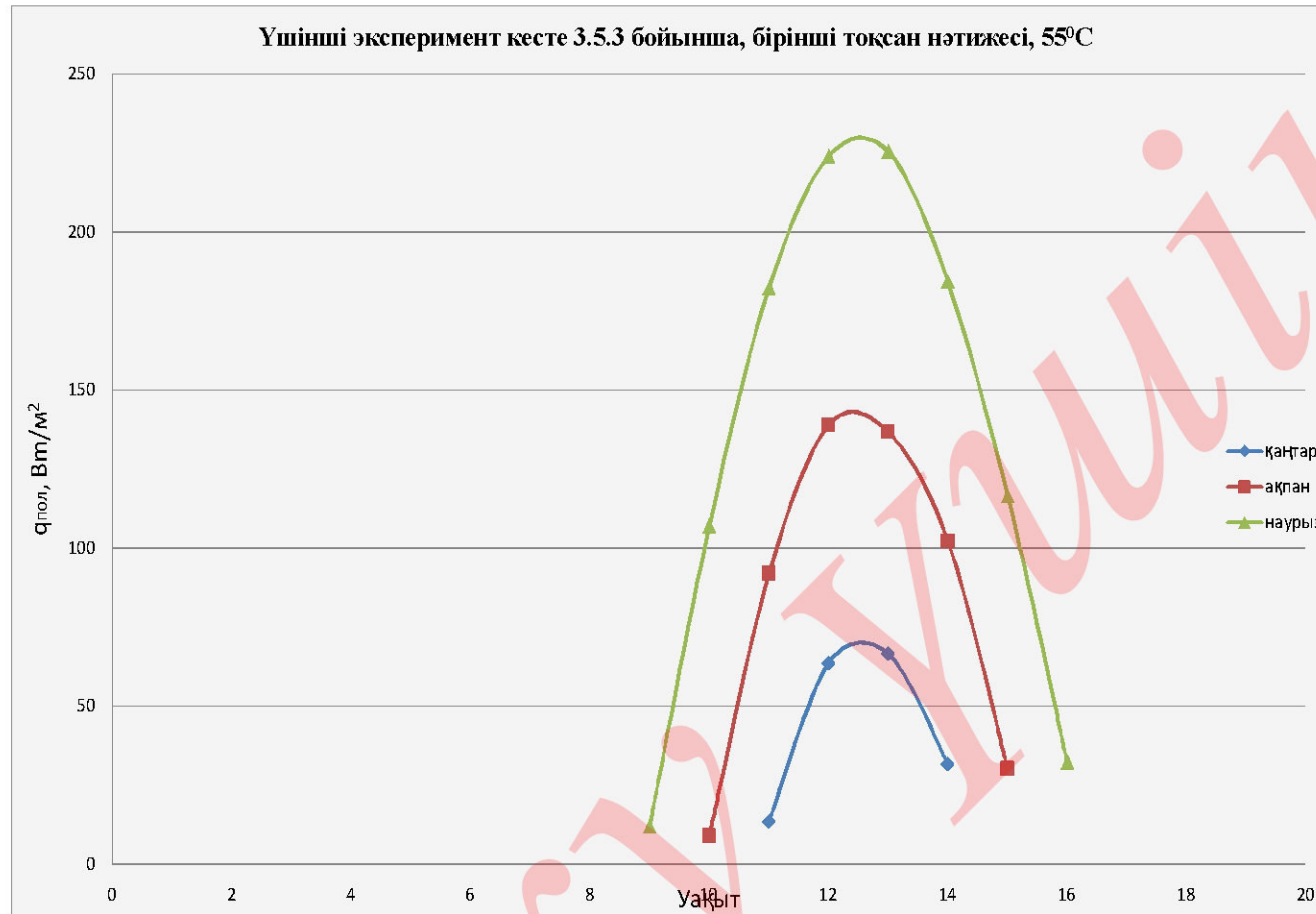
Жылы су алу барысында, алынған жылы су температурасының  $t_{f\text{выход}} = 55^{\circ}\text{C}$ , бес контурлы ЖСЖЖ-де ( $\eta_{\text{гвс}}=0,9$ ), ЖКСК жылу өнімділігінің орта айлық күндізгі қадамдарының орташа тәулік үлесті мәні ( $q_{\text{пол}, \text{Вт}/\text{м}^2}$ )

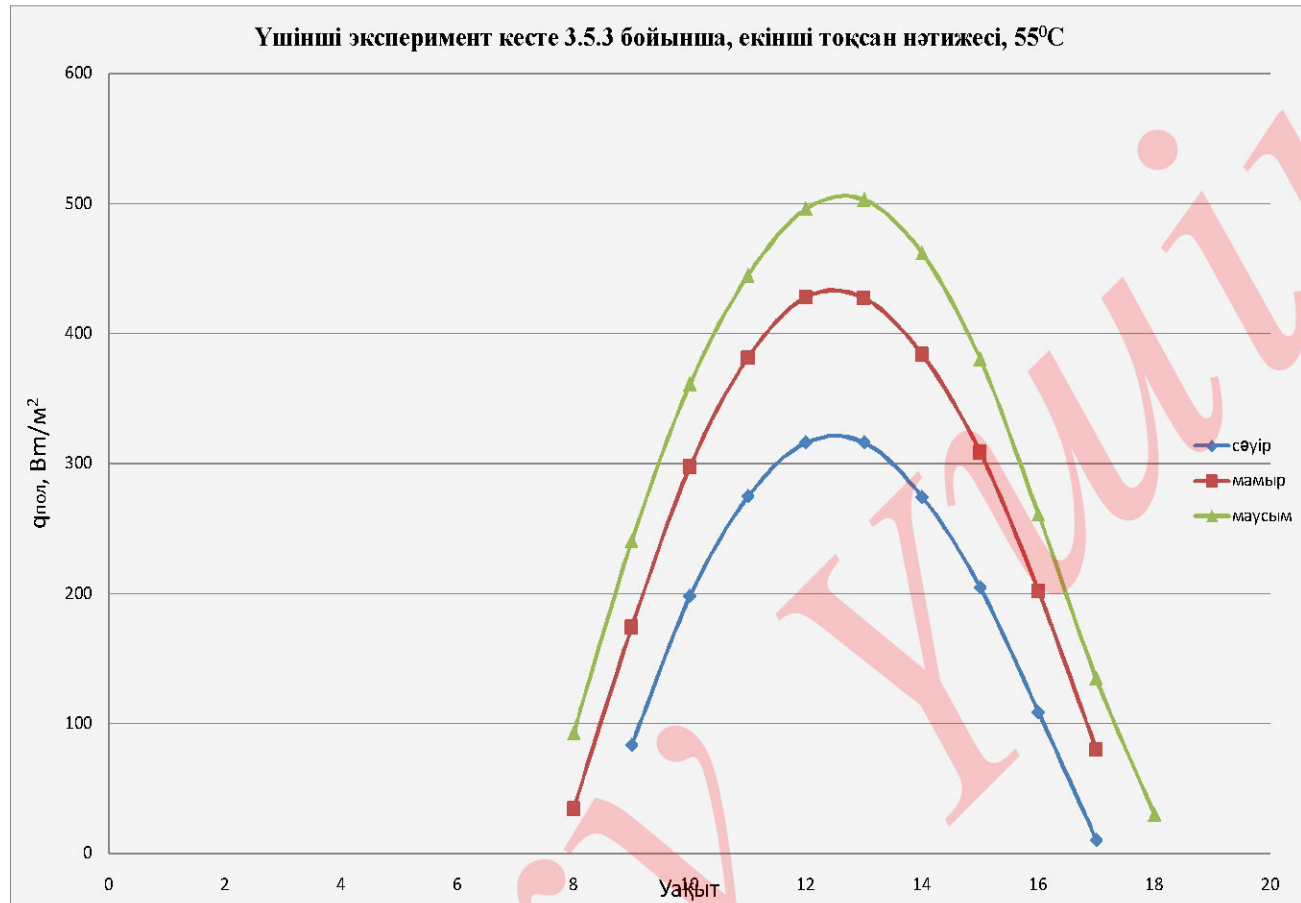
Ай	Жарық күн уақыт интервалы, сағат												Бір күн қосындысы, МДж/м <sup>2</sup>	Бір ай қосындысы, МДж /м <sup>2</sup>
	6-7	7-8	8-9	9-10	10-11	11-12	12-13	13-14	14-15	15-16	16-17	17-18		
I	-	-	-	-	13,58	63,67	66,75	31,69	-	-	-	-	0,6325	19,6075
II	-	-	-	8,97	92,06	139,03	136,89	102,28	30,31	-	-	-	1,8343	51,3604
III	-	-	12,08	107,06	182,44	224,08	225,58	184,33	116,58	32,25	-	-	3,8931	120,6861
IV	-	-	83,89	198,36	275,06	316,25	316,53	274,64	204,69	109,22	10,94	-	6,4425	193,2750
V	-	34,81	174,17	297,89	381,44	428,00	427,44	384,00	308,61	202,03	79,97	-	9,7861	303,3691
VI	-	92,72	240,61	361,31	444,83	496,03	503,25	461,89,	381,50	261,36	134,61	30,28	12,2705	368,1060
VII	-	91,67	254,72	384,61	479,69	540,81	541,25	499,44	413,69	297,64	156,94	46,42	13,3448	413,6888
VIII	-	75,58	234,56	380,00	474,81	535,50	546,44	499,22	410,67	283,42	136,11	16,97	12,9358	401,0098
IX	-	17,86	166,17	315,64	416,69	469,06	480,83	437,56	347,31	212,36	65,69	-	10,5450	316,3500
X	-	-	6,11	133,25	238,78	290,06	296,61	257,28	172,06	69,83	11,36	-	5,3112	164,6472
XI	-	-	-	8,39	126,97	174,28	174,31	131,89	59,81	1,03	-	-	2,4360	73,0800
XII	-	-	-	-	4,83	44,67	50,72	6,69	-	-	-	-	0,3849	11,9319

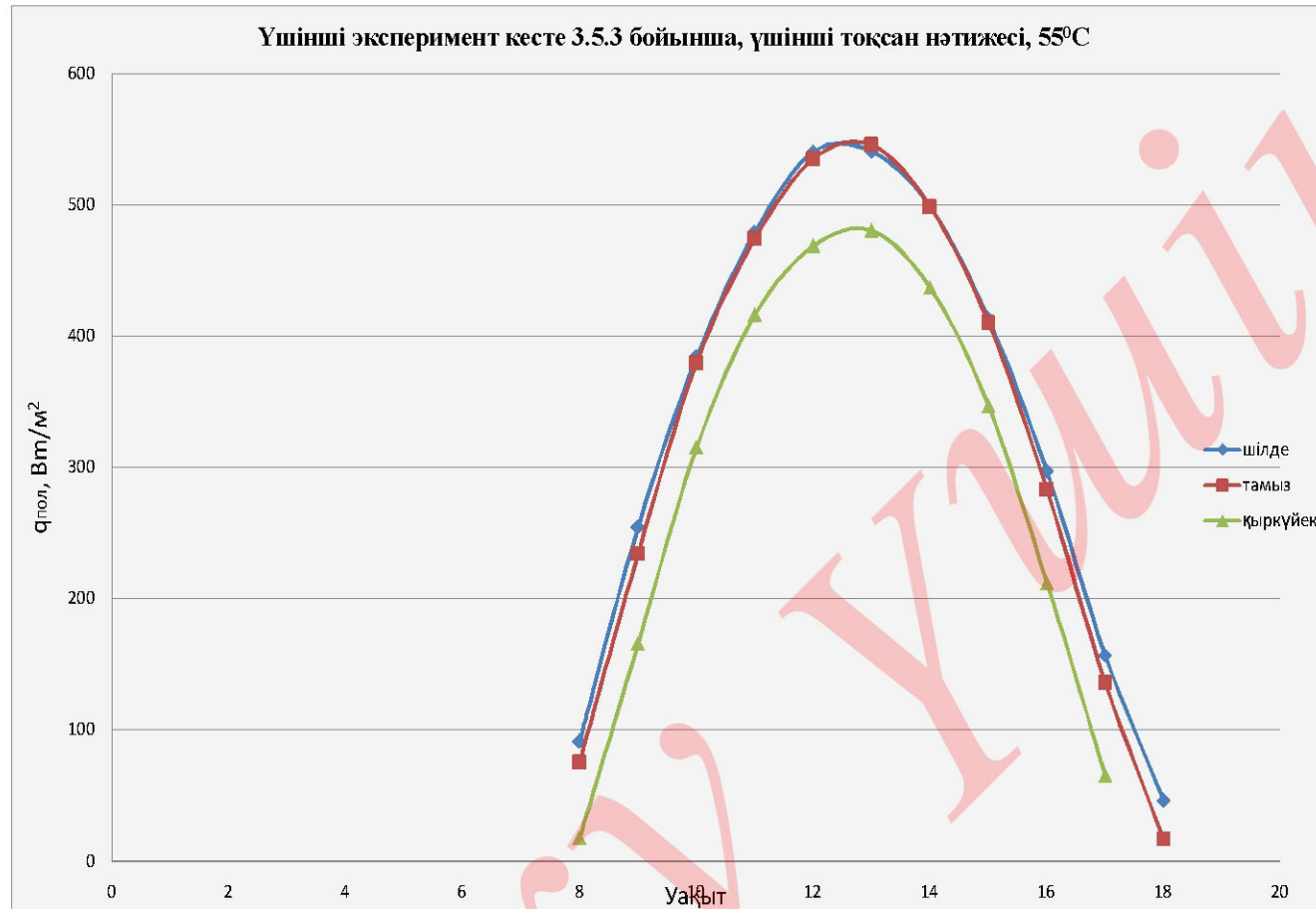
Бір жыл қосындысы: 2437,1118











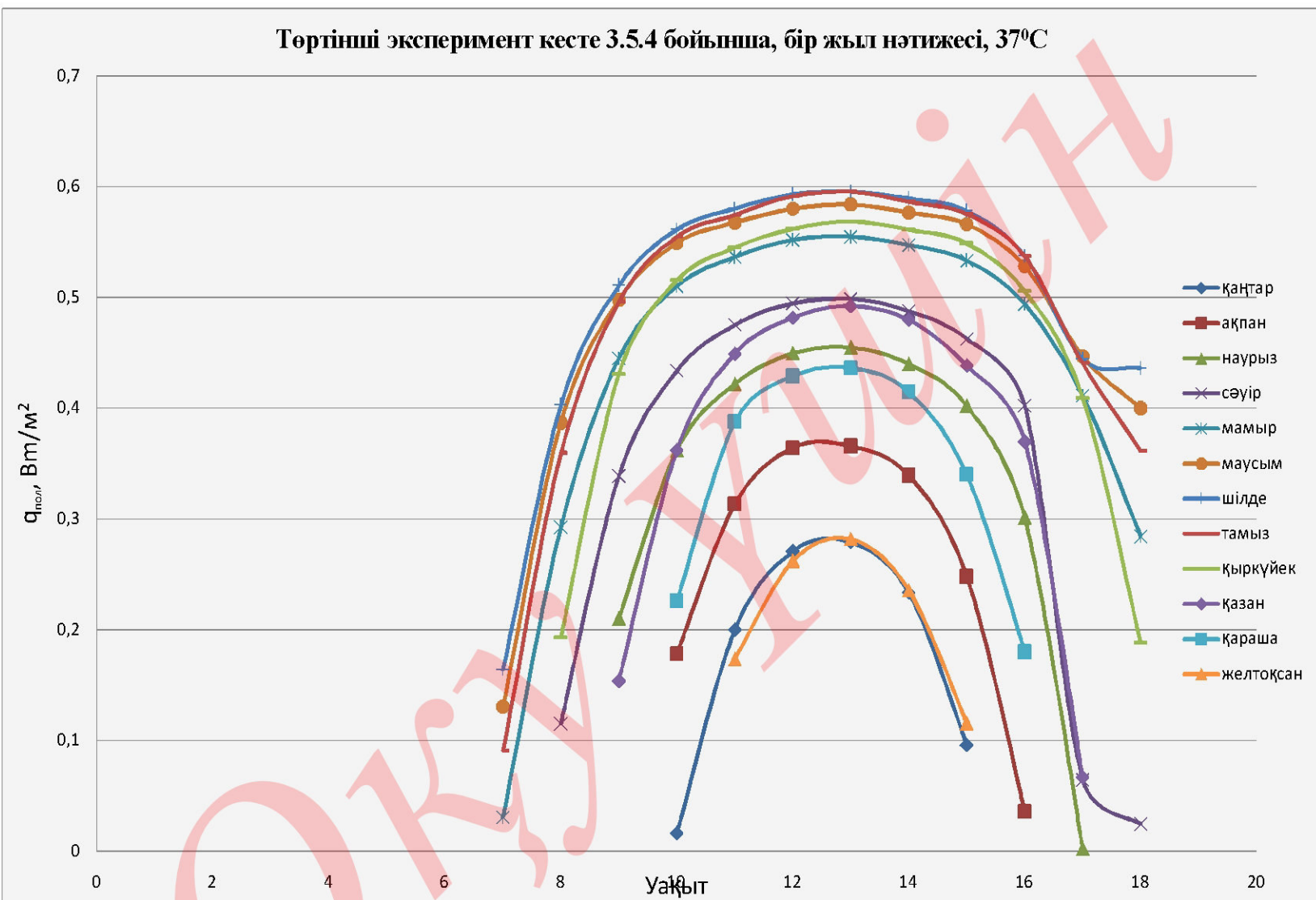
## Төртінші эксперимент 3.5.4

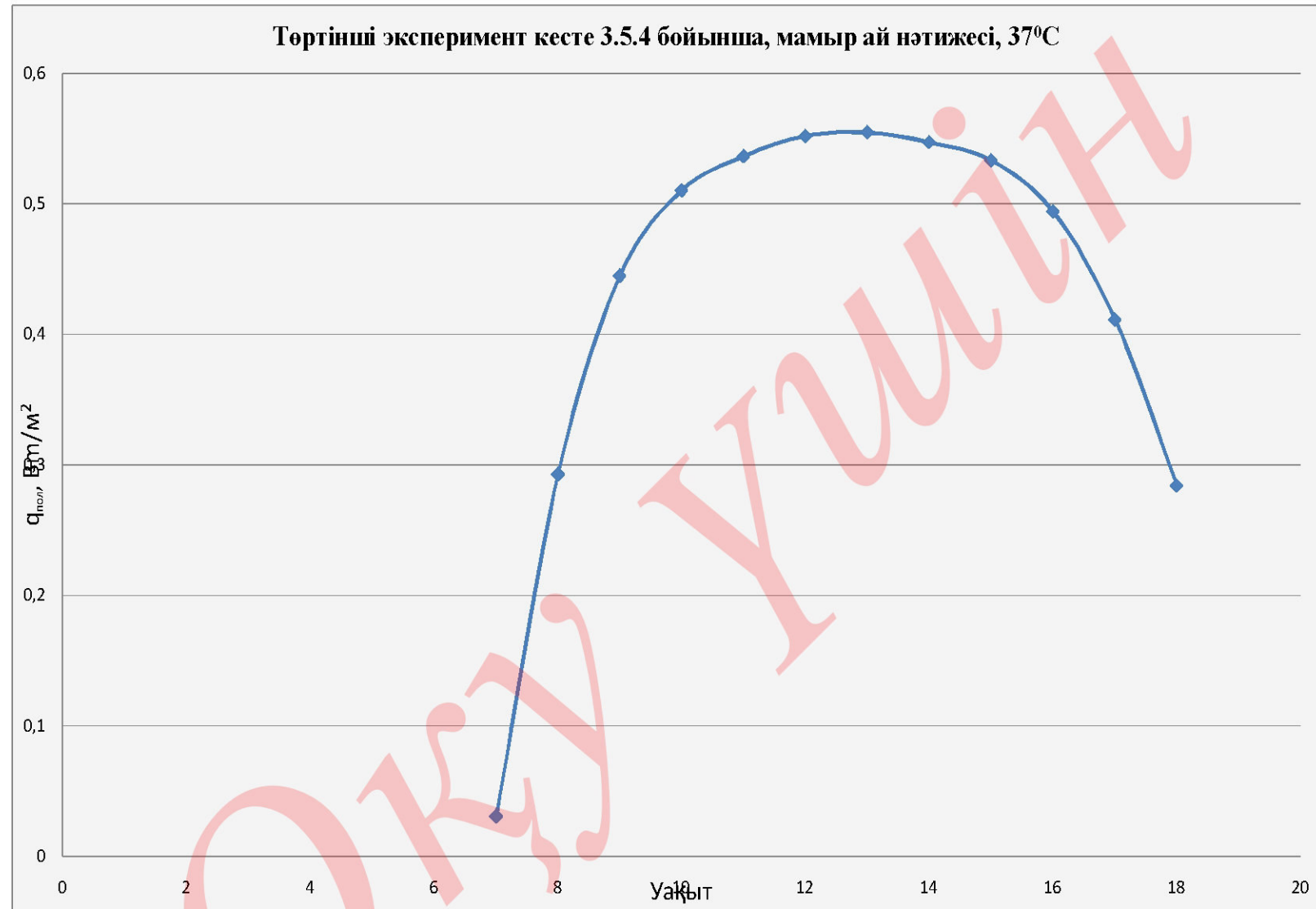
Жылы су температурасының  $t_{f\text{выход}} = 37^\circ\text{C}$ , бес контурлы ЖСЖЖ-де ( $\eta_{\text{гвс}}=0,9$ ), ЖКСК жылу тиімділігінің орта айлық күндізгі қадамдарының орташа тәулік мәні ( $q_{\text{пол}}, \text{Вт}/\text{м}^2$ )

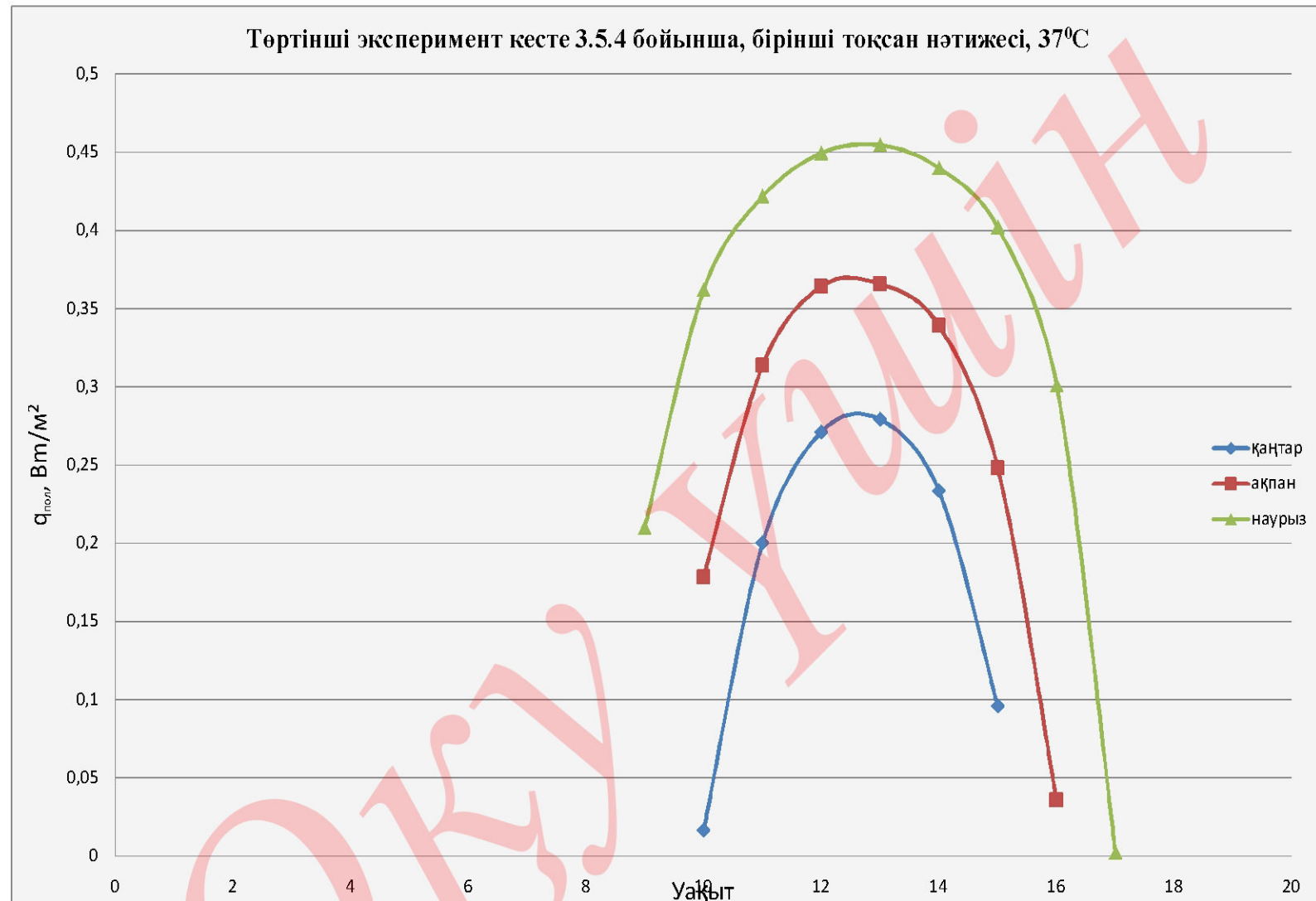
Ай	Жарық күн уақыт интервалы, сағат												Орта тәулік (бір ай)
	6-1	7-8	8-9	9-10	10-11	11-12	12-13	13-14	14-15	15-16	16-17	17-18	
I	-	-	-	0,0169	0,2005	0,2713	0,2794	0,2338	0,0962	-	-	-	0,1715
II	-	-	-	0,1787	0,3139	0,3645	0,3661	0,3395	0,2484	0,0363	-	-	0,2555
III	-	-	0,2103	0,3622	0,4220	0,4496	0,4549	0,4402	0,4023	0,3012	0,002 S	-	0,3614
IV	-	0,1155	0,3392	0,4340	0,4754	0,4949	0,4988	0,4880	0,4628	0,4025	0,2648	0,0025	0,4172
V	0,0311	0,2930	0,4452	0,5104	0,5367	0,5522	0,5549	0,5475	0,5336	0,4942	0,4116	0,2844	0,4925
VI	0,1309	0,3872	0,4981	0,5494	0,5679	0,5803	0,5842	0,5769	0,5663	0,5286	0,4471	0,4002	0,5302
VII	0,1644	0,4033	0,5112	0,5615	0,5805	0,5932	0,5956	0,5897	0,5784	0,5376	0,4447	0,4364	0,5647
VIII	0,0908	0,3598	0,4962	0,5550	0,5749	0,5919	0,5957	0,5869	0,5782	0,5352	0,4406	0,3617	0,5392
IX	-	0,1932	0,4312	0,5155	0,5452	0,5623	0,5688	0,5616	0,5490	0,5058	0,4095	0,1886	0,5062
X	-	-	0,1540	0,3623	0,4492	0,4819	0,4923	0,4799	0,4386	0,3701	0,0671	-	0,3968
XI	-	-	-	0,2265	0,3880	0,4292	0,4367	0,4147	0,3403	0,1804	-	-	0,3326
XII	-	-	-	-	0,1739	0,2623	0,2821	0,2360	0,1157	-	-	-	0,1693

Бір жыл қосындысы: 0,4412

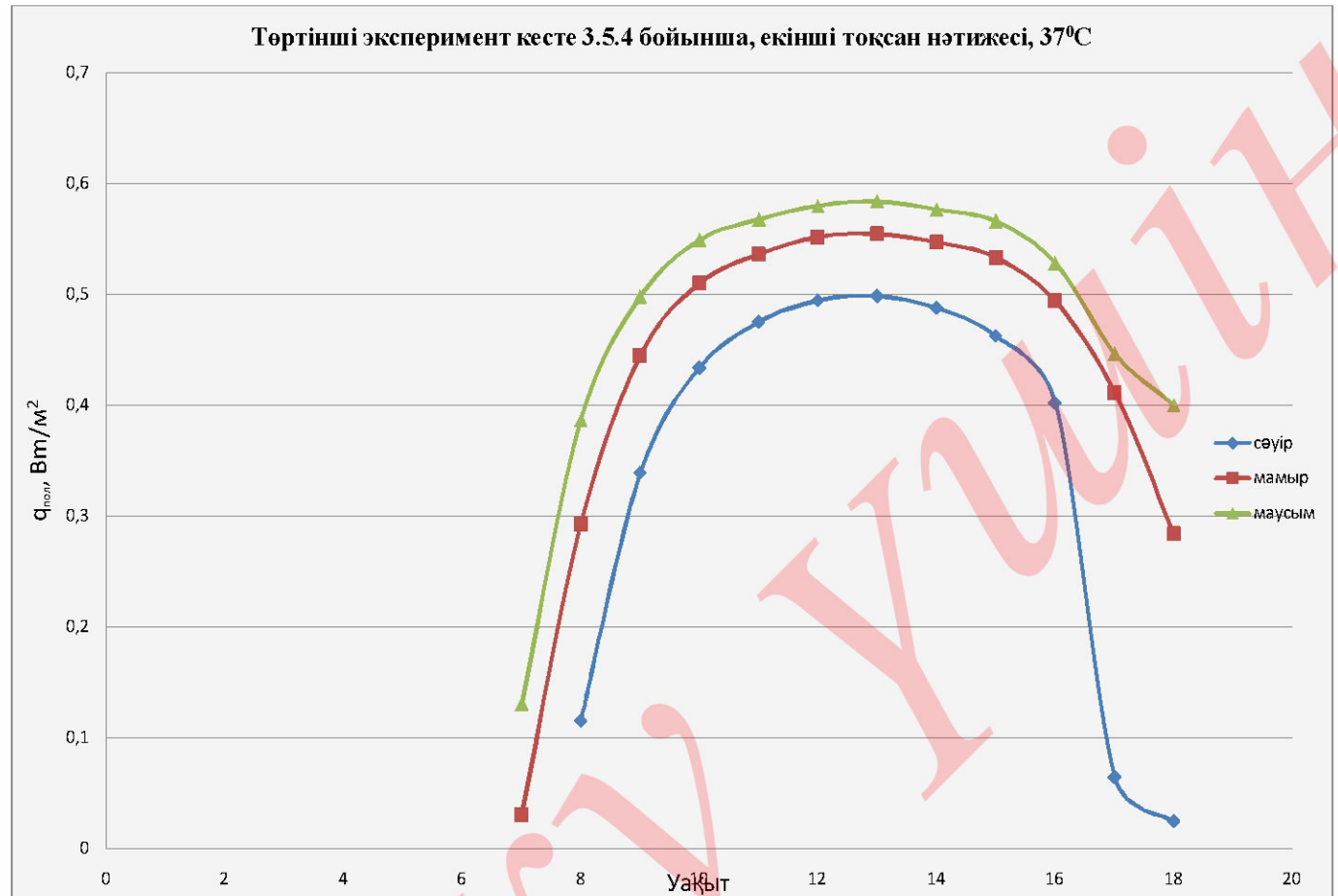
Төртінші эксперимент кесте 3.5.4 бойынша, бір жыл нәтижесі, 37<sup>0</sup>C



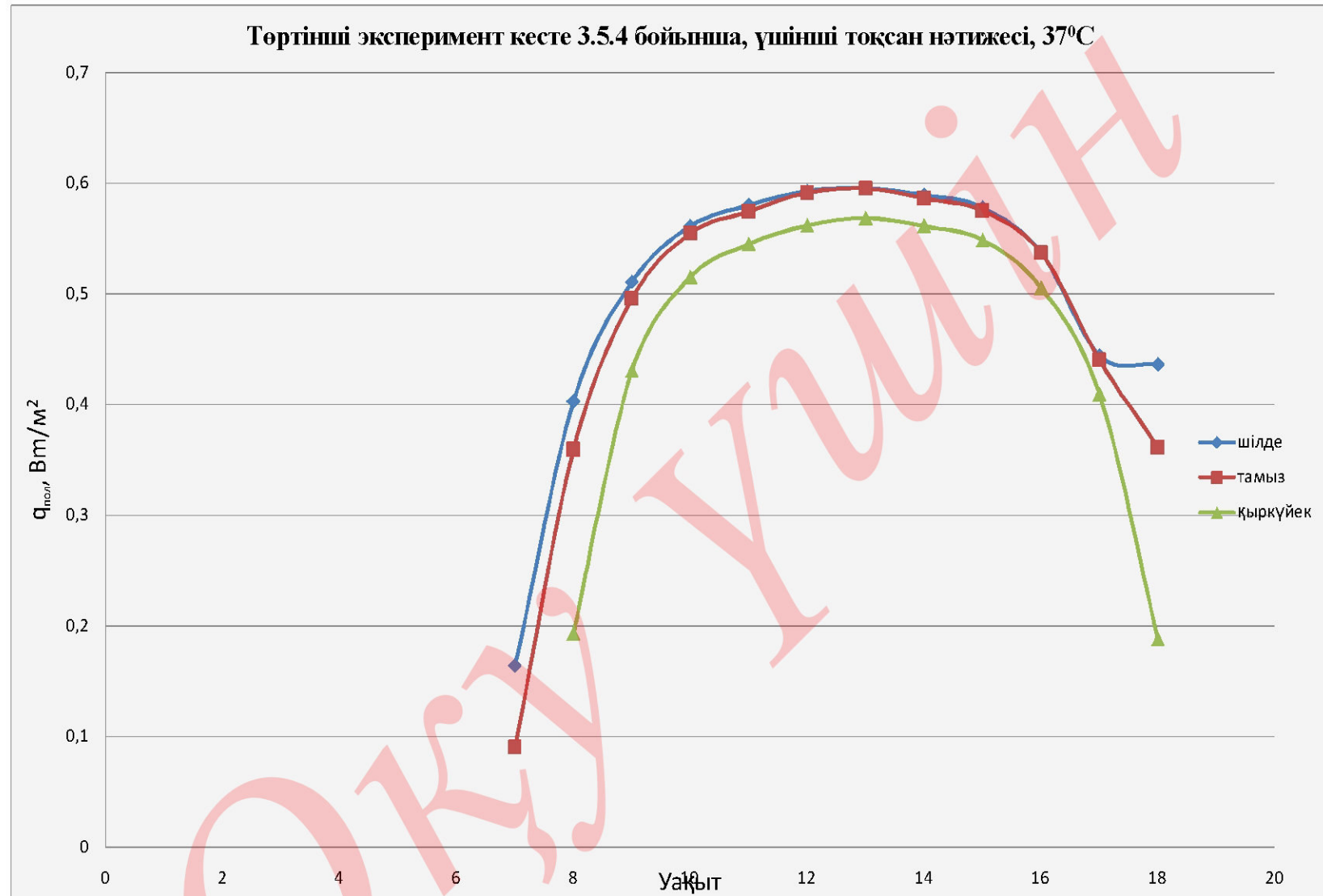


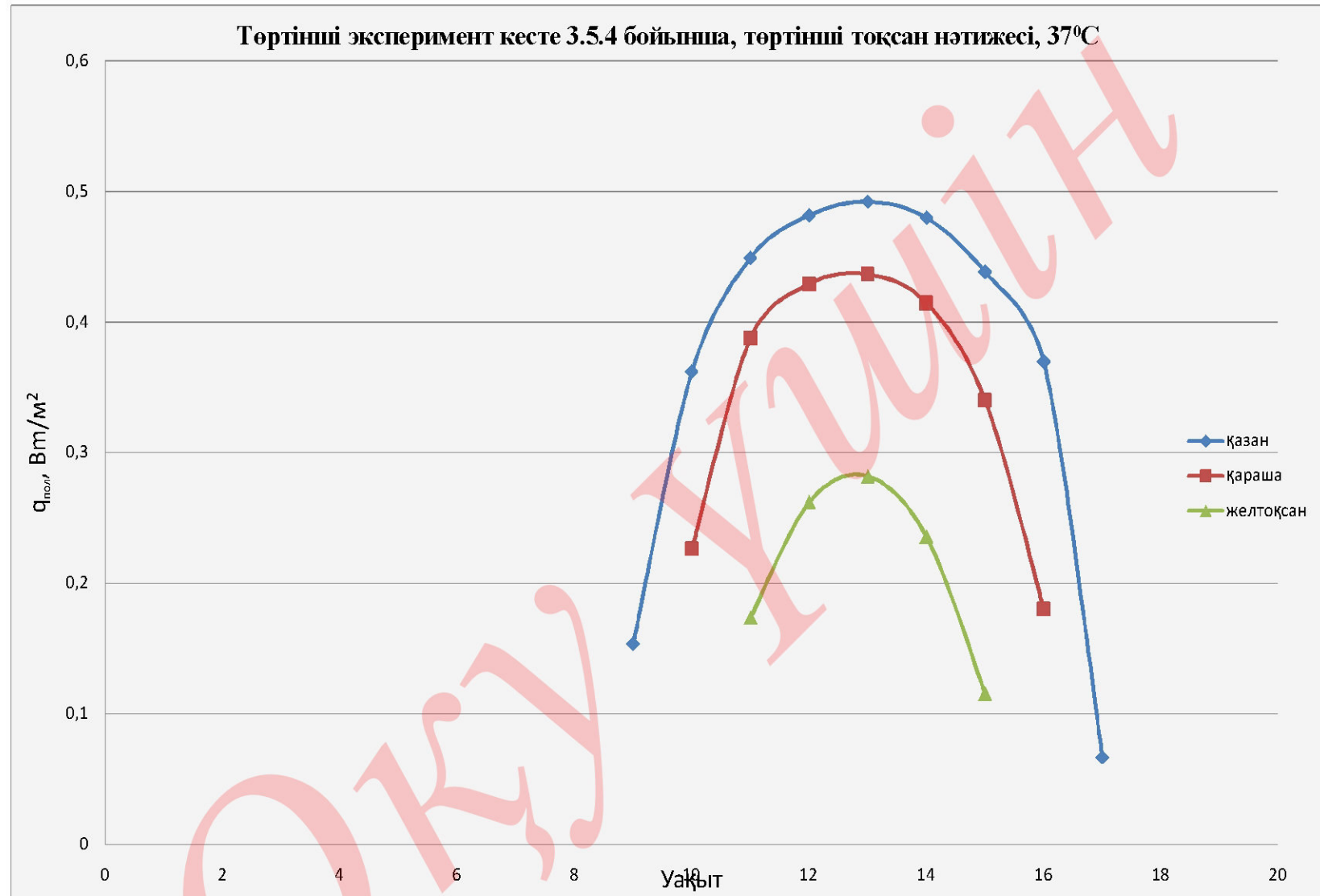


Z



ZZ



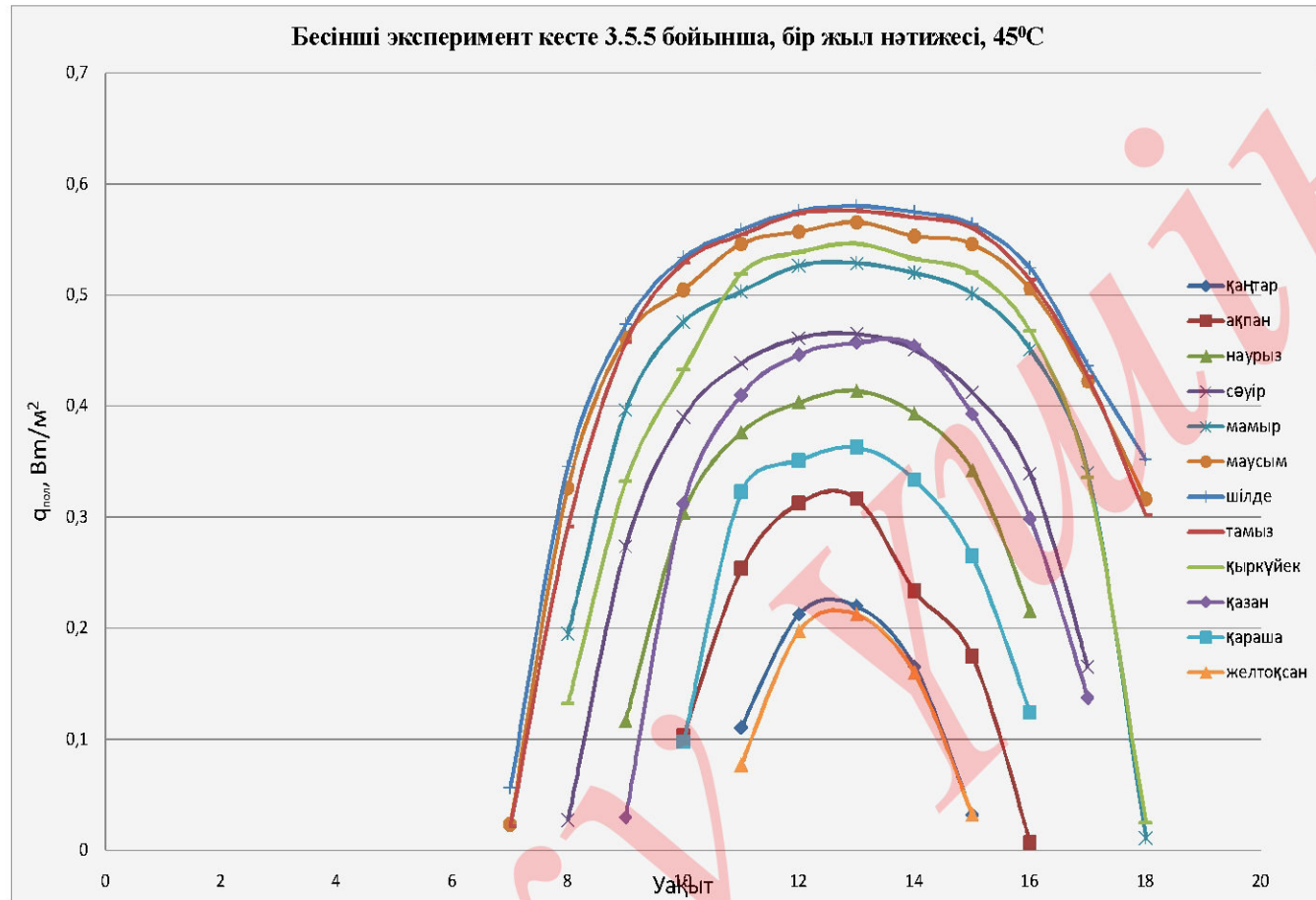


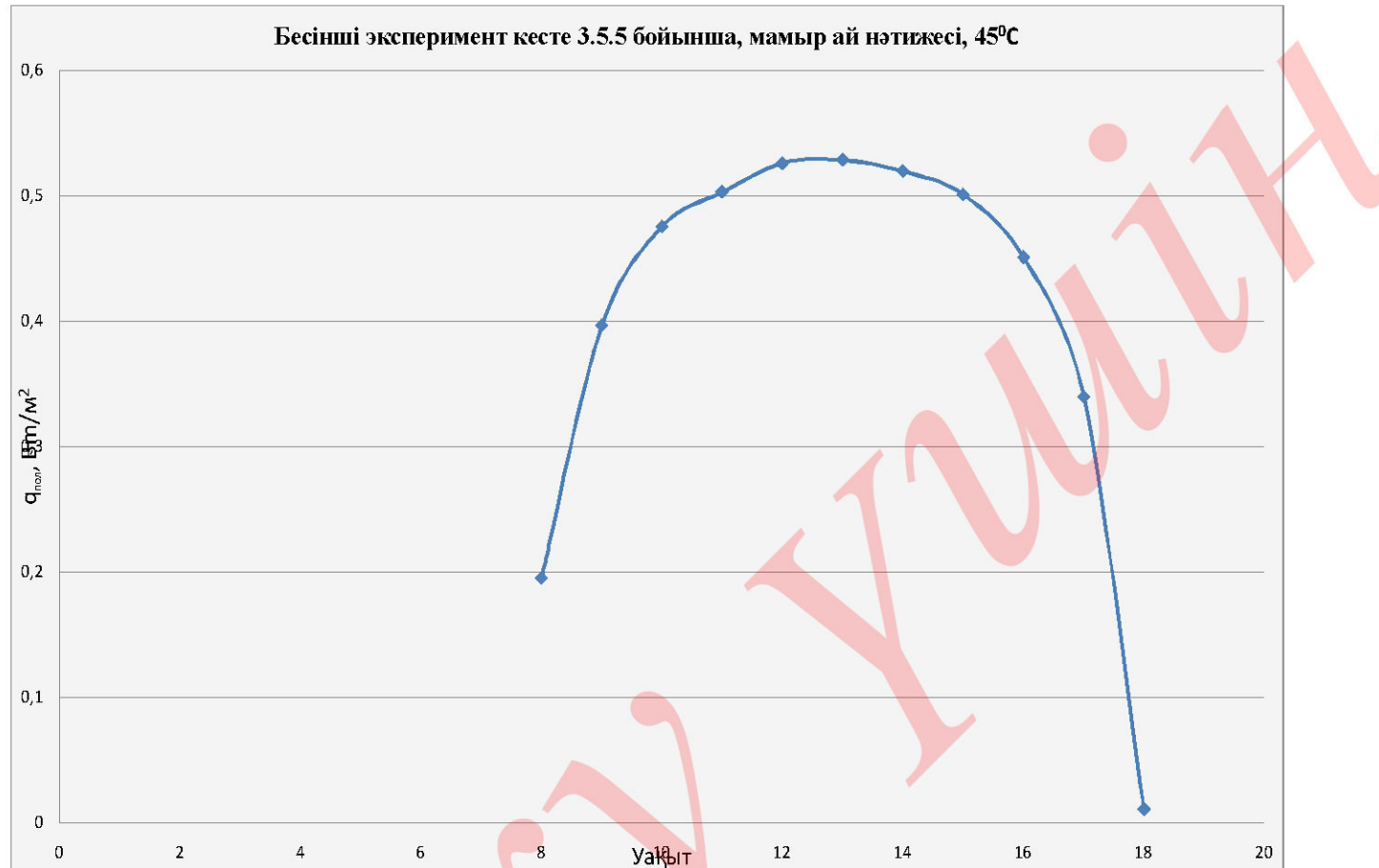
## Бесінші эксперимент 3.5.5

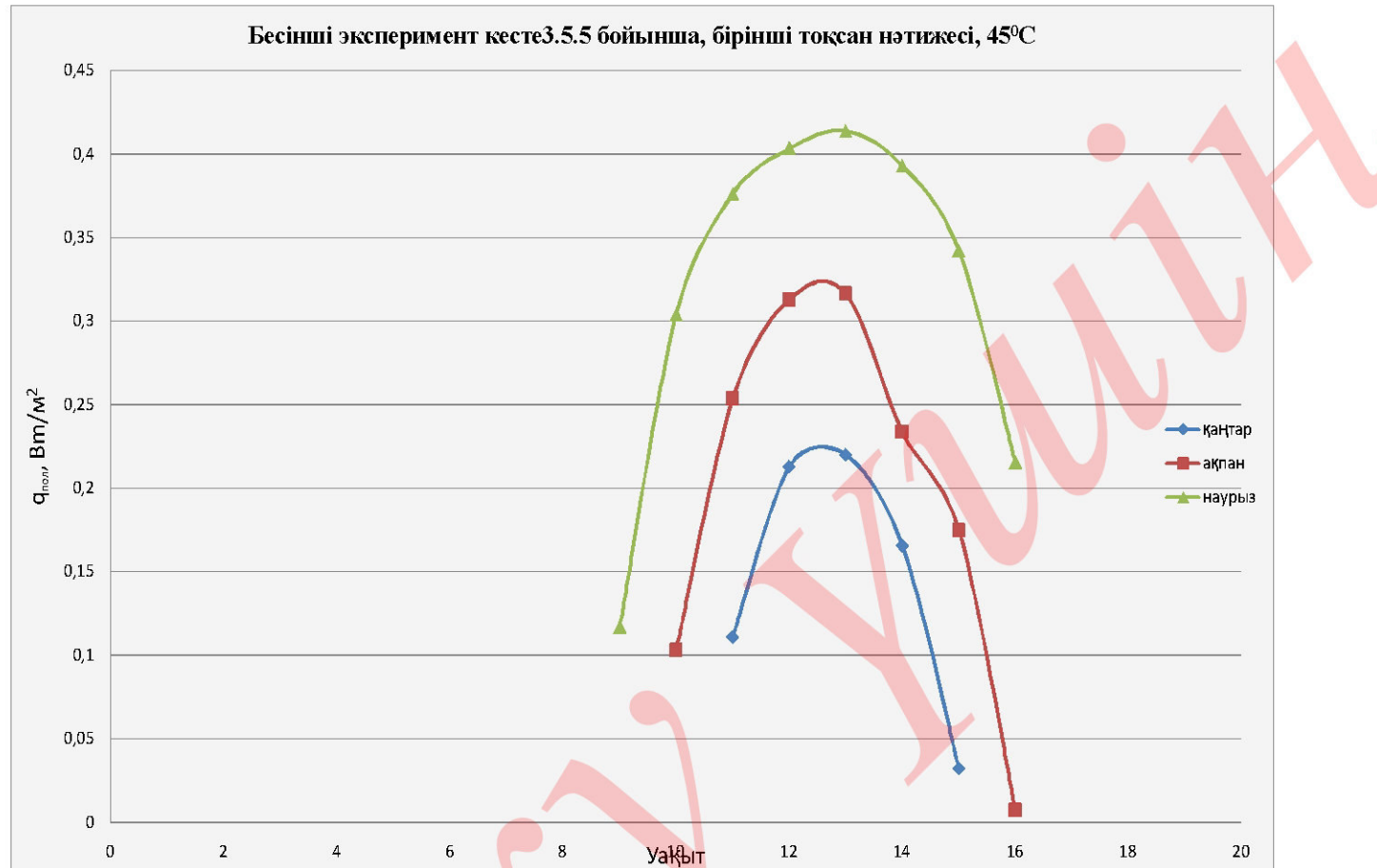
Жылы су температурасының  $t_{f\text{выход}} = 45^{\circ}\text{C}$ , бес контурлы ЖСЖЖ ( $\eta_{\text{гвс}} = 0,9$ ), ЖКСК жылу тиімділігінің орта айлық күндізгі қадамдарының орташа тәулік мәні ( $q_{\text{пол}}, \text{Вт}/\text{м}^2$ )

Ай	Жарық күн уақыт интервалы, сағат												Орта тәулік (бір ай)
	6-7	7-3	3-9	9-10	10-11	11-12	12-13	13-14	14-15	15-16	16-17	17-13	
I	-	-	-	-	0,1110	0,2129	0,2203	0,1657	0,0323	-	-	-	0,1191
II	-	-	-	0,1032	0,2539	0,3131	0,3167	0,2339	0,1752	0,0074	-	-	0,2064
III	-	-	0,1171	0,3043	0,3764	0,4036	0,4141	0,3934	0,3424	0,2156	-	-	0,3120
IV	-	0,0276	0,2739	0,3905	0,4390	0,4617	0,4655	0,4513	0,4131	0,3400	0,1656	-	0,3726
V	-	0,1954	0,3971	0,4760	0,5035	0,5266	0,5291	0,5202	0,5015	0,4515	0,3403	0,0112	0,4491
VI	0,0237	0,3267	0,4617	0,5050	0,5463	0,5573	0,5660	0,5534	0,5463	0,5061	0,4229	0,3166	0,4999
VII	0,0567	0,3454	0,4739	0,5337	0,5592	0,5763	0,5306	0,5753	0,5643	0,5244	0,4363	0,3520	0,5402
VIII	0,0220	0,2914	0,4574	0,5294	0,5547	0,5740	0,5760	0,5705	0,5607	0,5136	0,4263	0,3019	0,5151
IX	-	0,1323	0,3324	0,4326	0,5195	0,5390	0,5466	0,5330	0,5204	0,4677	0,3356	0,0251	0,4729
X	-	-	0,0301	0,3123	0,4102	0,4467	0,4573	0,4450	0,3932	0,2993	0,1375	-	0,3574
XI	-	-	-	0,0979	0,3333	0,3312	0,3331	0,3537	0,2650	0,1242	-	-	0,2736
XII	-	-	-	-	0,0771	0,1976	0,2127	0,1599	0,0326	-	-	-	0,1105

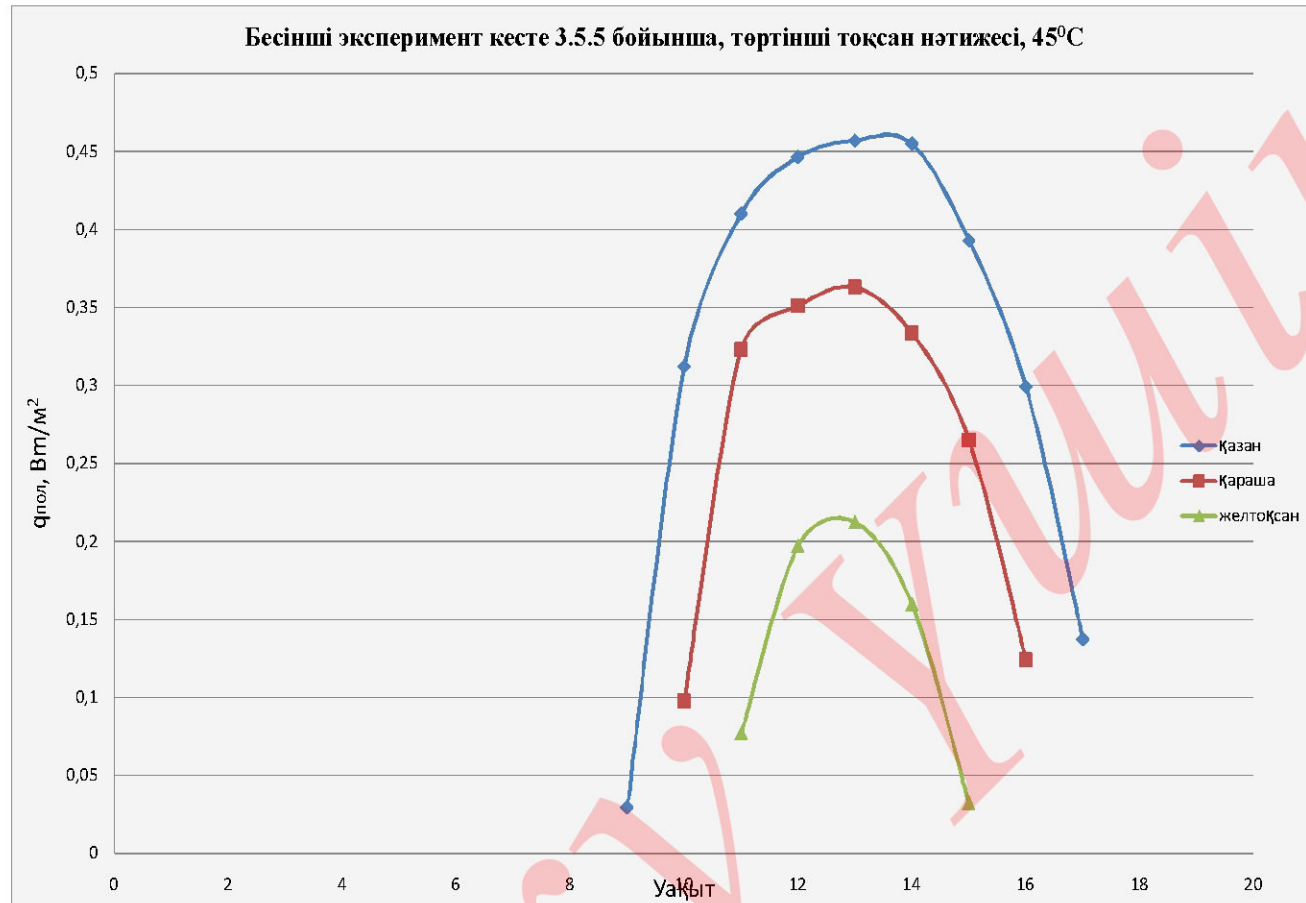
Бір жыл қосындысы: 0,4030







ЯЯ

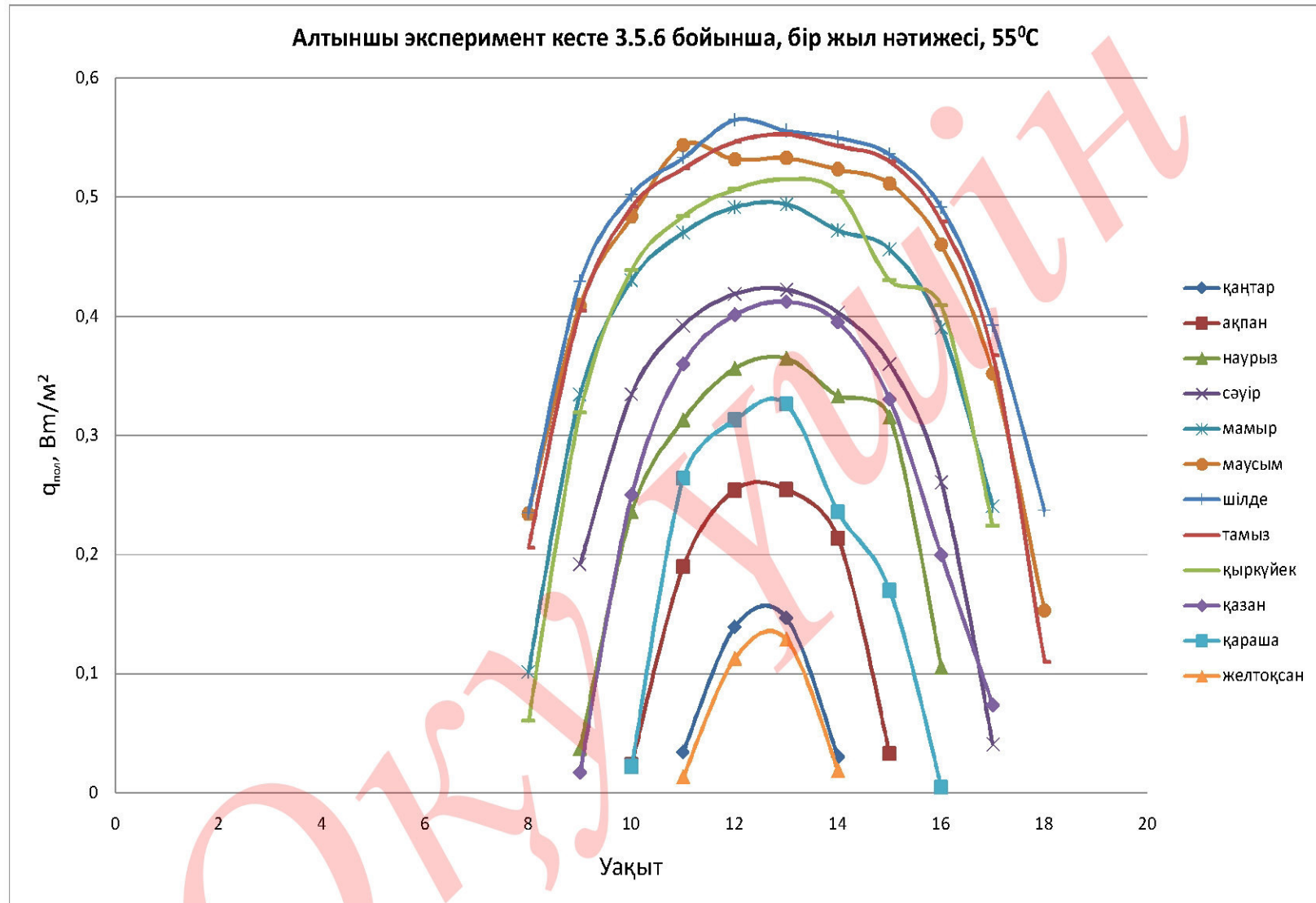


## Алтыншы эксперимент 3.5.6

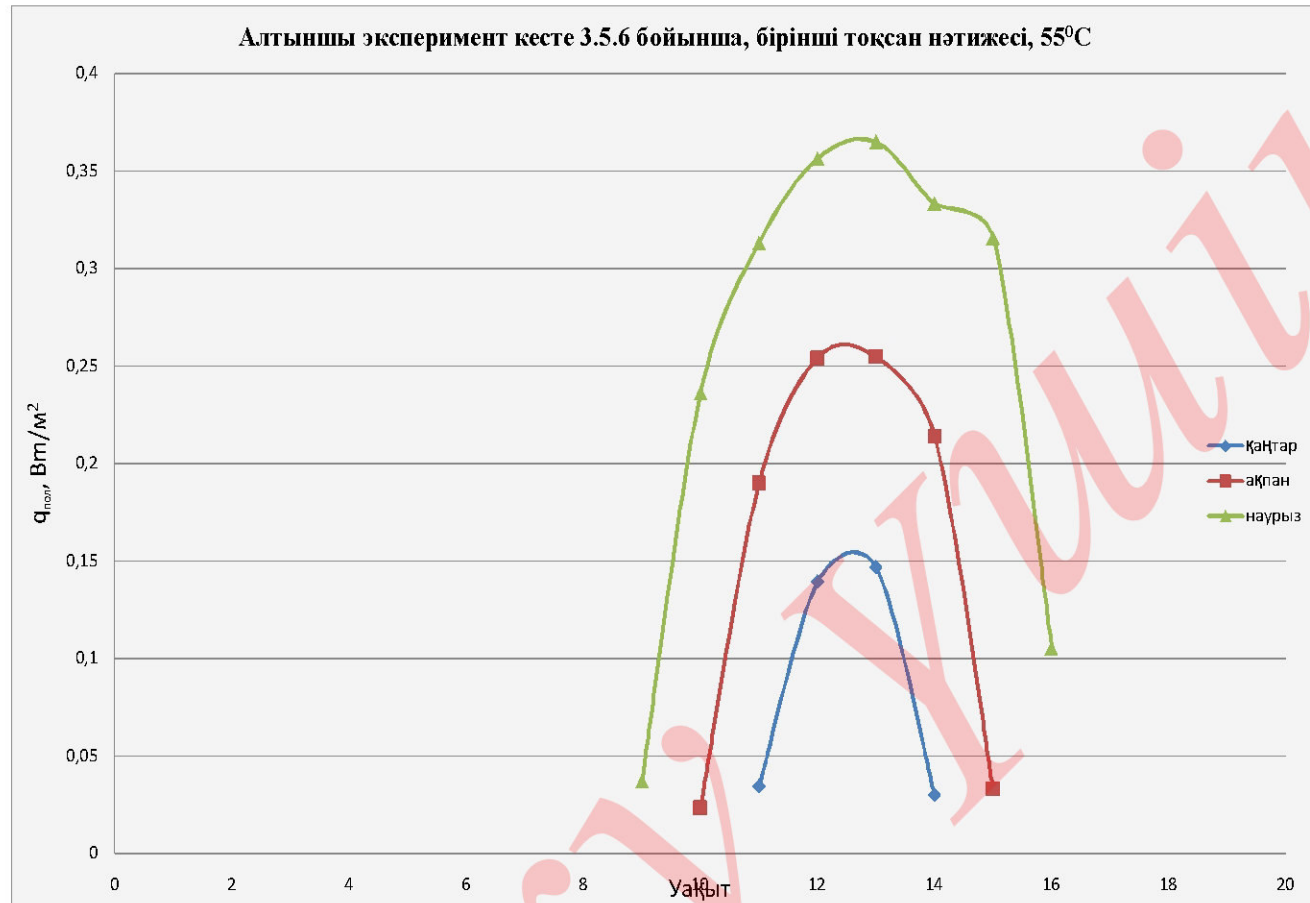
Жылы су температурасының  $t_{f\text{выход}} = 55^{\circ}\text{C}$ , бес контурлы ЖСЖЖ-де ( $\eta_{\text{твс}}=0,9$ ), ЖКСК жылу тиімділігінің орта айлық күндізгі қадамдарының орташа тәулік мәні ( $q_{\text{пол}}, \text{Вт}/\text{м}^2$ )

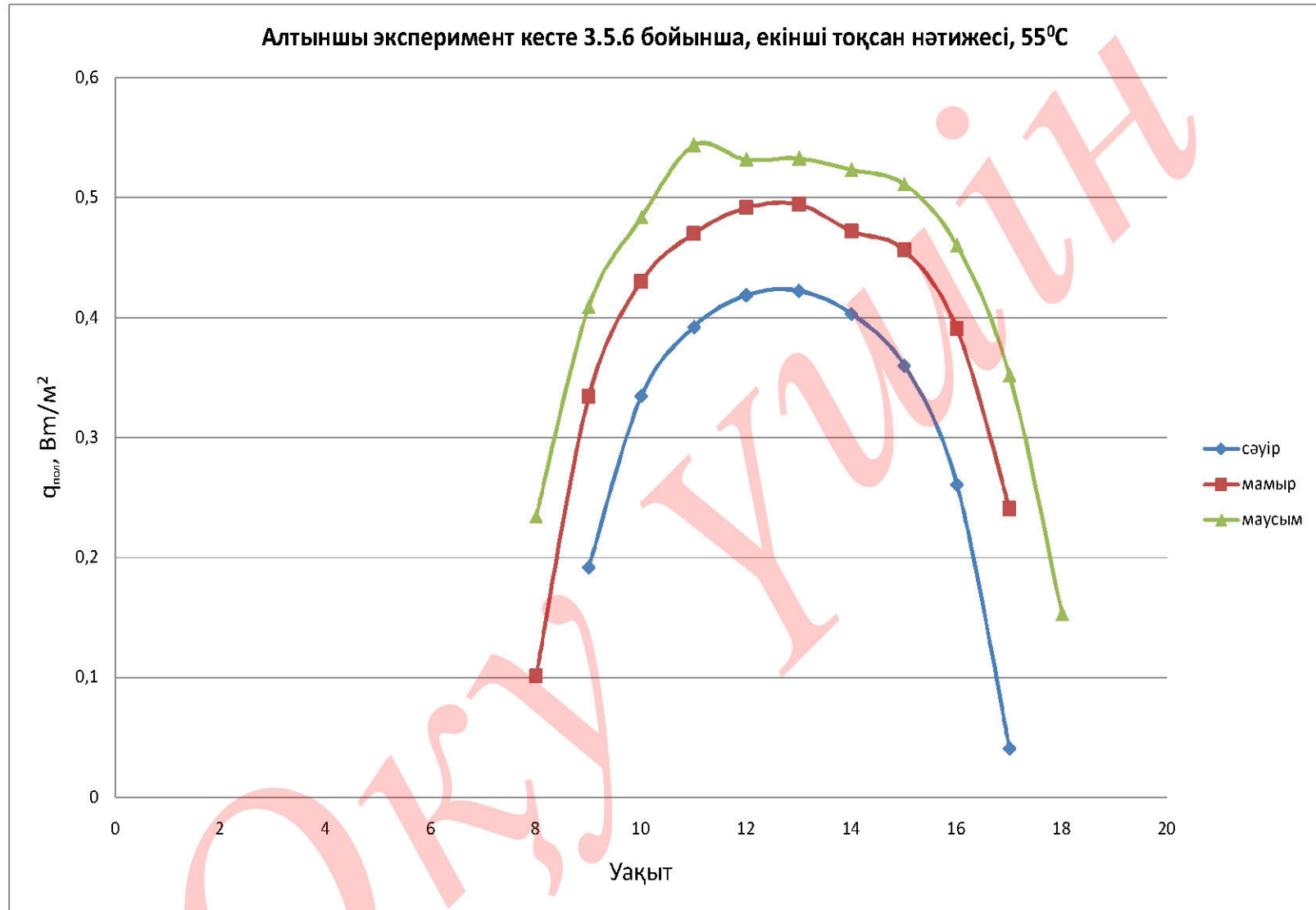
Ай	Жарық күн уақыт интервалы, сағат												Орта тәулік (бір ай)
	6-7	7-3	3-9	9-10	10-11	11-12	12-13	13-14	14-15	15-16	16-17	17-13	
I	-	-	-	-	0,0345	0,1395	0,1471	0,0304	-	-	-	-	0,0663
II	-	-	-	0,0237	0,1900	0,2542	0,2549	0,2141	0,0332	-	-	-	0,1433
III	-	-	0,0373	0,2362	0,3133	0,3564	0,3651	0,3333	0,3157	0,1053	-	-	0,2520
IV	-	-	0,1921	0,3349	0,3926	0,4190	0,4226	0,4033	0,3603	0,2609	0,0410	-	0,3133
V	-	0,1017	0,3347	0,4305	0,4706	0,4919	0,4945	0,4325	0,4566	0,3910	0,2410	-	0,4027
VI	-	0,2345	0,4095	0,4840	0,5140	0,5319	0,5331	0,5236	0,5116	0,4605	0,3523	0,1534	0,4590
VII	-	0,2354	0,4292	0,5023	0,5333	0,5650	0,5560	0,5501	0,5361	0,4916	0,3925	0,2373	0,5031
VIII	-	0,2057	0,4050	0,4919	0,5243	0,5469	0,5529	0,5433	0,5303	0,4797	0,3673	0,1102	0,4757
IX	-	0,0605	0,3196	0,4390	0,4843	0,5069	0,5153	0,5046	0,4306	0,4093	0,2244	-	0,4293
X	-	-	0,0173	0,2504	0,3602	0,4013	0,4124	0,3952	0,3304	0,2001	0,0740	-	0,3034
XI	-	-	-	0,0224	0,2641	0,3132	0,3264	0,2362	0,1702	0,0051	-	-	0,2075
XII	-	-	-	-	0,0136	0,1129	0,1291	0,0190	-	-	-	-	0,0466

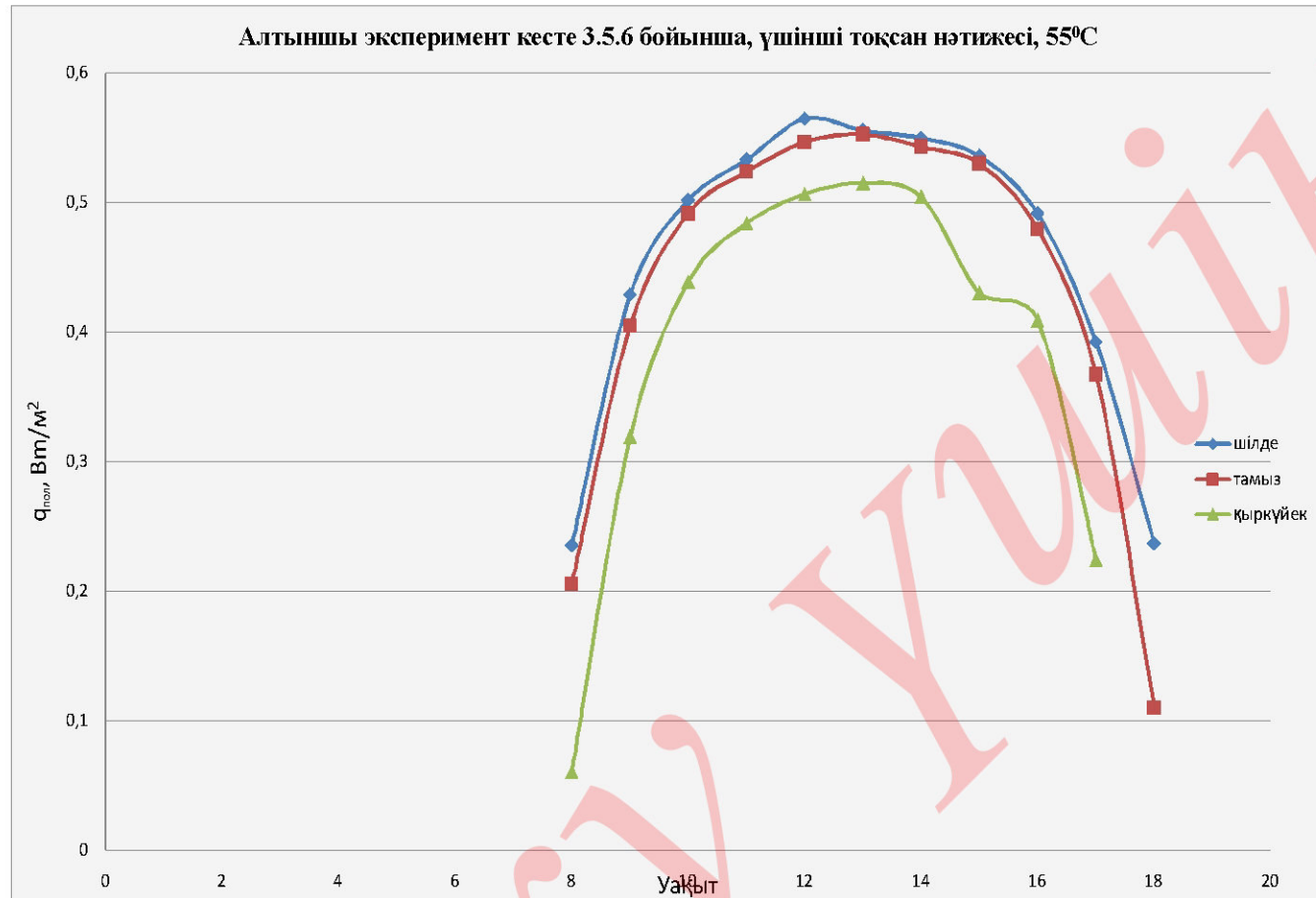
Бір жыл қосындысы: 0,3549

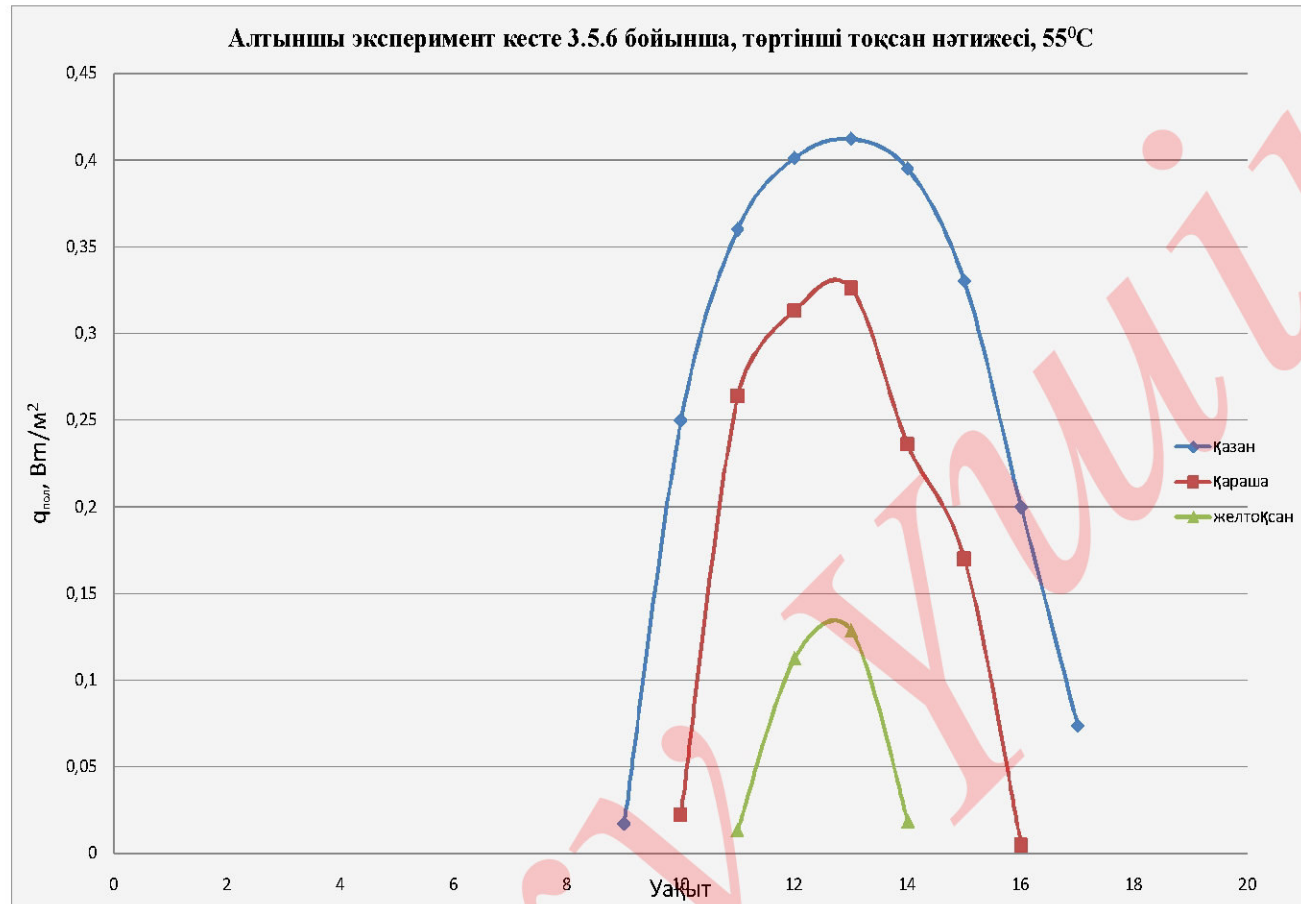












### Жетінші эксперимент 3.5.7

ЖКСК<sub>1</sub> ен оптимальды коллектор болып шықты, сондыктан осы коллектор бойынша әр түрлі температурасына оны жылу сиымдылығына эксперемент аркылы бағалап шыктык. Төмендегыдей нәтижелер алдық

p/c	Коллектор атауы	Кіріс су темпера-турасы	Шығыс су темпера-турасы	Дала темпера-турасы	Коллектор қызу уақыты								
					9 <sup>00</sup> t °c	10 <sup>00</sup> t °c	11 <sup>00</sup> t °c	12 <sup>00</sup> t °c	13 <sup>00</sup> t °c	14 <sup>00</sup> t °c	15 <sup>00</sup> t °c	16 <sup>00</sup> t °c	17 <sup>00</sup> t °c
1	ЖКСК <sub>1</sub>	17,8	39,9	27	20	30	31,6	32,2	32,6	33,1	32,6	30,6	39,9
2	ЖКСК <sub>2</sub>	17,8	30	27	20	23	25,4	26,8	27,5	28,4	27,5	25	30
3	ЖКСК <sub>3</sub>	17,8	29,8	27	20	23,3	25,5	26,9	27,7	28,5	27,7	24,8	29,8
4	ЖКСК <sub>4</sub>	17,8	34,3	27	20	26	28,3	29,8	29,8	30	29,8	26,5	34,3

Кесте 3.5.7

## ҚОРЫТЫНДЫ

1. Өлемдік тәжірибеде түрлі өндірушілермен шығарылатын, күндік сұжылыту коллекторларының құрылымдық жұмыс атқаруы қаастырылып және сәйкестендірілді.
2. Түрлі сәйкес жағдайларда күндік сұжылыту коллекторларының жылу тиімділігін сәйкестендіру олардың жылужұту панелдерінің жылутехникалық сапасы көрсеткіштерін есептеу мен сәйкетендіру арқылы анықталу мүмкін.
3. Күндік сұжылыту коллекторларының корпусының жылупышындарының сомалық коэффициенттері келтірілген ерекшелік қаастырылды.
4. алдын ала анықталған күндік сұжылыту коллекторларының жылу шығындары коэффициенттерінің есептік мәндері тәжірибелік зерттеулердің нәтижелерімен жақсы сәйкестенеді.
1. Түркістан қаласы үшін ұзақмерзімдік аптиметрлік деректерді өндөу негізінде қалыпты бейімділікте жазықтыққа  $30^\circ$  бұрышпен бұрылған, жазық күн коллекторының сәулежұту бетіне сомалық күн сәулесінің күндізгі жылдық орташа жүрісі анықталды.
2. Жазық күн коллекторына  $30^\circ$  бұрышпен онтүстікке қарай бейімделген корпустың жарықмөлдір бетінің өткізу коэффициентінің тиімділігі, сәулеңабылдау бетінің жарықтандыру уақытың басталуы мен аяқталуы мезеттерінің жылдықорташа мәнінің күндізгі барысы анықталды.
3. Күн коллекторларының жазықтыққа  $30^\circ$  бұрышпен иілуі нәтижесінде қалыпты бейімделу барысында сомалық күн сәулесінің жылдық түсін жазық бетпен салыстырғанда 10% арттыруға болатындығы анықталды.
4. Сапасы орташа бір қабатты терезе әйнегінен жазық күн коллекторларының жарықмөлдір бетінің сомалық күн сәулесінің түсін жылдық орташа мәні анықталды.
5. Сомалық күн сәулесі келуінің жылдық сомасынан 77,35% жылдың жылы мезгіліне тиесілі.
- 10 Жазық күндік жылуөндіру коллекторларының күдізгі және айлық барысын есептеу әдістемесі ұсынылды және олардың негізінде жылдық жылуөндірісі, графосараптамалық және квазистационарлық жылу есептіеу әдістері негізделді.
- 11 Жылдың айлары бойынша сомалық күн сәулесінің сәулежұтушы жылуалмасу панелінің бетімен жұтылған өсу қарқынының күндізгі барысы анықталады.
- 12 Жылдың айлары бойынша ыстық судан алынатын, температураға сәйкес коллектор жұмысының белсенді кезеңінің ұзақтығының мәні анықталады.
- 13 Коллектордың жылуөндірісінің күндік және айлық барысы мен олардың негізінде ыстық судан алынатын, температураға байланысты коллектордың жылдық жылуөндірісі анықталады.
- 14 Қолданылу тәртібіне байланысты ыстық сумен қамтамасыз ету жүйелеріндегі жазық күн коллекторларының жылу тиімділігін бағалау орындалады.

## ПАЙДАЛАНЫЛГАН ӘДЕБИЕТТЕР ТІЗІМІ

1. Аvezov P.P., Zakhidov R.A. Возобновляемые источники энергии - энергетический резерв Узбекистана// Горный журнал. Спецвыпуск. -М: 2004, -72-74 б.
2. Возобновляемые источники энергии./ В книги Первое национальное сообщение Республики Узбекистан по Рамочной конвенции ООН об изменении климата. Фаза 2. Главное управление по гидрометеорологии при КМ Республики Узбекистан. Ташкент, 2001, - 34-36 б.
3. Аvezова Н.Р. Исследование абсорбционных солнечных коллекторов с емкими приемниками полуцилиндрической формы. Диссертация на соискание ученой степени к.т.н. Ташкент, 2003, -172 б.
4. Аvezов P.P., Орлов А.Ю. Солнечные системы отопления и горячего водоснабжения. Ташкент , Фан, 1988, -288 б.
5. Даффи Дж.А., Бекман У.А. Тепловые процессы и использованием солнечной энергии. М: Мир, 1977. 420 б.
6. Аvezов P.P., и др. Солнечные системы отопления и теплохладоснабжения. Под ред. Сарнацкого Э.В. М.: Стройиздат. 1990, -328 б.
7. Харченко Н.В. Индивидуальные солнечные установки. М.: Энергоатомиздат. 1991.-208 б.
8. Аvezов P.P., Каҳаров Н.А., Қабарити М. и др. Обобщенная методика расчета эффективности теплоприемника солнечных коллекторов. // Гелиотехника. 1987. № 1 28-33 б.
10. Аvezов P.P., Дибиров М.Г., Ҳожиев К.Б. и др. Теплотехнические характеристики стального штампованныго радиатора РСГ-1 при использовании его в качестве теплоприемника солнечных водонагревателей. // Гелиотехника. 1983. № 2 46 -48 б.
11. Петухов Б.В. Метод расчета солнечных водонагревателей. В сб. №1 «Использование солнечной энергии» М.: Изд. АН СССР, С.177-192.
12. Рустамов Н.Т., Мустафаев К.М. «Использование альтернативных источников энергии в системе горячего водоснабжения в теплый период года». Х.А.Яссави атындағы ХКТУ хабаршысы №1, 2014, 91, 96 б.
13. Рустамов Н.Т., Мустафаев К.М. «Тепловая эффективность солнечных коллекторов для нагрева жидкого теплоносителя». Х.А.Яссави атындағы ХКТУ хабаршысы №3, 2014, 23-27 б.
14. Даффи Д.А., Бекман У.А. Тепловые процессы с использованием солнечной энергии. М.: Мир, 1977, 420с.
15. Аvezов P.P., Орлов А.Ю. Солнечные системы отопления и горячего водоснабжения. Ташкент. ФАН, 1988, 288с.
16. Исаченко В.П., Осипова В.А., Сукомел А.С. Теплопередача. М.: Энергия, 1975, 488с.

17. Владимира Л.Н., Гарф Б.А. Исследование изменения технических характеристик солнечной установки типа «горячего ящика» при использовании селективных поверхностей. Доклады Всесоюзной конференции по использованию солнечной энергии. Секция С-4. Тепловые солнечные установки. Ереван. 1969, С.153-168.
18. Аvezov P.R., Avetsova N.P., Samiev K.A. Коэффициент пропускания светопрозрачной изоляции плоских гелиоустановок диффузной солнечной радиации// Гелиотехника. 2007.№1. С.11-13
19. Аvezов P.R., Avetsova N.P., Lutpuhlalay S.L., Samiev K.A., Fajzulalaev B.S. Тепловая мощность внутреннего источника в светопрозрачных покрытиях плоских солнечных коллекторов// Гелиотехника. 2007.№3. С.18-24.
20. Аvezов P.R., Avetsova N.P., Samiev K.A. Температурное поле и тепловые потоки через светопрозрачные покрытия корпуса плоских солнечных коллекторов // Гелиотехника. 2008.№1. С.18-23.
21. Аvezов P.R., Avetsova N.P., Samiev K.A. Влияние многократного внутреннего отражения проходящего солнечного излучения между границами раздела на температурный режим светопрозрачных покрытий корпуса плоских солнечных коллекторов // Гелиотехника. 2008.№2. С.21-27.
22. Холландс, Юни, Рейтби, Коничек. Перенос тепла свободной конвекцией через наклонные воздушные слои// Труды американского общества инженеров-механиков. Сер.С. Теплопередача. 1976. Т.98. №2. С.43-49.
23. Аvezов P.R., Dysskin V.G., Avetsova N.P. Тепловая оптимизация толщины замкнутой воздушной прослойки системы «лучепоглощающая теплообменная панель-светопрозрачное покрытие» плоских солнечных коллекторов// Гелиотехника. 2007.№4. С.14-20.
24. Бачберг, Кэттон, Эдвардс. Естественная конвекция в замкнутом пространстве. Обзор применения для создания коллекторов солнечной энергии// Труды американского общества инженеров-механиков. Сер.С. Теплопередача. 1976. Т.98. №2. С.43-49.
25. Дропкин, Сомерклейз. Теплопередача путем естественной конвекции в жидкостях, ограниченных двумя параллельными плоскими поверхностями, которые располагаются наклонно к горизонту// Труды американского общества инженеров-механиков. Сер.С. Теплопередача. 1965. Т.87. №1. С.94-101.
26. Харченко Н.В. Индивидуальные солнечные установки. – М., Энергоатомиздат, 1991.
27. Viessmann. Инструкция по проектированию.
28. ВСН-52-86 Ведомственные строительные нормы. Установки солнечного горячего водоснабжения. Нормы проектирования. Госгражданстрой, Москва 1988.
29. PhotovoltaicGeographicalInformationSystem
30. Теоретические основы теплотехники. Теплотехнический эксперимент. Справочник под ред. А.В.Клименко, В.М.Зорина Издательство МЭИ Москва 2001г

31. BP Statistical Review of World Energy June 2010, 1–45p
32. Federal Ministry for the Environment, Nature Conservation and Nuclear Safety «Renewable energy sources 2010». March 2012.
33. Казанджан Б. И. Патент на изобретение № 2329437 «Солнечный коллектор (варианты) и способ изготовления оболочки солнечного коллектора».
34. Казанджан Б. И. Патент на изобретение № 2407957 «Солнечный коллектор».
35. Патент на изобретение № 2387931 «Многофункциональный солнечный коллектор».
36. Патент на изобретение № 2388974 «Солнечный коллектор»
37. Лаврус В.С. Источники энергии / Серия "Информационное Издание", Выпуск 3 "Наука и Техника", 1997
38. Сайт «Новые технологии»: <http://www.sphelar.ru>
39. Сайт «СОЛНЕЧНАЯ ЭНЕРГИЯ»: <http://www.ecomuseum.kz>
40. А. И. Капалов Рекомендации по применению жидкостных солнечных коллекторов. ВИНИТИ, 1988
41. Гелиотехника. Академия Наук Узбекской АССР, 1966
42. Солнечный душ\Наука и жизнь, издательство Правда. 1986 №1, стр 131
43. Г. В. Казаков Принципы совершенствования гелиоархитектуры. Свит, 1990
44. Р.Р. Авезов, М.А. Барский-Зорин и др. Системы солнечного тепло- и хладоснабжения. Москва, Стройиздат, 1990. Изложены особенности проектирования и расчета систем солнечного теплоснабжения с дублирующими источниками тепловой энергии.
45. Харченко Н.В. Индивидуальные солнечные установки. Москва, Атомиздат, 1991
46. Д. Холлоуэй. Пассивный солнечный дом: проектирование. Пер. с англ. О. Б. Меньшенин.
47. П.Р. Сабади. Солнечный дом: руководство. Перевод с англ. Н.Б. Гладковой
48. Н.Р.Авезова; Р.Р.Авезов; Н.Т.Рустамов; Ш.К.Ниязов, Эффективная поглощательная способность зачерненной теплообменной панели солнечных коллекторов. Труды международной конференции, посвященный 70 летию физико-технического института академии наук Республики Узбекистан. Фундаментальные и прикладные вопросы физики. Ташкент, 23-23 октябрь, 2013 г.
49. Н.Р.Авезова, Р.Р.Авезов, Н.Т.Рустамов, А.Вахидов, Ш.И.Сулейманов, Ресурсные показатели плоских солнечных водонагревательных коллекторов в системах горячего водоснабжения. Часть 4. Удельная теплопроизводительность и тепловая эффективность коллектора//Гелиотехника. 2013-№4.-С.18-25
50. Дж.А.Даффи, У.А.Бекман, Тепловые процессы с использованием солнечной энергий. –М.: Мир. 1977.-420С.
51. Н.Р.Авезова, Р.Р.Авезов, Н.Т.Рустамов, А.Вахидов, Ш.И.Сулейманов, Технико-экономические показатели плоских солнечных водонагревательных коллекторов в системах горячего водоснабжения. Труды международной

конференции, посвященный 70 летию физико-технического института академии наук Республики Узбекистан. Фундаментальные и прикладные вопросы физики. Ташкент, 23-23 октябрь, 2013 г.

52. Р.Р.Аvezov, А.В.Орлов, Солнечные системы отопления и горячего водоснабжения. -Ташкент; Фан, 1988. -288 с.
53. Н.Р.Аvezова, Р.Р.Аvezов, Н.Т.Рустамов, А.В.Ахадов, Ш.И.Сулейманов, Ресурсные показатели плоских солнечных водонагревательных коллекторов в системах горячего водоснабжения. Часть 4. Удельная теплопроизводительность и тепловая эффективность коллектора.//Гелиотехника, №4, 2013-Ташкент.-С.19-27.
54. Поиски жизни в Солнечной системе: Перевод с английского. М.: Мир, 1988 г., с. 44-57
55. Жуков Г.Ф. Общая теория энергии.//М: 1995., с. 11-25
56. Дементьев Б.А. Ядерные энергетические реакторы. М., 1984, с. 106-111
57. Тепловые и атомные электрические станции. Справочник. Кн. 3. М., 1985, с. 69-93
58. Энциклопедический словарь юного астронома, М.:Педагогика,1980 г., с. 11-23
59. Видяпин В.И., Журавлева Г.П. Физика. Общая теория.//М: 2005,с. 166-174
60. Дагаев М. М. Астрофизика.//М:1987,с. 55-61
61. Тимошкин С. Е. Солнечная энергетика и солнечные батареи. М., 1966, с. 163-194
62. Илларионов А. Г. Природа энергетики.//М: 1975., с. 98-105
63. Лаврус В.С. Источники энергии / Серия "Информационное Издание", Выпуск 3 "Наука и Техника", 1997
64. Сайт «Новые технологии»: <http://>
65. Сайт «СОЛНЕЧНАЯ ЭНЕРГИЯ»: <http://www.ecomuseum.kz>
66. «Архитектурный проект», октябрь 1973г
66. Е. Харкнесс, М. Мехта «Регулирование солнечной радиации в зданиях», М., «Стройиздат», 1984г.
67. А.С.Граундуотер «Солнечная радиация и кондиционирование воздуха», М., «Стройиздат», 1975г.
68. Р.Л.Ноулс «Энергия и форма: экономический подход к развитию городов», М., «Стройиздат», 1974г.
69. И. А. Каримов Указ «О мерах по дальнейшему развитию альтернативных источников энергии», газета “Народное слово” № 43(5717), 2013г 2–марта.
70. Якубов Ю. Н. и др. Расчет солнечной радиации, падающей на цилиндрическую поверхность // Гелиотехника. -1972 г. -№ 3.
71. Аллокулов П. Э., Хайдардинов Б. Э., Ким В. Д. Нетрадиционная теплоэнергетика. Ташкент 2009 г., 187 стр.
72. Даффи Дж. А., Бекман У. А. Тепловые процессы с использованием солнечной энергии. — М. Мир, 1977.-420с.